

Prostor
kraj
čas

7

EXPLORACIONES ARQUEOLÓGICAS EN CHACTÚN, CAMPECHE, MÉXICO

Ivan Šprajc
Editor

PROSTOR, KRAJ, ČAS



PROSTOR, KRAJ, ČAS 7

Exploraciones arqueológicas en Chactún, Campeche, México

Ivan Šprajc
Editor

Založba ZRC
Ljubljana 2015

PROSTOR, KRAJ, ČAS 7

EXPLORACIONES ARQUEOLÓGICAS EN CHACTÚN, CAMPECHE, MÉXICO

Ivan Šprajc, editor

Edición: Žiga Kokalj y Nataša Gregorič Bon

Fotografía: Ivan Šprajc, Octavio Esparza Olguín,
Atasta Flores Esquivel, Gabriela García

Cartografía: Aleš Marsetič, Atasta Flores Esquivel,
Octavio Esparza Olguín, Ivan Šprajc

Editor: Ivan Šprajc

Publicado por: Inštitut za antropološke in prostorske študije,
ZRC SAZU

Editorial: Založba ZRC

Responsable: Oto Luthar

CIP – Kataložni zapis o publikaciji

Narodna in univerzitetna knjižnica, Ljubljana

903(726.6)(0.034.2)

930.85(399.7)(0.034.2)

1. ŠPRAJC, Ivan, 1955-

Exploraciones arqueológicas en Chactún, Campeche, México [Elektronski vir] / Ivan Šprajc,
editor ; fotografía Ivan Šprajc ... [et al.] ; cartografía Aleš Marsetič, Atasta Flores Esquivel,
Octavio Esparza Olguín, Ivan Šprajc. - El. knjiga. - Ljubljana : Založba ZRC, 2015. - (Prostor, kraj,
čas, ISSN 2335-4208 ; 7)

ISBN 978-961-254-780-6 (pdf)

278510336

Način dostopa (URL): <http://zalozba.zrc-sazu.si/p/P07>
<https://doi.org/10.3986/9789612547806>



© 2015, autores, Založba ZRC, ZRC SAZU. Todos los derechos reservados. Ninguna parte de esta obra podrá ser reproducida o transmitida en forma alguna y por ningún medio electrónico o mecánico, incluyendo fotocopiado, grabación, o por cualquier otro sistema de almacenamiento de información, sin previa autorización de los propietarios de los derechos de autor.

Abstract

The archaeological site of Chactún, located in the eastern part of the Mexican state of Campeche, was discovered in 2013, when we started reconnaissance works in the southern portion of the vast archaeologically unexplored territory that extends between the Río Bec and Chenes regions, largely within the northern sector of the depopulated Calakmul Biosphere Reserve. The site's urban core, composed of three concentrations of monumental architecture, has a number of plazas surrounded by temple pyramids and massive palace-like buildings, two ball-courts, and 20 stelae and 15 altars, several of which preserve relief carvings, including hieroglyphic inscriptions. A large rectangular water reservoir was also found in the immediate vicinity. In view of its extent and the sizes of buildings, Chactún is one of the largest Maya urban centers known so far in the central lowlands of the Yucatan peninsula.

This monograph presents the results of mapping and the descriptions of three complexes of monumental architecture and of some outlying groups, the documentation of sculpted monuments, and analyses of the ceramic and lithic material collected on the surface and during small-scale excavations carried out around a few monuments with the purpose of exposing their carvings. While the ceramic evidence indicates occupation from the Preclassic on, the stelae with hieroglyphic texts and dates suggest the city reached its greatest splendor during the Late Classic, acquiring an important role in the regional political hierarchy. Surprisingly, although the site is located just north of the Río Bec core area, its characteristics link it much more to the Petén tradition. Voluminous buildings arranged around large plazas, numerous temple pyramids and monuments with inscriptions stand in a sharp contrast to the nearby Río Bec sites, where "false" pyramid towers, instead of true pyramids, are common, the architectural groups are typically smaller and with fewer structures, and stelae with inscriptions are quite rare. A peculiarity of Chactún are stone monuments with reliefs modeled in stucco, particularly prominent being the spectacular glyphs on Stela 1. Finally, several monuments found in secondary positions, including fragments of stelae reused as cornerstones of ball courts, and Postclassic ceramics associated with Stela 1 reveal that certain activities took place at the site even in the centuries after its apogee. These and other characteristics disclose the potential of Chactún for future research and its relevance for understanding various aspects of cultural dynamics in this part of the Maya Lowlands.

KEYWORDS

Maya archaeology, Yucatan peninsula, Central Lowlands, surveys, ceramics, lithics, hieroglyphic inscriptions

Resumen

El sitio arqueológico de Chactún, que se localiza en la parte oriental del estado mexicano de Campeche, fue descubierto en 2013, cuando iniciamos los trabajos de reconocimiento en la parte sur del vasto territorio arqueológicamente inexplorado que se extiende entre las regiones Río Bec y Chenes, en gran parte dentro del sector norte de la despoblada Reserva de la Biósfera de Calakmul. En el núcleo urbano del sitio, compuesto por tres concentraciones de arquitectura monumental, se encuentran varias plazas rodeadas por templos piramidales y estructuras palaciegas, dos canchas de juego de pelota y 20 estelas y 15 altares. Varios de los monumentos conservan relieves, incluyendo inscripciones jeroglíficas. En las inmediaciones también se encontró un gran reservorio de agua de forma rectangular. En vista de su extensión y la magnitud de los edificios, Chactún es uno de los centros urbanos mayas más grandes conocidos al momento en las tierras bajas centrales.

En la presente obra se exponen los resultados del mapeo y las descripciones de tres complejos de arquitectura monumental y de algunos conjuntos aledaños, la documentación de los monumentos esculpidos y los análisis del material cerámico y lítico recolectado en la superficie y durante los trabajos de liberación de algunos monumentos. Los datos cerámicos indican la ocupación desde el Preclásico, mientras que, a juzgar por las estelas con textos jeroglíficos y fechas, la ciudad llegó a ocupar un lugar importante en la jerarquía política regional durante el Clásico Tardío. Considerando que el sitio se ubica a poca distancia del núcleo de la región Río Bec, resulta sorprendente que sus características lo vinculan mucho más con la tradición Petén. Los voluminosos edificios, dispuestos en torno a grandes plazas, los numerosos templos piramidales y monumentos con inscripciones contrastan fuertemente con los cercanos sitios de Río Bec, donde los grupos arquitectónicos son típicamente más pequeños y cuentan con menos estructuras, las estelas con inscripciones son escasas y, en lugar de pirámides verdaderas, son comunes las torres a manera de pirámides "falsas". Una peculiaridad de Chactún la constituyen los monumentos de piedra con relieves elaborados en estuco, entre los que destacan los espectaculares glifos en la Estela 1. Finalmente, varios monumentos encontrados en posiciones secundarias, incluyendo algunos fragmentos de estelas reutilizados como esquineros de las canchas de juego de pelota, y la cerámica posclásica asociada a la Estela 1 reflejan actividades en el lugar aún después de la época de su máximo esplendor. A la luz de estas y otras características, es evidente el potencial de Chactún y de la región circundante para las futuras investigaciones y su relevancia para la comprensión de diversos aspectos de la dinámica cultural en esta parte de las tierras bajas mayas.

PALABRAS CLAVE

arqueología maya, península de Yucatán, tierras bajas centrales, prospecciones de superficie, cerámica, lítica, inscripciones jeroglíficas

Izvleček

Arheološko najdišče Chactún, ki leži v vzhodnem delu mehiške zvezne države Campeche, smo odkrili leta 2013, ko smo začeli s terenskimi pregledi v južnem delu obsežnega arheološko neraziskanega ozemlja, ki se razteza med regijama Río Bec in Chenes, večidel znotraj severnega sektorja neobljudene Calakmulske biosfere. Urbano jedro najdišča sestavljajo tri koncentracije monumentalne arhitekture s trgi, ki jih obkrožajo piramidalna svetišča in masivne stavbe palačnega tipa, dvema prostoroma za igro z žogo ter 20 stelami in 15 oltarji. Na več kamnitih spomenikih so ohranjeni reliefi, vključno s hieroglifskimi napisi. V neposredni bližini smo našli tudi velik štirikoten zbiralnik za vodo. Sodeč po obsegu in velikosti stavb, je Chactún eno največjih majevskih mestnih središč, doslej znanih v osrednjem nižavju.

Pričujoča monografija predstavlja rezultate kartiranja in opise treh kompleksov monumentalne arhitekture in nekaterih okoliških stavbnih skupin, dokumentacijo klesanih spomenikov ter analize keramičnega in litičnega gradiva, zbranega na površini in med manjšimi izkopavanji okoli spomenikov. Medtem ko keramika razodeva poselitev od predklasične dobe naprej, stele s hieroglifskimi besedili in datumi kažejo, da je mesto doseglo svoj vzpon v pozni klasični dobi, ko je dobilo pomembno vlogo v regionalni politični hierarhiji. Glede na to, da najdišče leži nedaleč od osrednjega dela regije Río Bec, je presenetljivo, da njegove značilnosti kažejo na veliko tesnejše povezave s tradicijo Petén. Voluminozne stavbe, razporejene okoli obsežnih trgov, številni piramidalni templji in spomeniki z napisi imajo malo skupnega z najdišči v coni Río Bec, kjer so arhitekturne skupine tipično manjše in z manj stavbami, stele z napisi so redke, namesto pravih piramid pa so običajni dvojni stolpi v obliki »lažnih« piramid. Posebnost Chactúna so kamniti spomeniki z reliefi, modeliranimi v štuku, med katerimi velja omeniti predvsem spektakularne glife na Steli 1. Spomeniki, najdeni v sekundarnih legah, med katerimi izstopajo fragmenti stel, drugotno uporabljeni kot vogelni kamni prostorov za igro z žogo, in poklasična keramika ob Steli 1 razodevajo, da je bilo naselje prizorišče dejavnosti tudi še v stoletjih po največjem razcvetu. Te in druge karakteristike razkrivajo potencial Chactúna za nadaljnje raziskave in njegov pomen za razumevanje različnih vidikov kulturne dinamike v tem delu majevskih nižavij.

KLJUČNE BESEDE

arheologija Majev, polotok Yucatan, osrednje nižavje, površinski pregledi, keramika, litika, hieroglifski napis

Índice

Lista de figuras.....	iii
Lista de tablas.....	vi
Sobre los autores	vii
Agradecimientos.....	viii
1. Introducción, <i>Ivan Šprajc</i>	1
2. Descripción del sitio, <i>Ivan Šprajc, Atasta Flores Esquivel, y Aleš Marsetič</i>	5
Complejo Oeste (A)	6
Complejo Sureste (B)	13
Complejo Noreste (C)	18
Grupos periféricos.....	18
Orientaciones de los edificios	23
3. Análisis del material cerámico, <i>Atasta Flores Esquivel y Esteban Mirón Marván</i>	25
Metodología	25
Análisis cerámico: tendencias cronológicas.....	26
Preclásico Tardío: Complejos Chicanel / Pakluum	26
Clásico Temprano: Complejos Tzakol / Chacsik-Sabucán.....	29
Clásico Tardío-Terminal: Complejos Tepeu / Bejuco-Chintok-Xcocom	31
Posclásico: Complejo Lobo	35
Conclusiones preliminares acerca de la cerámica de Chactún.....	36
4. Documentación de los monumentos esculpidos, <i>Octavio Q. Esparza Olgún</i>	41
Estela 1	41
Estela 2.....	48
Estela 3.....	50
Estela 4.....	52
Estela 5.....	52
Estela 6.....	52
Estela 7.....	53
Estela 8.....	53
Estelas 9 y 10.....	54
Estela 11	54
Estela 12	54
Estela 13	59
Estela 14	59
Estela 15	64
Estela 16	66
Estela 17	66
Estela 18	69
Estela 19	73
Estela 20	74

Altars 1 y 2.....	74
Altar 3.....	74
Altar 4.....	75
Altar 5.....	76
Altar 6.....	76
Altar 7.....	77
Altar 8.....	77
Altar 9.....	77
Altars 10 y 11.....	77
Altar 12.....	78
Altar 13.....	79
Altar 14.....	79
Altar 15.....	81
Consideraciones finales.....	82
5. ¿Una ofrenda de desechos? Las lascas de la Estela 17 de Chactún, <i>Stephen Castillo Bernal</i>	85
Los datos concretos.....	85
El método de análisis.....	86
Los derivados de núcleos.....	87
Algunas observaciones finales.....	92
Agradecimientos.....	92
6. Comentarios finales, <i>Ivan Šprajc</i>	93
Bibliografía.....	97
Anexo: Planos	

Lista de figuras

1.1.	Mapa de localización del sitio arqueológico de Chactún (imagen de satélite: Landsat).....	3
2.1.	Foto aérea (CONABIO 1995-96) con los tres núcleos urbanos de Chactún.....	5
2.2.	Chactún, Complejo A (Oeste), vista hacia el noreste (modelo digital: A. Marsetič).....	7
2.3.	Estructura A-9, muros expuestos en el talud poniente.....	8
2.4.	Estructura A-23, muro expuesto en el talud oriente.....	9
2.5.	Monolito en la planicie entre los Complejos Oeste y Sureste, con dos círculos elaborados en relieve.....	10
2.6.	Monolito con dos círculos (figura 2.5) y el bloque de pedernal al fondo; vista hacia el suroeste.....	10
2.7.	Estructura A-58, hilera norte de piedras cilíndricas, vista hacia el poniente.....	12
2.8.	Estructura A-58, hilera oriente de piedras cilíndricas, vista hacia el norte.....	12
2.9.	Estructura A-58, dos piedras cilíndricas parcialmente encimadas en la hilera norte.....	12
2.10.	Chactún, Complejo B (Sureste); vista hacia el suroeste (modelo digital: A. Marsetič).....	14
2.11.	Estructura B-2, muros de la entrada al edificio superior; vista hacia el sureste.....	15
2.12.	Fragmentos de estuco pintado, encontrados en la Estructura B-8.....	15
2.13.	Muro en la Estructura B-10; vista hacia el sureste (foto: Mauricio Marat, Dirección de Medios de Comunicación, INAH).....	16
2.14.	Fragmentos de estuco pintado, encontrados en la cala de saqueo excavada en el lado oriente de la Estructura B-25.....	17
2.15.	Fragmento de una columna estucada frente a la Estructura B-37.....	17
2.16.	Tambor de piedra en el talud oriente de la Estructura B-22.....	17
2.17.	Chactún, Complejo C (Noreste); vista hacia el suroeste (modelo digital: A. Marsetič).....	18
2.18.	Restos de un cuarto abovedado en el grupo Cha-1.....	19
2.19.	Cilindros de piedra en el grupo Cha-3.....	19
2.20.	Croquis del grupo Cha-5 (levantamiento y dibujo: A. Flores).....	20
2.21.	Croquis del grupo Cha-6 (levantamiento y dibujo: A. Flores).....	20
2.22.	Croquis del grupo Cha-8 (levantamiento y dibujo: A. Flores).....	21
2.23.	Croquis del grupo Cha-9 (levantamiento y dibujo: A. Flores).....	21
2.24.	Croquis del grupo Cha-10 (levantamiento y dibujo: A. Flores).....	22
2.25.	Croquis del grupo Cha-11 (levantamiento y dibujo: A. Flores).....	22
2.26.	Croquis del grupo Cha-12 (levantamiento y dibujo: A. Flores).....	23
2.27.	Croquis del grupo Cha-13 (levantamiento y dibujo: A. Flores).....	23
3.1.	Tecomate con el labio ensanchado de probable pertenencia al Preclásico Medio.....	27
3.2.	Cuerpo con bicromía en engobe ceroso, tipo Escobal Rojo Sobre Crema, variedad sin especificar.....	27
3.3.	Platón tipo Sierra Rojo, variedad sin especificar.....	28
3.4.	Cuerpo de recipiente abierto tipo Polvero Negro, variedad sin especificar.....	28
3.5.	Cuerpo de recipiente abierto tipo Sierra Rojo, variedad sin especificar.....	28
3.6.	Tecomate Sapote Estriado, variedad Rastro.....	28
3.7.	Cuenco tipo Águila Anaranjado.....	30
3.8.	Platón evertido tipo Dos Arroyos.....	30
3.9.	Plato del grupo Balanza Negro.....	31

3.10. Cazuela del grupo Traino Café.....	32
3.11. Cuenco tipo Sayan Rojo sobre Crema.....	32
3.12. Cajete de paredes rectas del grupo Ticul Slate.....	32
3.13. Ollas estriadas del grupo Triunfo.....	33
3.14. Olla del grupo Encanto Estriado.....	33
3.15. Cazuela del grupo Becanchén Café.....	34
3.16. Fragmento de incensario posiblemente de la loza Zoh Laguna sin engobe.....	34
3.17. Vaso de paredes curvo-convergentes del grupo Altar, con acanaladuras en el exterior y superficie roja.....	34
3.18. Cuenco del grupo Balancán, con superficie blanca e incisiones en el exterior.....	35
3.19. Fragmento del incensario Chen Mul Modelado.....	35
3.20. Fragmentos de aplicaciones de incensarios del grupo Panabá.....	36
3.21. Fragmento de incensario del grupo Navulá.....	36
3.22. Frecuencias del material cerámico por época asignada.....	39
4.1. Mapa de ubicación de la Estela 1 dentro del Complejo Oeste.....	42
4.2. Estela 1, al ser encontrada, lado derecho; vista hacia el poniente.....	42
4.3. Estela 1, cara frontal; vista hacia el norte.....	42
4.4. Estela 1, cara posterior.....	43
4.5. Estela 1, lado izquierdo.....	43
4.6. Estela 1, detalle de la cara posterior, con cartuchos jeroglíficos de estuco modelado con restos de color rojo.....	44
4.7. Área de liberación de la Estela 1.....	44
4.8. Fragmentos de estuco rescatados durante la liberación de la Estela 1 (dibujo: O. Esparza).....	45
4.9. Fragmentos cerámicos del Posclásico, encontrados junto a la Estela 1.....	45
4.10. Estela 1: frente (a), lado derecho (b), dorso (c) y lado izquierdo (d) (dibujo: O. Esparza).....	46
4.11. Estela 1, dorso, con parte del numeral de los k'atunes y los glifos de tunes y winales restituidos (dibujo: O. Esparza).....	46
4.12. Techo construido para proteger la Estela 1.....	48
4.13. Estela 2, en la posición en que fue encontrada; vista hacia el sur.....	49
4.14. Estela 2, fragmento inferior, lado izquierdo (a) y dorso (b) (dibujo: O. Esparza).....	49
4.15. Estela 3, fragmentos de la parte inferior, con su espiga en la parte inferior de la fotografía.....	50
4.16. Estela 3, caras laterales de la parte inferior (dibujo: O. Esparza).....	51
4.17. Estela 3, fragmento superior con las dos piedras acompañantes.....	51
4.18. Estela 4.....	52
4.19. Estela 7, vista hacia el este.....	53
4.20. Estela 8, vista hacia el sureste.....	53
4.21. Mapa de ubicación de la Estela 12 dentro del Complejo Oeste.....	55
4.22. Estela 12, al momento de su hallazgo.....	55
4.23. Perfiles estratigráficos de la excavación asociada a la Estela 12 (dibujo: O. Esparza).....	56
4.24. Estela 12, fragmento superior, cara frontal.....	56
4.25. Estela 12, lado izquierdo (a), frente (b) y lado derecho (c) (dibujo: O. Esparza).....	57
4.26. Estela 14, al momento de su hallazgo.....	60
4.27. Mapa de ubicación de la Estela 14 dentro del Complejo Sureste.....	60
4.28. Perfiles estratigráficos de la excavación asociada a la Estela 14 (dibujo: O. Esparza).....	61

4.29. Planta y corte A-B del muro encontrado durante la liberación de la Estela 14 (dibujo: O. Esparza).....	61
4.30. Muro adosado a la cara frontal de la Estela 14; vista hacia el sur.....	62
4.31. Estela 14, lado izquierdo (a), frente (b) y lado derecho (c) (dibujo: O. Esparza).	63
4.32. Estela 14, restos de estuco modelado en la cara frontal.....	64
4.33. Estela 15, al momento de su hallazgo; vista hacia el sur.....	65
4.34. Estela 15, fragmento superior, al ser liberado.....	65
4.35. Estela 15, lado izquierdo.....	65
4.36. Estela 15, lado izquierdo (a), frente (b), lado derecho (c) y dorso (d) (dibujo: O. Esparza). ..	66
4.37. Mapa de ubicación de la Estela 17 dentro del Complejo Sureste.....	67
4.38. Estela 17, al momento de su hallazgo; vista hacia el noreste.....	67
4.39. Perfiles estratigráficos de la excavación asociada a la Estela 17 (dibujo: O. Esparza).	67
4.40. Área de liberación de la Estela 17 (dibujo: O. Esparza).....	68
4.41. Concentración de lascas de pedernal en el costado sur de la Estela 17.....	68
4.42. Estela 17, lado izquierdo (a), frente (b) y lado derecho (c) (dibujo: O. Esparza).	69
4.43. Mapa de ubicación de la Estela 18 dentro del Complejo Sureste.....	70
4.44. Estela 18, al momento de su hallazgo.....	70
4.45. Estela 18, después de su liberación.....	71
4.46. Estela 18, cara frontal.....	71
4.47. Estela 18, lado izquierdo (a), frente (b), lado derecho (c) y dorso (d) (dibujo: O. Esparza).....	72
4.48. Estela 19, al momento de su hallazgo; vista hacia el noroeste.....	73
4.49. Estela 19, lado izquierdo (dibujo: O. Esparza).....	73
4.50. Estela 20.....	74
4.51. Bloque de pedernal, Altar 1 y Altar 2; vista hacia el oriente (foto: Mauricio Marat, Dirección de Medios de Comunicación, INAH).....	75
4.52. Altar 4.....	75
4.53. Altar 7.....	76
4.54. Altar 8 y el talud oriente de la Estructura A-13; vista hacia el oriente.....	76
4.55. Altar 9.....	77
4.56. Altar 12 y el bloque de piedra adyacente.....	78
4.57. Altar 13, vista hacia el sureste.....	78
4.58. Mapa de ubicación del Altar 14 dentro del Complejo Sureste.....	79
4.59. Altar 14, Fragmentos 1 y 2 ensamblados.....	79
4.60. Altar 14, plano de ubicación de los fragmentos con restos de grabado (dibujo: O. Esparza).....	80
4.61. Altar 14, fragmentos con restos de grabado (dibujo: O. Esparza).	80
4.62. Altar 15 y el adyacente bloque de piedra; vista hacia el oriente.....	81
4.63. Altar 15, cara superior (dibujo: O. Esparza).....	81
5.1. Raspadores y cincel miniatura, asociados a la Estela 12 de Chactún (fotografía de Gabriela García).	86
5.2. Frecuencia de aparición de los derivados de núcleo asociados a la Estela 17 de Chactún.....	87
5.3. Bulbos de percusión. A la izquierda, una plataforma de corteza (tomado de Andrefsky 2001: 94).....	88
5.4. Esquirlas grandes asociadas a la Estela 17 de Chactún (fotografía de Gabriela García).	88

5.5.	Algunos bulbos de percusión de las esquiras grandes asociadas a la Estela 17 de Chactún (fotografía de Gabriela García).....	89
5.6.	Láminas chicas asociadas a la Estela 17 de Chactún (fotografía de Gabriela García).	89
5.7.	Lascas medianas asociadas a la Estela 17 de Chactún (fotografía de Gabriela García).....	90
5.8.	Láminas medianas asociadas a la Estela 17 de Chactún (fotografía de Gabriela García).	91
5.9.	Esquiras medianas asociadas a la Estela 17 de Chactún (fotografía de Gabriela García). ...	91

Lista de tablas

3.1.	Totales de los tiestos por conjuntos.....	25
3.2.	Distribución tipológica y cuantitativa de la cerámica de Chactún.	29
3.3.	Totales de la cerámica por conjunto y temporalidad.....	38
4.1.	Relación de fechas y otros datos contenidos en los monumentos esculpidos de Chactún.....	83

Sobre los autores

Ivan Šprajc. Arqueólogo, Doctor en Antropología por la Universidad Nacional Autónoma de México, investigador del Centro de Investigaciones de la Academia Eslovena de Ciencias y Artes. Ha dirigido nueve temporadas de reconocimiento arqueológico en el sureste de Campeche, México. En el campo de la arqueoastronomía se ha dedicado ante todo al estudio de las orientaciones en la arquitectura de varias regiones mesoamericanas.

Atasta Flores Esquivel. Arqueólogo por la Escuela Nacional de Antropología e Historia y Maestro por la Universidad Nacional Autónoma de México. Ha enfocado su trabajo en la arqueología de asentamientos y espacialidad arquitectónica en el Área Maya. Sus intereses se centran en los aspectos relacionados con la geografía histórica y la organización socio-política. Desde 2004 colabora en los trabajos de reconocimiento arqueológico en el sureste de Campeche.

Aleš Marsetič. Geodesta por la Universidad de Ljubljana, investigador del Centro de Investigaciones de la Academia Eslovena de Ciencias y Artes. Su trabajo científico se ha enfocado en el uso de la fotogrametría en las técnicas de percepción remota, el procesamiento de las imágenes de satélite y de los datos de lidar. Desde 2007 colabora en las prospecciones arqueológicas en el sureste de Campeche, México, realizando los trabajos de mapeo y visualización de datos. Actualmente realiza estudios de doctorado en la Universidad de Ljubljana.

Esteban Mirón Marván. Arqueólogo por la Escuela Nacional de Antropología e Historia. Se ha especializado en el estudio de la cerámica de las Tierras Bajas Noroccidentales del Área Maya, en concreto de la región de Palenque.

Octavio Quetzalcóatl Esparza Olgúin. Arqueólogo por Escuela Nacional de Antropología e Historia y Maestro en Estudios Mesoamericanos por la Universidad Nacional Autónoma de México. Ha realizado trabajos de topografía, excavación y registro epigráfico en diversos asentamientos prehispánicos de Campeche y Quintana Roo. Actualmente forma parte del Proyecto Cobá y realiza estudios de doctorado en la Universidad Nacional Autónoma de México.

Stephen Castillo Bernal. Arqueólogo, Maestro en Arqueología y Doctor en Antropología Social por la Escuela Nacional de Antropología e Historia, responsable de la sala “Los toltecas y el Epiclásico” del Museo Nacional de Antropología, México. Se ha especializado en la evaluación epistemológica de posiciones teóricas en arqueología y de modelos de evolución de estados arcaicos, específicamente del caso tolteca, y ha explorado los postulados de la antropología simbólica. También se interesa en la lítica tallada de la región de Tula.

Agradecimientos

La temporada 2013 del proyecto de Reconocimiento Arqueológico en el Sureste de Campeche, durante la cual fue descubierto el sitio arqueológico de Chactún y se realizaron las investigaciones cuyos resultados se exponen en la presente obra, fue aprobada por el Consejo de Arqueología del Instituto Nacional de Antropología e Historia (INAH), México, y patrocinada por el *Committee for Research and Exploration* de la *National Geographic Society*, EE.UU. (beca núm. 9243-13). Las donaciones adicionales, que contribuyeron de manera importante al cumplimiento de los objetivos de la investigación, nos fueron otorgadas por las empresas *Villas* (Austria) y *Ars longa* (Eslovenia), así como por los señores Martin Hobel (Austria), Ken y Julie Jones (EE.UU.) y Metod Zavodnik (Eslovenia). Diversos apoyos nos fueron brindados también por el Centro de Investigaciones de la Academia Eslovena de Ciencias y Artes (ZRC SAZU), Eslovenia.

El Ing. José Adalberto Zúñiga Morales, Director de la Reserva de la Biósfera Calakmul, autorizó nuestros trabajos en el área. La Dra. Kathe Lawton, Directora Adjunta del *Middle American Research Institute* de la Universidad de Tulane, Nueva Orleans, EE.UU., me proporcionó la información sobre los sitios arqueológicos de la región, existente en el acervo de su institución y basada en exploraciones realizadas en la primera mitad del siglo XX. Gracias a las gestiones del Dr. Pedro Francisco Sánchez Nava, Coordinador Nacional de Arqueología del INAH, nos fue facilitada una estación total con los accesorios necesarios para realizar los levantamientos topográficos. La Arqlga. Adriana Velázquez Morlet, Directora del Centro INAH Quintana Roo, puso a nuestra disposición un generador de corriente eléctrica y un tripié. Los trabajos de emergencia destinados para consolidar los singulares glifos de estuco en la Estela 1 fueron llevados a cabo con gran interés y de manera oportuna por Diana Arano Recio y Leticia Jiménez Hernández, restauradoras del Centro INAH Campeche, y su asistente Valentín Hernández Canché. En la coordinación de estas actividades fue vital la intervención expedita de la M.C. Lirio Suárez Améndola, Directora del Centro INAH Campeche, además de que fue invaluable su autorización del préstamo de un vehículo de campo durante los últimos días de la temporada, cuando las lluvias torrenciales amenazaban con impedirnos el acceso al sitio, poniendo en peligro la realización de las tareas pendientes. Así como en temporadas anteriores, también en ésta contamos con el apoyo de Bibiano Gómez Díaz, quien se encarga del mantenimiento de nuestra camioneta de campo, y de Diane Lalonde y Richard Bertram, dueños del hospedaje y restaurante Río Bec Dreams, cuya gentileza de prestarnos su propio vehículo durante las primeras semanas de la temporada, cuando nuestra camioneta del proyecto estaba en reparación, se suma a los demás favores que nos han brindado en su establecimiento.

A todos los colegas y organismos mencionados, que han posibilitado la realización del proyecto, queremos expresarles nuestro más profundo agradecimiento.

1 Introducción

Ivan Šprajc

De abril a junio de 2013 se llevó a cabo la octava temporada del proyecto de Reconocimiento Arqueológico en el Sureste de Campeche, representando la continuación de los trabajos realizados en los años 1996, 1998, 2001, 2002, 2004, 2005 y 2007. En los trabajos de campo participaron el geodesta Aleš Marsetič, investigador del Centro de Investigaciones de la Academia Eslovena de Ciencias y Artes (ZRC SAZU), y los arqueólogos F. C. Atasta Flores Esquivel (programa de maestría, Instituto de Investigaciones Antropológicas, Universidad Nacional Autónoma de México) y Octavio Q. Esparza Olguín (programa de Doctorado en Estudios Mesoamericanos, Universidad Nacional Autónoma de México). Así como las anteriores, la temporada 2013 fue realizada en el marco del Convenio de Colaboración Científica establecido entre el ZRC SAZU y el INAH en 2001.

En las temporadas anteriores, los trabajos de reconocimiento arqueológico fueron realizados en la franja escasamente poblada en el extremo sureste del estado de Campeche, al sur del poblado de Xpujil, así como en el sector sur de la Reserva de la Biósfera de Calakmul. Los resultados de estas prospecciones han sido presentados en los informes entregados al INAH y en diversos artículos publicados (Šprajc 1998; 2002; 2003a; 2003b; 2004; 2007a; 2007b; 2007c; 2009; 2012; Šprajc *et al.* 1997a; 1997b; 2005; 2010; Šprajc y Juárez 2003; Šprajc y Suárez 1998; 2003; Juárez *et al.* 2007; Flores y Šprajc 2008; Šprajc y Flores 2010; Grube 2005), así como en dos monografías (Šprajc 2008a; Šprajc *et al.* 2014). Las exploraciones mencionadas han resultado en el registro y documentación básica de decenas de sitios arqueológicos previamente desconocidos, así como en la relocalización de algunos centros mayores que habían sido reportados por las expediciones de la *Carnegie Institution of Washington* en los 1930s (Ruppert y Denison 1943), pero cuya ubicación quedó posteriormente olvidada.

En la temporada 2013 iniciamos las prospecciones en el sector norte de la Reserva de la Biósfera de Calakmul. La decisión de continuar los trabajos de reconocimiento en esta parte del estado de Campeche obedecía a la falta total de datos arqueológicos sobre esta área que, al estar situada en el mero corazón de la península de Yucatán, debe haber tenido un papel clave en las rutas comerciales y otros tipos de relaciones culturales que vinculaban distintas partes de las Tierras Bajas Mayas. Acerca de este vasto territorio, que se extiende entre las llamadas regiones Río Bec y Chenes, Adams (1981: 213) escribió lo siguiente:

[...] the old Río Bec and Chenes areas represent survey regions physically separated by a middle zone that is almost totally archaeologically unknown. The distance between the southernmost Chenes site (Chunlimon) and northernmost Río Bec site (Pechal) is about 50 kilometers and the entire unsurveyed middle zone comprises about 6,100 square kilometers.

En relación con este comentario es menester añadir dos advertencias. En primer lugar, la inclusión de Pechal en la esfera Río Bec es cuestionable, porque este sitio no cuenta con torres gemelas que son características del estilo Río Bec (Ruppert y Denison 1943: 91s; Ruz 1945: 30s), diferenciándolo de la arquitectura Chenes (*cf.* Gendrop 1983). Por otra parte, Pechal es un sitio relativamente aislado; los sitios más cercanos, incluyendo Peor Es Nada, se localizan a lo largo de la carretera Xpujil-Hopelchén, que conduce de sur a norte a unos 15 km al este de Pechal (Ruppert y Denison 1943: 91s, 93s; Ruz 1945: 31s; Mayer 1992; 1993; Merk 2004), en tanto que en el área que se

extiende al oeste de esta carretera no se conocía –hasta abril de 2013– ningún sitio entre Pechal y los sitios más norteños de la zona núcleo Río Bec (Zoh Laguna y Culucbalom: Ruppert y Denison 1943: 89s; Mayer 1997), ubicados a unos 35 km al sur de Pechal. Esto significa que, con la única excepción de Pechal, no se conocía ni un solo sitio en el área delimitada por la región Chenes al norte, la carretera Xpujil-Hopelchén al oriente y la zona Río Bec al sur, mientras que el sitio de Nadzcaan, situado a 45 km al poniente de la carretera Xpujil-Hopelchén, puede considerarse como marcador del límite occidental del territorio arqueológicamente desconocido.

Mientras que algunos sitios fueron colocados en esta área por Muller (1959; 1960), los datos sobre su ubicación y características son tan deficientes y vagos que la identificación de cualquiera de estos sitios con alguno eventualmente descubierto en el campo sólo puede ser cuestión de conjetura. Los sitios que en esta región aparecen en el mapa de Witschey y Brown (s.f.) son todos de Muller, localizados únicamente a partir de sus mapas inexactos. Igualmente deficiente es la información sobre los sitios que se encuentran registrados en el fichero del *Middle American Research Institute* de la Universidad de Tulane, Nueva Orleans, EE.UU. (M.A.R.I. 1940).

En las últimas temporadas de campo, realizadas en la parte sur de la Biósfera de Calakmul, casi todos los sitios que registramos fueron localizados con base en fotos aéreas de escala 1:20,000 (CONABIO 1995-96). Considerando que esta técnica de percepción remota, necesaria por falta de informantes locales, resultó ser la más eficaz para la detección de vestigios arquitectónicos bajo la espesa cubierta vegetal (cf. Šprajc 2008b: 14s), adquirimos las fotos aéreas también para el sector norte de la Biósfera; examinándolas estereoscópicamente, encontramos un gran número de puntos o áreas que, por su configuración, sugerían la presencia de vestigios arquitectónicos cubiertos por vegetación selvática, incluso de lo que parecían ser centros urbanos mayores.

Los recorridos de esta temporada fueron iniciados en la parte sur de este territorio. Para acercarnos a tres sitios detectados en este sector, empezamos a abrir el paso a lo largo de una antigua brecha maderera observada en las fotos aéreas. Abandonada hace décadas y fuertemente enmontada, la brecha conduce desde la carretera Xpujil-Hopelchén hacia el poniente. Después de tres semanas de trabajo, habiendo abierto unos 16 km del antiguo camino, llegamos a finales de abril a un punto alejado de 1 a 2 km de los complejos principales del sitio arqueológico que posteriormente denominamos Chactún. Debido a su extensión y el número de monumentos esculpidos que ameritaban documentación detallada, los trabajos de toda la temporada fueron limitados únicamente a este sitio. Su localización se presenta en el mapa en la figura 1.1. De acuerdo a la jerarquización establecida para los sitios del sureste de Campeche (en la que los sitios se clasifican como centros mayores, medianos y menores y sitios pequeños: Šprajc 2008c), Chactún es un centro mayor.

Durante la temporada de campo logramos mapear tres núcleos urbanos del sitio con estación total. Para determinar las coordenadas geográficas de los puntos relevantes empleamos los navegadores portátiles GPS; estimamos que, debido a mediciones repetidas, los errores en coordenadas (Anexo: planos 1, 2 y 3) son menores de ± 10 m. La descripción del sitio, incluyendo los mapas y modelos tridimensionales de los núcleos monumentales, se presenta en el capítulo 2.

En el curso de las prospecciones se recolectaron muestras de cerámica de superficie. Otro material cerámico fue obtenido en los trabajos de liberación de los monumentos, realizados con el objetivo de documentar sus superficies esculpidas. El capítulo 3 incluye los resultados de los análisis de este material.

Varios de los monumentos esculpidos registrados en el sitio conservan relieves, incluyendo inscripciones jeroglíficas. La documentación de los monumentos se presenta en el capítulo 4.

Durante los trabajos de liberación de los monumentos también fue recolectado el material lítico, en su mayoría asociado a la Estela 17. Los resultados del análisis de este material se exponen en el capítulo 5.

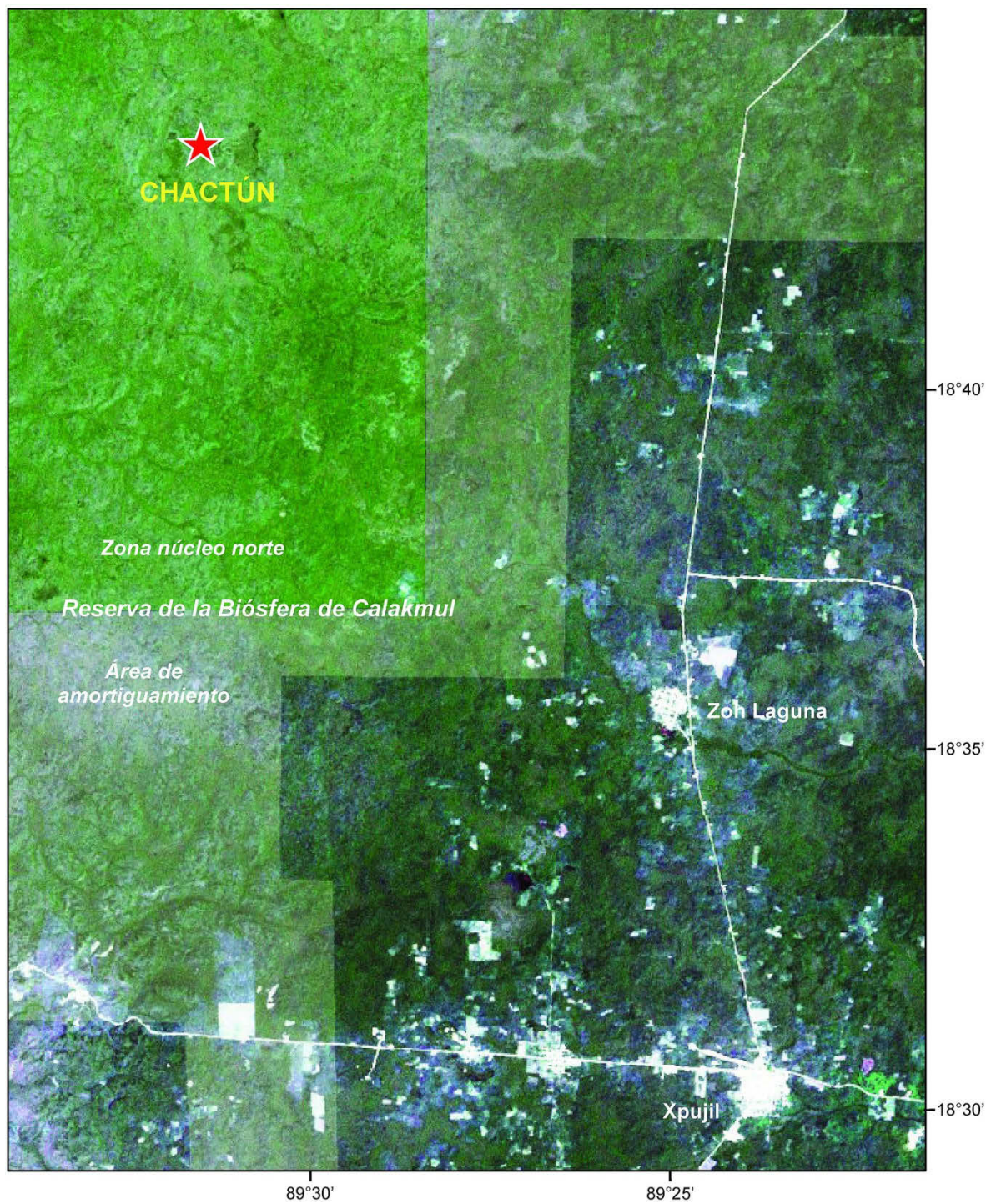


Figura 1.1. Mapa de localización del sitio arqueológico de Chactún (imagen de satélite: Landsat).

2 Descripción del sitio

Ivan Šprajc

Atasta Flores Esquivel

Aleš Marsetič

El sitio de Chactún se localiza en la parte norte de la Reserva de la Biósfera de Calakmul. El poblado actual más cercano es Zoh Laguna, ubicado en línea recta a aproximadamente 17 km hacia el sureste. El nombre con el que bautizamos el sitio, significando “piedra roja” o “grande” en el maya yucateco (cf. Barrera Vásquez *et al.* 1980: 76, 822), fue inspirado por las características de la singular Estela 1: varios glifos y motivos iconográficos en sus cuatro lados fueron elaborados en estuco pegado a la piedra y en su mayor parte pintado de rojo. Más aún, es probable que el vocablo *chac tun*, refiriéndose a la estela, aparezca en su misma inscripción (v. *infra*: capítulo 4).



Figura 2.1. Foto aérea (CONABIO 1995-96) con los tres núcleos urbanos de Chactún.

El sitio incluye al menos tres núcleos urbanos con arquitectura monumental, dispuestos sobre elevaciones naturales (figura 2.1), y un número indefinido de grupos de estructuras menores

que se extienden en sus alrededores. Las coordenadas geográficas (en el datum WGS84) de ciertos puntos en cada uno de los tres complejos de arquitectura monumental se proporcionan en los planos 1, 2 y 3 del Anexo.

Cabe puntualizar que, al realizar el levantamiento topográfico de los tres complejos arquitectónicos, no hemos logrado una cobertura completa. La superficie abarcada en los planos 1, 2 y 3 (Anexo) es de unas 20 hectáreas, pero las áreas con arquitectura monumental son considerablemente más grandes. Al oriente del Complejo Oeste representado en el plano 1 se extienden plazas y patios con edificios de dimensiones considerables, incluyendo estructuras piramidales, hasta unos 500 m de distancia (cf. figura 2.1). Desde el núcleo del Complejo Sureste mostrado en el plano 2, edificios mayores continúan hacia el norte y el oriente hasta más de 100 m de distancia. La distribución de estructuras es casi continua entre los Complejos Oeste y Noreste. Al recorrer los alrededores de los tres conjuntos monumentales en varias direcciones observamos diversos grupos de montículos de dimensiones más modestas, pero la extensión total del asentamiento permanece desconocida.

En distintos puntos del sitio se recolectaron muestras de cerámica de superficie. Otro material fue obtenido durante los trabajos de liberación de monumentos (capítulos 3, 4 y 5). El material cerámico indica la ocupación continua desde por lo menos el Preclásico Tardío hasta finales del Clásico; a juzgar tanto por la cerámica como por las inscripciones, la ciudad parece haber alcanzado su apogeo durante el Clásico Tardío y Terminal (capítulos 3 y 4).

Complejo Oeste (A)

Este complejo arquitectónico, el más grande del sitio, abarca un área mayor de 11 hectáreas y cuenta con decenas de estructuras y diversos monumentos esculpidos. El volumen de la masa arquitectónica de todos los edificios mapeados (Anexo: plano 1, y figura 2.2) es de aproximadamente 107,000 m³. Las estructuras, algunas sumamente voluminosas, están dispuestas en torno a seis plazas que se hallan sobre distintas nivelaciones artificiales, a manera de una enorme acrópolis. En cierto sentido, este complejo reproduce una configuración que vemos repetida a escala mucho menor en algunos grupos arquitectónicos de otros sitios de la región, en donde una plaza o patio central, que ocupa el lugar de mayor prominencia y altura del grupo, debido a que se halla sobre una acrópolis o terraza artificial, queda inmediatamente rodeado por otros patios o plazas a un nivel más bajo (por ejemplo, el Grupo PR-3 de Pared de Los Reyes o el grupo Yax-11 de Yaxnohcah: Šprajc y Flores 2008: 106s; Flores 2013: 16).

La *Plaza Central* constituye el espacio más restringido del complejo, pues ocupa el lugar más elevado, extendiéndose sobre la parte superior de una gran plataforma del tipo acrópolis. La Estructura A-1, un templo-pirámide que delimita la plaza en su lado norte, es el edificio más alto, alcanzando una altura de 11 m, que se convierten en 20 si le agregamos su altura desde el desplante de la plataforma basal del conjunto, en la Plaza Este. Las Estructuras A-2 y A-4 son edificios menores en los lados oeste y este de la plaza, observándose en la primera evidencias de un edificio central con otros dos laterales. La Estructura A-3 es una construcción grande y compleja, que media entre la Plaza Central y la Plaza Sur, desde la cual se alza hasta una altura de 13 m. En su parte superior presenta al menos tres edificios, de los que el principal parece tener su frente hacia la Plaza Central, mientras que los dos laterales pudieran haber dado su frente a la Plaza Sur, hacia donde se aprecian todavía, en el desplante del basamento, los restos de una plataforma adosada y lo que parece ser una escalinata a su parte superior.

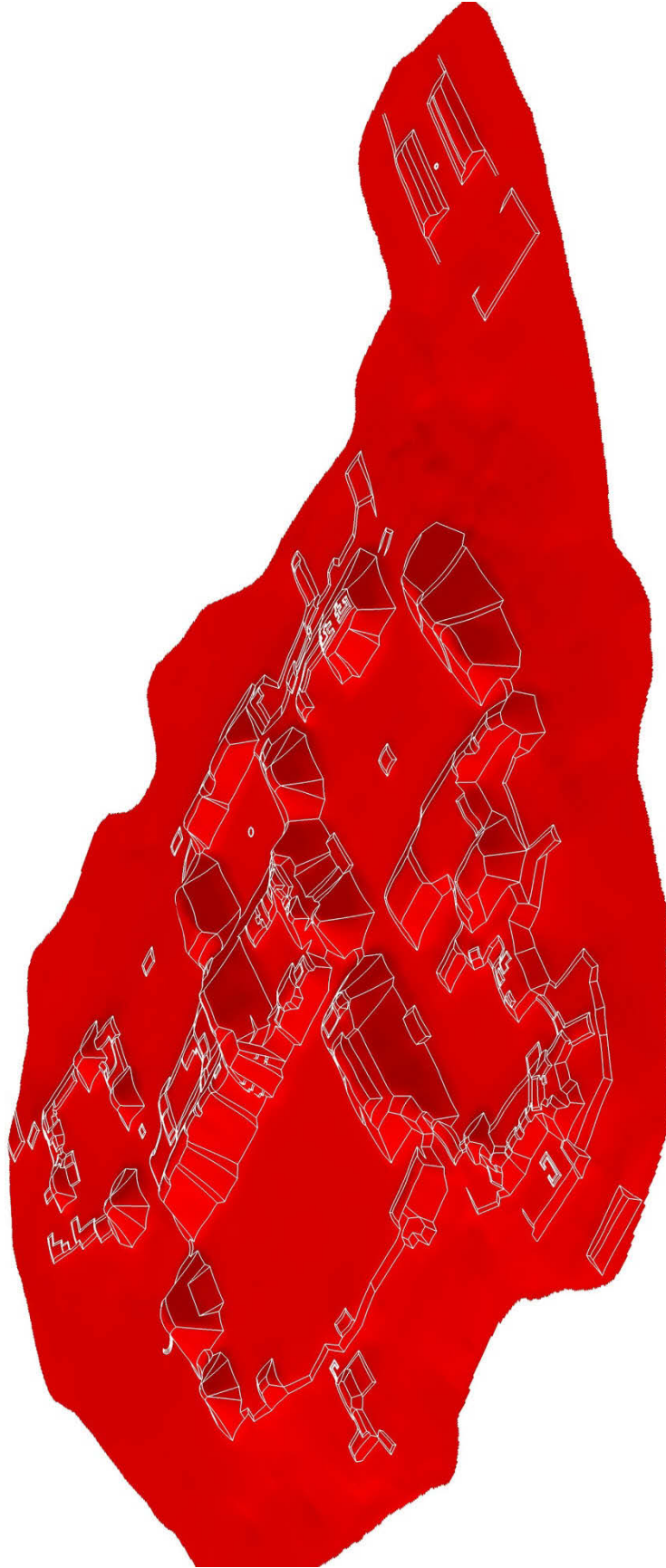


Figura 2.2. Chactún, Complejo A (Oeste), vista hacia el noreste (modelo digital: A. Marsetić).

La *Plaza Este* se extiende al oriente, a 7 m por debajo del nivel de la plaza anterior; es un espacio cerrado con las Estructuras A-5 a A-8, quedando delimitado al poniente por la gran plataforma basal de la Plaza Central. En su centro se eleva un pequeño túmulo de piedras, al parecer los restos de un altar. Las estructuras de esta plaza son de tipo piramidal (A-5) y “palaciegas” o de tipo salón-galería (A-6, A-7 y A-8). La Estructura A-8 presenta algunos detalles arquitectónicos expuestos y todavía en pie, como son los pequeños montículos que se levantan en su parte superior, hacia sus esquinas noroeste y suroeste, posible evidencia de muros que al parecer continuaban hacia el este del edificio, aunque éste sufrió el colapso casi total de sus lados noreste y sureste. Sobre el costado poniente del edificio se aprecian porciones de su fachada todavía en pie, aunque sin el recubrimiento de estuco que tenían sus muros: en el derrumbe se hallaron dispersos numerosos fragmentos de estuco policromado, que atestiguan la profusa decoración del edificio.

La *Plaza Noroeste*, que es el espacio más amplio del sitio, con 107 m de largo y 65 m de ancho, fue construida mediante el levantamiento de una gran terraza o nivelación. En la plaza se encuentran las Estelas 5 a 8 y los Altares 6 a 9 (v. capítulo 4). La Estructura A-9, en su lado oriente, es un edificio piramidal de casi 13 m de altura, adosado a la Estructura A-1. En su talud poniente se encuentran expuestos los restos de los cuerpos que constituyen su basamento, los cuales eran de esquinas remetidas (figura 2.3); sus paramentos, construidos con bloques de roca caliza, estaban seguramente recubiertos con el estuco, actualmente desaparecido. La adyacente Estructura A-10 es un salón-galería sobre un gran basamento. Frente a ella, cerca de las Estelas 7 y 8, se localizan varios fragmentos de monumentos, cuyas características y número no se pueden determinar.



Figura 2.3.
Estructura A-9,
muros
expuestos en el
talud poniente.

Las Estructuras A-11 y A-12, un par de templos-pirámide, delimitan el lado norte de la Plaza Noroeste; hacia el poniente este espacio termina con el talud de la terraza o nivelación de la plaza misma, situándose en ese lado las pequeñas Estructuras A-13, A-14 y A-15. La peculiaridad de la segunda de ellas es que presenta un cuarto o cámara que desplantaba a un nivel más bajo que el

piso de la plaza, siendo posiblemente una subestructura que quedó sepultada parcialmente por el relleno de la nivelación que dio forma a la plaza. Finalmente, la Estructura A-16, en el lado sur de este conjunto, es un imponente edificio, con una altura de 11.5 m desde el nivel de la plaza, aunque ésta es de 14 m desde la Plaza Suroeste. En su parte superior se observan los restos de un edificio completamente derruido, así como lo que parece ser una extensión de la estructura en su lado este, donde se halla un pequeño patio con un santuario en su lado sur; un muro parcialmente expuesto se observa en el talud sur de este edificio.

La *Plaza Suroeste* es un espacio de 40 m por 37 m, que agrupa directamente seis estructuras (A-17 a A-22) y tiene algunos patios anexos.



Figura 2.4. Estructura A-23, muro expuesto en el talud oriente.

Hacia al este, atravesando un pequeño patio o corredor donde se yergue la Estela 1, se extiende la *Plaza Sur*, de 75 m por 51 m, delimitada en su lado oeste por la gran plataforma de la Estructura A-26 y edificios asociados (A-23, A-24 y A-25), a la cual seguramente se ascendía desde la Plaza Sur mediante una escalinata. Además de los edificios mencionados, esta construcción tiene un pequeño edificio integrado en su lado sur, que expone los restos de dos cuartos abovedados que colapsaron parcialmente, al parecer debido a un saqueo. Posiblemente se trata de los cuartos interiores que contiene el edificio, o de una subestructura que quedó parcialmente cubierta por la construcción de la plataforma de la Estructura A-26. Frente a la Estructura A-23, en cuyo talud oriente se observa un muro expuesto (figura 2.4), yace la Estela 2. El lado sur de la plaza lo ocupa la Estructura A-27, un gran basamento piramidal con un par de edificios adosados; su altura es de 10 m desde el nivel de la plaza y de 15 m en su lado exterior. Frente a este edificio se localizan los Altares 1 y 2, alineados con un bloque de pedernal. Las Estructuras A-28 y A-29 delimitan la plaza al oriente; sobre la primera se observan los restos de muros pertenecientes a un edificio con varios cuartos. En el sector noreste de la plaza se localizaron los fragmentos de la Estela 3, aparentemente en posición secundaria (v. capítulo 4).

La *Plaza Noreste* parece distinguirse de las demás tanto por su orientación como por ser la única que no se halla directamente asociada a otra plaza del Complejo Oeste. En medio de la plaza se ubican las Estelas 9 y 10, ambas muy deterioradas, y los Altares 10 y 11 (v. capítulo 4).

Hacia el extremo sureste del complejo, por debajo de la elevación y nivelación que da sostén a todas las plazas del grupo, se halla la Estructura A-59, que constituye un juego de pelota. En la esquina suroeste de la Estructura A-59a se localiza la Estela 12 (v. capítulo 4), mientras que desde la esquina noreste del edificio conduce hacia el sureste el borde de una terraza (con el azimut de aproximadamente 120°), que se desvanece después de unos 20 m. Aproximadamente en la misma dirección corre una somera terraza desde la esquina noroeste del mismo edificio hacia el noroeste. Además, un corto alineamiento de piedras paralelo a las dos terrazas fue observado a unos 10 m al norte de la Estructura A-59a, por lo que podría tratarse de un *sacbé* que conectaba los Complejos Oeste y Sureste, pasando por el lado norte del juego de pelota (Anexo: plano 1). Al tratar de seguirlo, no encontramos más elementos que confirmaran la hipótesis, pero parece indicativo que a una distancia de 160 m de la cancha y en dirección hacia el Complejo Sureste se localiza un monolito parecido a una estela, con dos círculos de distintas dimensiones elaborados en relieve en la parte superior de una de sus caras (N18°43'16.9", W89°31'31.8"; figuras 2.5 y 2.6); a menos de 10 m hacia el suroeste se ubica un bloque amorfo de pedernal (figura 2.6). Es posible que la calzada condujera hacia una serie de plataformas y/o nivelaciones que se observan al noroeste del juego de pelota y que el acceso al Complejo Oeste, quizá marcado por las Estelas 4 y 13 y los Altares 3 y 4 (al menos algunos de estos monumentos no parecen estar en su posición original), estuviera entre las Estructuras A-27 y A-28.



Figura 2.5. Monolito en la planicie entre los Complejos Oeste y Sureste, con dos círculos elaborados en relieve.

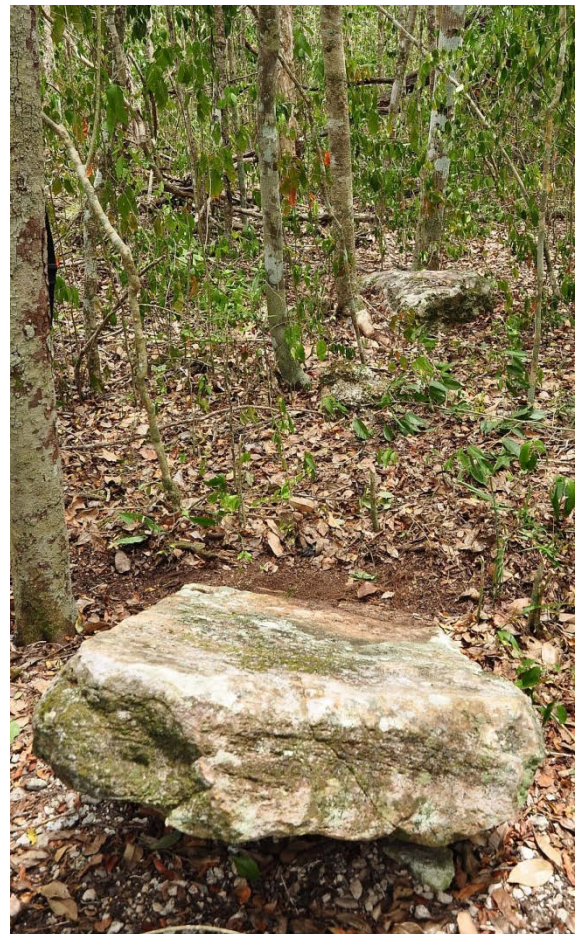


Figura 2.6. Monolito con dos círculos (figura 2.5) y el bloque de pedernal al fondo; vista hacia el suroeste.

Sobre la Estructura A-58, una plataforma rectangular ubicada a unos 30 m al noroeste de la Estructura A-59 (juego de pelota), observamos más de 20 piedras cilíndricas, con diámetros de entre 50 y 60 cm. Una docena de ellas, dispuestas en dos hileras que forman una L, aparentemente encerraban un espacio cuadrangular sobre la plataforma. Dos piedras, parcialmente encimadas, sugieren que se trata de partes de columnas (figuras 2.7, 2.8 y 2.9). En medio del espacio encerrado por las dos hileras de tambores se encuentra el Altar 12 y, pegado a él, un bloque cuadrangular de piedra (v. capítulo 4, figura 4.56). Pocos metros al noroeste parece extenderse otro cuadro formado por seis tambores, aunque posiblemente se trata de los faltantes del primer cuadro, removidos de su lugar original, como lo sugieren otros cilindros en las inmediaciones, evidentemente fuera de su lugar original.

En relación con la supuesta función de los cilindros de piedra, cabe recordar que las columnas de tambores de dimensiones parecidas fueron documentadas en Kaynikté, sitio ubicado a unos 40 km hacia el suroeste (Nondédéo 2003: 142s, 146, tabla 8, láminas 12-14). Es probable, por lo tanto, que también los demás cilindros similares, observados en distintas partes de Chactún (p. ej. sobre la Estructura A-16, en la Plaza Sur y cerca del Altar 3 en el extremo sureste del Complejo Oeste, en la Estructura B-22 del Complejo Sureste y en la plaza enfrente, así como en el grupo periférico Cha-3: figuras 2.16 y 2.19), fueran partes de columnas.

Al este y al noreste de la Plaza Noreste, fuera del área que abarca el plano 1 (Anexo), la distribución de estructuras es casi continua hasta el Complejo Noreste, situado a unos 200 m de distancia, e incluye un montículo piramidal de unos 10 m de altura; en la plaza al sur de esta pirámide se localiza la Estela 11 (N18°43'29.8", W89°31'31.4") (capítulo 4).

A unos 100 m al oriente de las Estructuras A-6 y A-7 se encuentran dos montículos piramidales de unos 8 m de altura. A partir de allí, otras estructuras, arregladas en torno a plazas y patios, continúan a lo largo de unos 250 m hacia el este y otros 200 m hacia el noreste, a lo largo de la orilla del bajo que se extiende hacia el este. Sobre una de las plataformas en este último sector se localiza la Estela 20 (N18°43'29.1", W89°31'19.6") (capítulo 4, figura 4.50).

Inmediatamente al poniente del Complejo Oeste el terreno desciende a un extenso bajo, en cuya orilla se localiza, a poco más de 200 m de distancia del borde poniente del complejo, una aguada. En realidad, la actual aguada ocupa el extremo sureste de una hondonada de planta aproximadamente rectangular, cuyas dimensiones en direcciones norte-sur y este-oeste son de unos 220 m y 170 m, respectivamente. La parte más baja de esta hondonada la ocupa la aguada, de forma irregular –cerca de sus bordes observamos cantidades considerables de pedernal–, mientras que el resto de la hondonada la cubre un tinal. La forma de la hondonada se destaca claramente en las fotos aéreas que examinamos (figura 2.1), debido a que su cubierta vegetal es patentemente diferente de la que se observa en el área circundante. Recordando que el árbol comúnmente llamado “palo de tinte” (*Heamatoxylon campechianum*) crece en áreas periódicamente inundadas, y considerando el hecho llamativo de que la hondonada es casi perfectamente rectangular (con la excepción del sector ligeramente convexo en el extremo suroeste: figura 2.1), resulta evidente que se trata de una modificación artificial del terreno, atribuible a los habitantes de Chactún y destinada para captar el agua de la lluvia. En apoyo de tal interpretación mencionemos que el terreno elevado que constituye las orillas de la hondonada ha de ser el resultado del amontonamiento del material extraído durante la excavación, ya que, aunque la hondonada se localiza en el bajo, sobre el terreno elevado a lo largo de sus bordes no crece la vegetación típica de los bajos.

Recordemos que los reservorios de forma rectangular se encuentran también en otros sitios, p. ej. en Calakmul, Becán, Ichkabal, Xcoch, Uxul y Yaxhá (Domínguez y Folan 1996: fig. 2; Thomas



Figura 2.7. Estructura A-58, hilera norte de piedras cilíndricas, vista hacia el poniente.



Figura 2.8. Estructura A-58, hilera oriente de piedras cilíndricas, vista hacia el norte.



Figura 2.9. Estructura A-58, dos piedras cilíndricas parcialmente encimadas en la hilera norte.

1981: 23, Map 1; INAH 2013; Dunning *et al.* 2014: 70; Grube *et al.* 2012; Graham 2010: 221) y que los terraplenes en las orillas de las aguadas han sido documentados también en Becán (Thomas 1981: 23), Xcoch (Dunning *et al.* 2014), Xultún y San Bartolo (Akpinar *et al.* 2012). Respecto a las piezas de pedernal observadas en el reservorio de Chactún, mencionemos que para algunas aguadas alrededor de los sitios de Xultún y San Bartolo, donde también se encontraron cantidades considerables de este material, Akpinar *et al.* (2012) suponen que pudieron haberse originado como canteras para extraer la piedra, incluyendo el pedernal. Finalmente, llama la atención que la orientación de la hondonada rectangular de Chactún aproximadamente coincide con la de la traza urbana del Complejo Oeste, correspondencia que se observa también entre el plano de Uxul y las aguadas occidental y oriental del sitio, ambas de planta rectangular (Grube *et al.* 2012: fig. 2).

Complejo Sureste (B)

Los edificios mayores de este complejo, que ocupa un área no menor a las 6 hectáreas, siendo el volumen de la masa arquitectónica de todos los edificios mapeados (Anexo: plano 2, y figura 2.10) de unos 44,000 m³, delimitan la plaza central, alrededor de la cual se distribuyen varios grupos de patio con edificios de menores dimensiones, pero que por sus características parecen ser de carácter público-administrativo y residencias de élite. La plaza mayor tiene unas dimensiones de 82 m de largo por 48 m de ancho. Los monumentos esculpidos se ubican en esta plaza, con excepción de la Estela 14 y el Altar 13.

Las Estructuras B-1 y B-2, ambas piramidales, delimitan la plaza principal por el oriente. La primera, con 15.5 m de altura desde el nivel de la plaza, es de planta cuadrangular y totalmente derruida, mientras que la segunda, alcanzando 13 m de altura, presenta dos grandes extensiones o “aleros” laterales. En lo alto de la Estructura B-2 se conservan partes de la fachada poniente del edificio superior: dos muros, construidos con bloques de piedra finamente cortados, algunos de forma trapezoidal, y con la superficie expuesta alisada, enmarcan el vano que era la entrada al edificio (figura 2.11).

Las Estructuras B-3 y B-4, de 15 m y 15.5 m de altura, respectivamente, son otros dos templos-pirámide, que ocupan el lado sur de la plaza; éstos se hallan unidos en su base. La Estructura B-4 tiene adosado en su lado norte el edificio sur de un juego de pelota (Estructura B-5). Al igual que el juego de pelota del Complejo Oeste, éste se orienta en sentido este-oeste. En la esquina sureste de la cancha se colocó un bloque grande de piedra caliza bien cortado, sin grabados, mientras que los otros tres esquineros los constituyen las Estelas 17, 18 y 19, las tres con relieves, pero fragmentadas y evidentemente en posición secundaria (v. capítulo 4).

La Estructura B-6, que delimita la plaza mayor en su lado poniente, es un edificio palaciego que desplanta de una gran plataforma de 40 m de largo, 28 m de ancho y 4 m de alto, con lo que parecen ser los restos de una galería de cuartos en su parte superior. Frente a este edificio se ubicaron el Altar 15 y un bloque de piedra labrado, parado a manera de una estela; evidentemente se trata de un monumento modificado y reutilizado (v. capítulo 4). En el lado norte de la plaza se ubican las Estructuras B-7 y B-8. Esta última es un pequeño edificio piramidal, que fue objeto de saqueo severo: además de una cala de saqueo en su lado norte, presenta un amplio pozo que vació casi por completo su parte superior. En su talud sur se encuentra un árbol caído cuyas raíces arrancaron numerosos fragmentos de estuco policromado (figura 2.12), testimonio de la profusa decoración que tenía el edificio en su fachada, hoy completamente sepultada y colapsada.

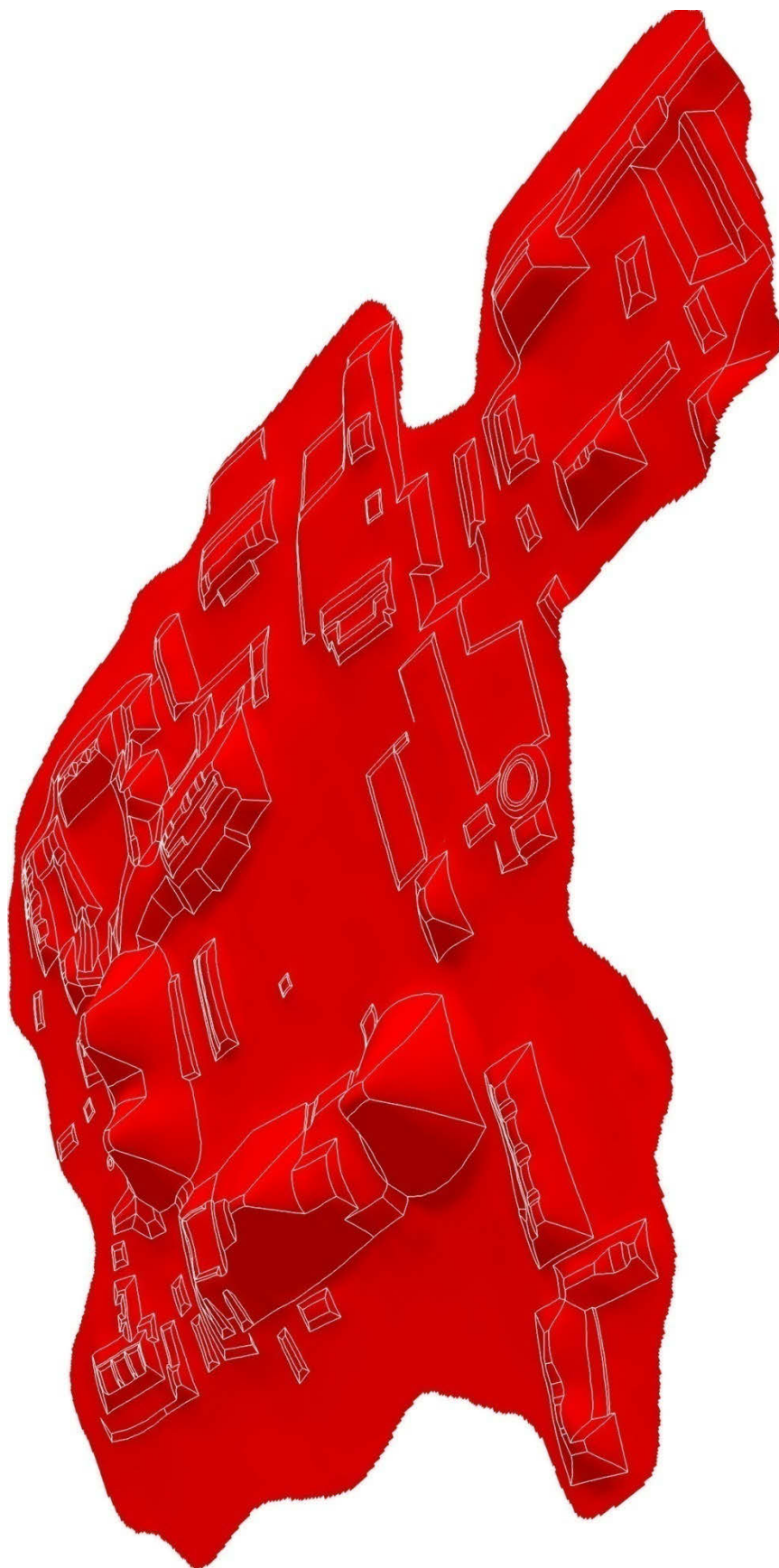


Figura 2.10. Chactún, Complejo B (Sureste); vista hacia el suroeste (modelo digital: A. Marsetič).



Figura 2.11. Estructura B-2, muros de la entrada al edificio superior; vista hacia el sureste.



Figura 2.12. Fragmentos de estuco pintado, encontrados en la Estructura B-8.

En medio de la plaza principal se ubican los fragmentos del Altar 14. Fragmentos muy deteriorados de otro monumento, posiblemente una estela, se encuentran en la parte noreste de la plaza, mientras que su sector noroeste lo ocupan las Estelas 15 y 16, ambas fragmentadas y reutilizadas (v. capítulo 4). Una especie de corredor que se observa en esta parte, entre las estructuras B-27 y B-28, así como el Altar 13 parecen indicar el acceso al Complejo Sureste, es decir, el lugar donde posiblemente desembocaba la supuesta calzada que lo conectaba con el Complejo Oeste (v. *supra*). Sin embargo, la otra posibilidad es que el acceso estuviera al lado sur de la Estructura B-33 (Anexo: plano 2).



Figura 2.13. Muro en la Estructura B-10; vista hacia el sureste (foto: Mauricio Marat, Dirección de Medios de Comunicación, INAH).

En los grupos de patio que rodean la plaza principal predominan edificios alargados. En la Estructura B-10 se encuentra expuesto un muro construido con piedras finamente labradas y, además, con restos de recubrimiento de estuco y de una moldura en su parte superior (figura 2.13). En la Estructura B-16 se observan restos de varios cuartos abovedados. Al excavar en el talud norte de la Estructura B-25, los saqueadores penetraron en el núcleo del edificio por debajo de un piso, sobre el que están expuestos segmentos de dos muros construidos de piedras finamente labradas; en otra cala de saqueo, excavada en el lado oriente del mismo edificio, se encontraron fragmentos de estuco pintado (figura 2.14).

Al pie poniente de la Estructura B-37, en el lado oriente de una plaza, se encuentran frente a una cala de saqueo dos fragmentos de columnas cilíndricas de piedra y estucadas, con diámetros de aprox. 0.35 m (figura 2.15). En medio de la plaza al oriente de la Estructura B-22 se localiza un

tambor de piedra, cuyo diámetro y grosor son de 0.45 m y 0.2 m, respectivamente. Otro cilindro de piedra, de 0.4 m de diámetro y 0.35 m de grosor, pero con superficies laterales ligeramente convexas, se encontró expuesto en el talud oriente de la Estructura B-22 (figura 2.16).



Figura 2.14. Fragmentos de estuco pintado, encontrados en la cala de saqueo excavada en el lado oriente de la Estructura B-25.



Figura 2.15. Fragmento de una columna estucada frente a la Estructura B-37.



Figura 2.16. Tambor de piedra en el talud oriente de la Estructura B-22.

Un *chultún* se ubica inmediatamente al noroeste de la Estructura B-9; otro fue observado a unos 10 o 20 m al sureste de la Estructura B-19, inmediatamente al sur del área presentada en el plano 2 (Anexo). El plano no abarca diversas estructuras mayores que continúan hacia el norte y el

oriente. El terreno natural desciende a un bajo hacia el noreste y a una depresión al sureste, posiblemente una aguada.

Complejo Noreste (C)

Este conjunto arquitectónico es de menor extensión que los otros dos, pero cuenta con dos estructuras piramidales de dimensiones considerables. El volumen de la masa arquitectónica de los edificios mapeados (Anexo: plano 3, y figura 2.17) es de unos 21,500 m³. La Estructura C-1, de más de 15 m de altura, presenta en su esquina suroeste evidencias de dos cuerpos inferiores, con esquinas redondeadas y construidos con bloques de piedra bien careada, sobre todo en su lado expuesto. Al poniente del área levantada, la distribución de estructuras es prácticamente continua hasta el Complejo Oeste.

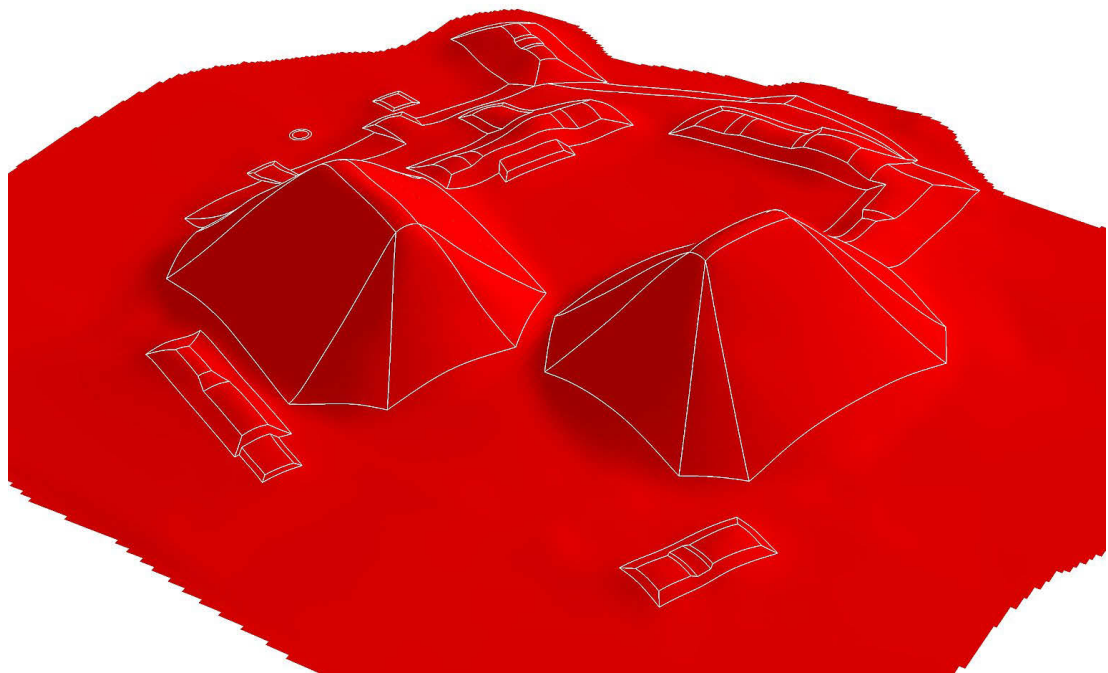


Figura 2.17.
Chactún,
Complejo C
(Noreste); vista
hacia el
suroeste
(modelo digital:
A. Marsetič).

Grupos periféricos

Varios grupos arquitectónicos en los alrededores del núcleo del sitio fueron detectados durante los recorridos por el área aledaña (grupos Cha-1 a Cha-3) y durante los trabajos de reapertura de los antiguos callejones madereros que nos acercaron al sitio (grupos Cha-4 a Cha-13). Su documentación no fue sistemática, por lo que los conjuntos registrados no permiten determinar la extensión del sitio y tampoco pueden tomarse como una muestra representativa de la densidad del asentamiento en la zona.

El grupo *Cha-1* consta de algunos montículos ubicados a aproximadamente 1.3 km al sur del Complejo Sureste, sobre una especie de isla de terreno elevado situada en el bajo que se extiende

al sur del núcleo de Chactún. Destaca un edificio alargado, de unos 25 m de largo por 10 m de ancho, de doble crujía y con unos cinco cuartos en cada hilera. Observamos algunos muros expuestos, incluso partes de un cuarto abovedado (N18°42'27", W89°31'14"; figura 2.18), así como algunas calas de saqueo. A cerca de 0.25 km al sur se localiza una aguada.



Figura 2.18. Restos de un cuarto abovedado en el grupo Cha-1.



Figura 2.19. Cilindros de piedra en el grupo Cha-3.

El grupo *Cha-2* se compone de varios montículos esparcidos al sur y al oriente de la depresión (posible aguada) situada inmediatamente al sureste del Complejo Sureste. Uno de los conjuntos consiste en una plaza con montículos rectangulares, de hasta 3 m de altura, y una estructura piramidal en su lado oriente, la cual se eleva unos 7 m desde el nivel de la plaza, aunque su altura es mayor en su parte posterior, debido a la nivelación sobre la que se encuentra el conjunto (N18°42'57", W89°31'08"). Esta pirámide presenta dos aleros laterales, que le confieren un aspecto similar a los componentes orientales de los complejos del tipo Grupo E, aunque sin su contraparte al poniente. Sobre la plaza se observaron múltiples rascaderos de tuza, los cuales dejaron expuestas grandes cantidades de material cerámico en superficie, aunque en mal estado de conservación. A unos 200 m hacia el noroeste se localiza una cantera (N18°43'01", W89°31'16").

El grupo *Cha-3* comienza a medio kilómetro al estenordeste del Complejo Noreste, extendiéndose a lo largo de otros 500 m hacia el este. Consta de varios patios con montículos piramidales y alargados de hasta 7 m de altura, algunos con segmentos de muros expuestos. En una de las estructuras observamos varios cilindros de piedra, con diámetros de aproximadamente 0.5 m, aparentemente elementos constructivos (N18°43'39.7", W89°31'03.2"; figura 2.19); en otra estructura, a unos 30 m hacia el norte, se encuentran expuestas partes de la escalinata.

El grupo *Cha-4* (N18°42'11", W89°28'05") consiste en un patio principal bastante extenso y otros más pequeños –por lo menos tres– que agrupan en su mayoría estructuras de planta rectangular de no más de 3 m de altura. Uno de los montículos del patio ubicado al sur del principal presenta lo que parece ser una pequeña escalinata en su lado norte.

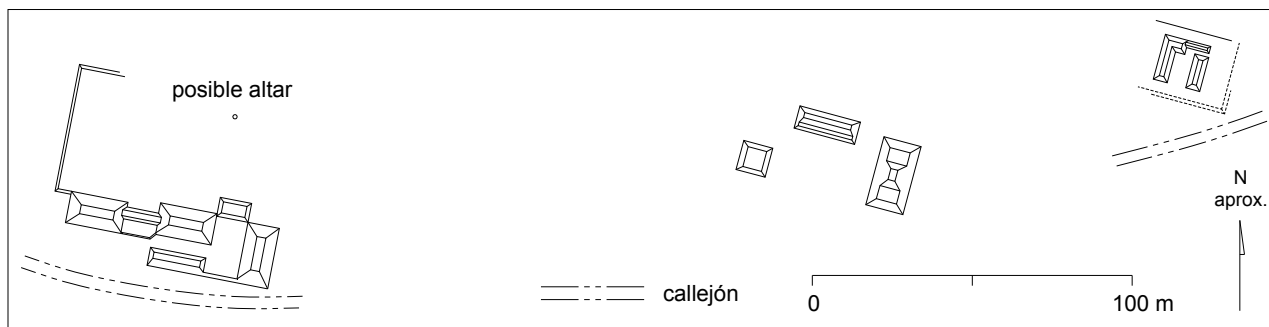


Figura 2.20. Croquis del grupo Cha-5 (levantamiento y dibujo: A. Flores).

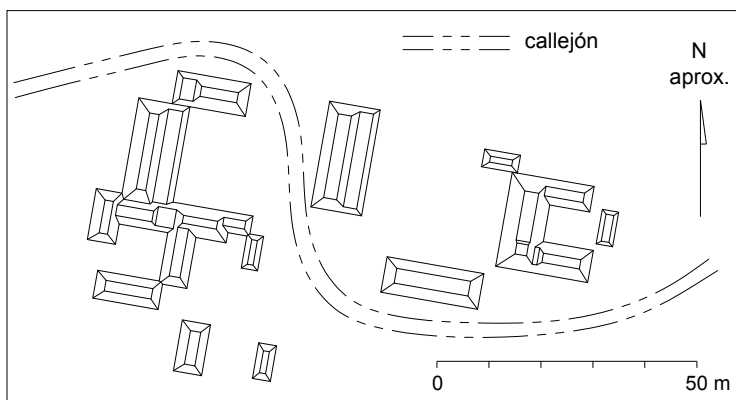


Figura 2.21. Croquis del grupo Cha-6 (levantamiento y dibujo: A. Flores).

El grupo *Cha-5* se compone de tres conjuntos situados sobre el lado norte del camino a Chactún (figura 2.20). El conjunto extremo poniente (N18°42'10", W89°28'40") consta de tres estructuras principales y otras tres anexas que parecen orientarse hacia el norte, donde se extiende una amplia nivelación artificial del terreno, sobre la cual se halló un gran bloque de piedra caliza

que podría haber sido un altar liso. A menos de 150 m hacia el oriente se localiza un patio relativamente extenso delimitado por tres montículos, de los que el más grande, en el costado oriente, se eleva hasta unos 4 m de altura (N18°42'11", W89°28'33"). Otro patio, con montículos de menores dimensiones, se ubica a unas decenas de metros hacia el oriente (N18°42'11.7", W89°28'29.6").

El grupo *Cha-6* (N18°42'10", W89°28'57") lo forman al menos 16 estructuras, algunas relativamente grandes, distribuidas en torno a cuatro patios dispuestos en sentido este-oeste (figura 2.21).

El grupo *Cha-7* (N18°41'57", W89°29'16") consta de una plataforma de baja altura, de unos 10 m de largo por 5 m de ancho, aparentemente aislada.

El grupo *Cha-8* lo componen dos conjuntos de estructuras y algunos montículos dispersos (figura 2.22). Tres montículos relativamente grandes, enmarcando un patio, desplantan sobre lo que parece ser una nivelación artificial (N18°41'50", W89°29'22"). En el área hacia el sur se ubican tres montículos pequeños, uno de ellos partido por el callejón. Más hacia el sur se extiende un conjunto de al menos cinco estructuras agrupadas en torno a dos patios (N18°41'44", W89°29'21"). Todos los montículos son de alturas no mayores a los 2 metros.

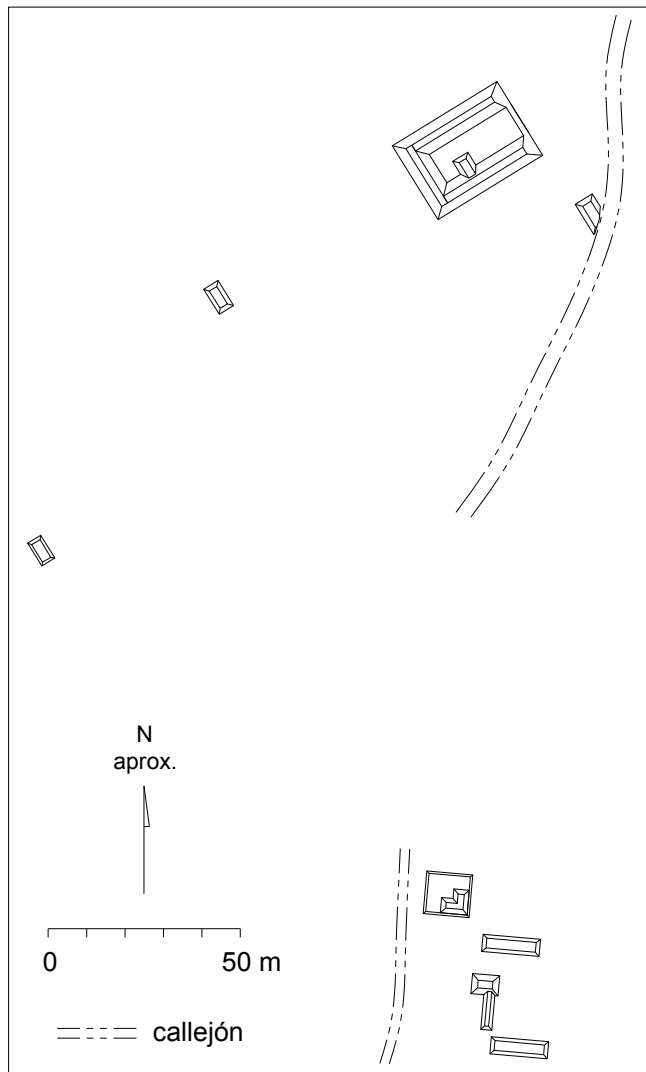
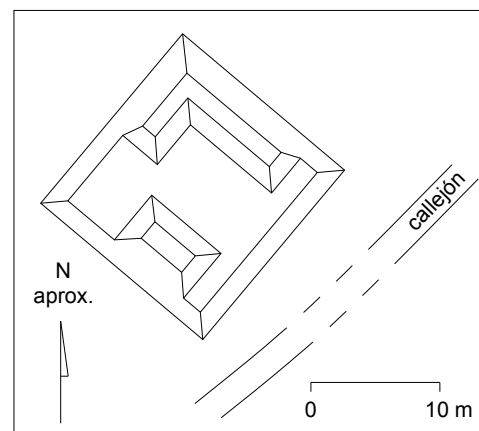


Figura 2.22. Croquis del grupo Cha-8 (levantamiento y dibujo: A. Flores).

Figura 2.23. Croquis del grupo Cha-9 (levantamiento y dibujo: A. Flores).



Dos montículos pequeños, rodeando un patio sobre una terraza o nivelación artificial, componen el grupo *Cha-9* (N18°41'51", W89°29'37") (figura 2.23).

El grupo *Cha-10* consta de dos conjuntos (figura 2.24). Sobre una plataforma o terraza cuadrangular se encuentra un montículo con planta en forma de L (N18°41'37", W89°29'30"). Se observan todavía los restos de un vano que constituía la entrada a un cuarto. A unos 100 m hacia el suroeste se ubica un conjunto de cinco montículos, con alturas menores de 2 m (N18°41'34", W89°29'31"). El montículo norte presenta los restos de un muro en pie y expuesto.

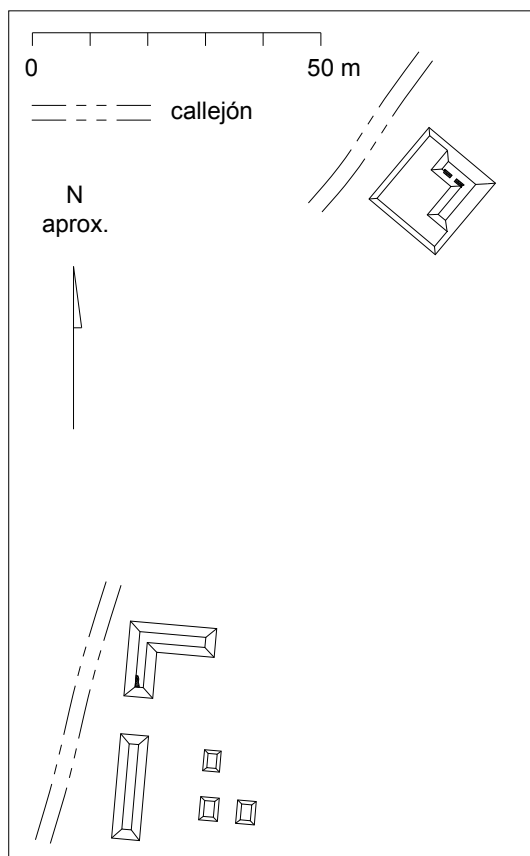


Figura 2.24. Croquis del grupo Cha-10 (levantamiento y dibujo: A. Flores).

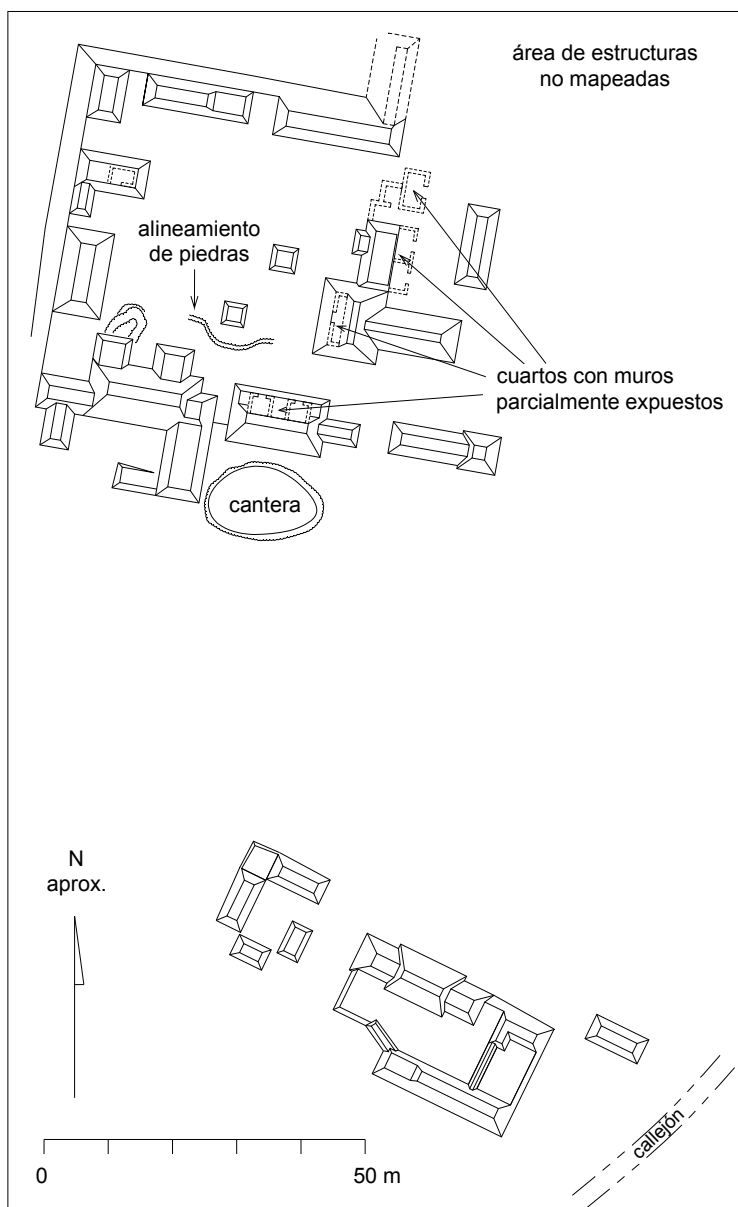


Figura 2.25. Croquis del grupo Cha-11 (levantamiento y dibujo: A. Flores).

El grupo de mayores dimensiones localizado en el trayecto del antiguo camino maderero que va hacia Chactún es el *Cha-11* (figura 2.25). El conjunto norte (N18°41'32", W89°29'46") está orientado en torno a una plazuela bastante amplia. Todas las estructuras son montículos de planta rectangular y alturas que alcanzan hasta 4 m, exceptuando una, de tipo piramidal, que delimita la plaza por su lado este, aspecto que concuerda con la configuración que Becker (1971; 1991)

denominó Plano de Plaza 2. Unos 100 metros al suroeste (N18°41'30", W89°29'50") se ubica un pequeño grupo de patio con dos montículos, uno de ellos con planta en forma de L; a cosa de 150 m al este de la plaza principal (N18°41'33", W89°29'42") se localiza una estructura aislada sobre una pequeña elevación natural, con los restos de muros que visiblemente delinear un cuarto. A poca distancia al sur del conjunto más grande se ubican dos grupos de patio adyacentes que desplantan sobre sus respectivas nivelaciones o terrazas artificiales (N18°41'29", W89°29'47"). El conjunto oriente se compone de montículos con alturas de hasta 4 metros. A unos metros hacia el noroeste se localiza el segundo patio, con montículos de menos de 2 m de altura.

El grupo *Cha-12* (N18°41'24", W89°29'52") está formado por un montículo con planta en forma de L que desplanta de una terraza o nivelación artificial, delineando junto con otra plataforma un patio (figura 2.26).

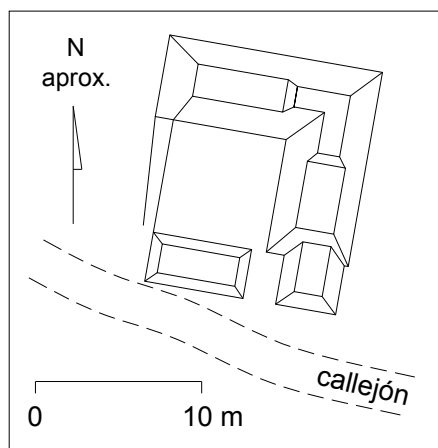


Figura 2.26. Croquis del grupo Cha-12 (levantamiento y dibujo: A. Flores).

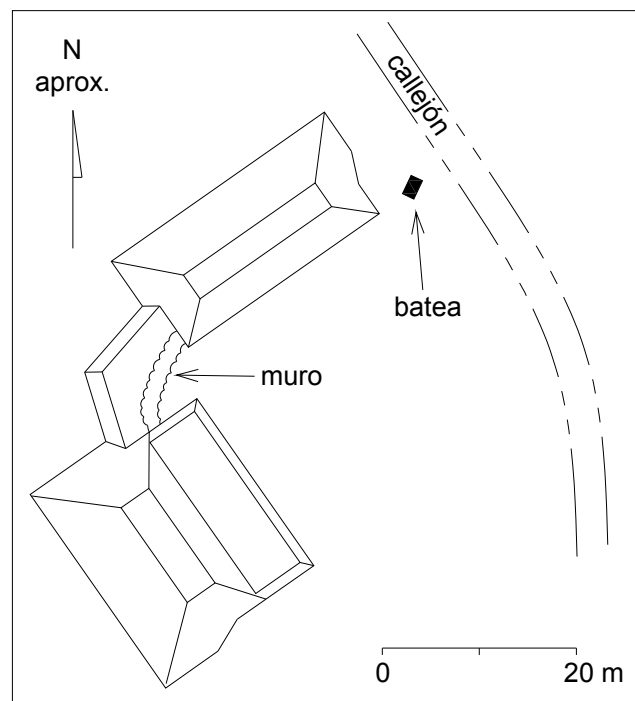


Figura 2.27. Croquis del grupo Cha-13 (levantamiento y dibujo: A. Flores).

El grupo *Cha-13* (N18°41'11", W89°30'09") consiste en dos montículos rectangulares de unos 3 m de altura, dispuestos en escuadra. La estructura poniente, con un pozo de saqueo en su parte superior, cuenta con una prolongación en su parte frontal en la forma de una banqueta; los restos de un muro bajo parecen unirla con la estructura norte. Al lado de ésta última se ubica una batea grande de piedra (figura 2.27).

Orientaciones de los edificios

Los edificios de Chactún manifiestan la predominante desviación en el sentido de las manecillas de reloj respecto a los rumbos cardinales (Anexo: planos 1 a 3), tendencia que prevalece en Mesoamérica en general (cf. Aveni 2001; Šprajc 2001), así como en el área maya (Aveni y Hartung 1986; Šprajc y Sánchez 2012; Sánchez y Šprajc s.f.) y, específicamente, en el sureste de Campeche (Šprajc 2008d). Por lo tanto, resulta altamente probable que, así como en otros sitios, también en

Chactún al menos los edificios principales fueran orientados a partir de motivos astronómicos. En vista del estado actual de las estructuras, sus orientaciones no pudieron determinarse en campo. No obstante, cabe llamar la atención a algunas que pueden establecerse, de manera aproximada, en los planos 1, 2 y 3 (Anexo).

La línea con la que podemos conectar las cumbres de las Estructuras B-3 y B-4 –pirámides adyacentes en el costado sur de la plaza principal del Complejo Sureste– tiene el azimut de aproximadamente $104^{\circ}40'$ y parece reproducir el eje este-oeste de ambas estructuras (Anexo: plano 2). El azimut, si consideramos el posible error de $\pm 0.5^{\circ}$, corresponde al grupo más difundido de orientaciones en las Tierras Bajas Mayas, para el que se ha mostrado que registraba las salidas del Sol el 12 de febrero y el 30 de octubre; el hecho de que este par de fechas delimita un periodo de 260 días, posiblemente un ciclo agrícola canónico, representa la explicación más probable de este grupo de alineamientos (Šprajc 2008d; Šprajc y Sánchez 2012; Sánchez y Šprajc s.f.). En Chactún, la misma orientación parecen manifestarla la Estructura B-2, en el costado oriente de la plaza principal del Complejo Sureste, y la Estructura A-1, la más alta del Complejo Oeste (Anexo: planos 1 y 2).

La Estructura C-2 en el Complejo Noreste, desviada aproximadamente 25° al sur del este (Anexo: plano 3), muy probablemente registraba las salidas del Sol en el solsticio de diciembre o sus puestas en el solsticios de junio.

Orientaciones aproximadas pueden establecerse para unos cuantos edificios más, pero sería especulativo tratar de determinar sus referentes astronómicos.

3 Análisis del material cerámico

Atasta Flores Esquivel
Esteban Mirón Marván

Durante los trabajos en Chactún se recuperaron un total de 664 tiestos cerámicos,¹ provenientes de los dos grupos arquitectónicos mayores del sitio y de dos conjuntos periféricos menores. El material fue recolectado tanto en la superficie como en excavaciones pequeñas realizadas para la liberación y conservación de algunos monumentos esculpidos (v. capítulo 4). El tamaño y la procedencia mayoritariamente superficial de la colección implican limitaciones en la lectura de sus patrones y asociaciones. El objetivo básico de este trabajo es enmarcar temporalmente y de manera preliminar la pequeña colección de tiestos del asentamiento estudiado, sumando esta información a los datos cronológicos registrados en los monumentos esculpidos y a la cronología relativa que pueden proporcionar los detalles arquitectónicos todavía visibles en el sitio. Los totales de los tiestos colectados en cada uno de los grupos arquitectónicos se muestran en la tabla 3.1.

Grupo	Total de tiestos
Oeste	396
Sureste	254
Cha-6	12
Cha-11	2

Tabla 3.1.
Totales de los tiestos por conjuntos.

Metodología

El material fue trasladado al Instituto de Investigaciones Antropológicas de la Universidad Nacional Autónoma de México, donde se proporcionó un espacio en donde pudiera llevarse a cabo el análisis del mismo.² El método empleado fue el de Tipo-Variedad, el cual implica una identificación cautelosa de los complejos temporales establecidos para la región. Esto se llevó a cabo hasta donde las características del material lo hicieron posible, dejando en bastantes casos solamente la identificación de lozas o grupos, sin llegar a determinar tipos y variedades. Aún así, se logró con ello identificar los intervalos más amplios acerca de la temporalidad relativa y las filiaciones estilísticas y tecnológicas, propósito principal del presente análisis. Evidentemente, el referente comparativo más cercano para la cerámica de este sitio y de su región circundante es el vecino Becán, situado a 23 kilómetros al sureste de Chactún; por lo que la seriación tipológica de aquel sitio, elaborada por Joseph Ball (1977), fue una referencia obligada.

La muestra analizada consistió en 664 tiestos, procedentes de los complejos Oeste y Sureste del sitio y de dos pequeños grupos periféricos situados hacia el sureste. En el Complejo Oeste se recolectó la mayor parte del material (396 tiestos), representando el 59.64% de la muestra, mientras

¹ El número inicial de tiestos, 655, aumentó ligeramente debido a que algunos sufrieron fracturas durante su transporte, almacenamiento y análisis.

² Queremos agradecer particularmente a Rodrigo Liendo Stuardo, investigador del Instituto de Investigaciones Antropológicas de la UNAM, por permitirnos amablemente llevar a cabo el análisis cerámico en dicho lugar, así como a Pedro Francisco Sánchez Nava, Coordinador Nacional de Arqueología del INAH, por las facilidades prestadas para el transporte y posterior devolución de las muestras cerámicas.

que del Complejo Sureste proviene el 38.25% (254 tiestos). No se obtuvieron muestras cerámicas del Complejo Noreste ni del resto de los demás conjuntos periféricos documentados.

Debemos recalcar que la muestra es relativamente pequeña y que procede en su mayoría de colecciones de superficie obtenidas de manera no aleatoria ni sistemática (en términos estadísticos; cf. Drennan 2009: 82, 85) y halladas en áreas muy específicas del sitio, principalmente en sus mayores núcleos cívicos, por lo que quizá es poco representativa de la secuencia ocupacional del asentamiento en su conjunto, o de las intensidades de ésta, y mucho menos de la de áreas, elementos o contextos específicos, tales como edificios, plazas etc., con la posible excepción del material que fue colectado en las pequeñas excavaciones de liberación practicadas en algunos monumentos. Sin embargo, consideramos que sí logra darnos una idea de los periodos durante los cuales se halló en plena ocupación y actividad el asentamiento, complementando las fechas absolutas obtenidas de los monumentos inscritos.

Finalmente, se elaboró una base de datos con el programa *Filemaker*, donde se almacenaron los registros del material, que agrupan los tiestos provenientes del mismo contexto y con los mismos atributos. De este modo se construyeron 303 registros, en los que se pudieron cuantificar, ilustrar y aislar las categorías identificadas. Esta base es susceptible de ser modificada y ampliada, agregándosele más registros cuando se realicen investigaciones posteriores en Chactún.

Análisis cerámico: tendencias cronológicas

Se pudieron identificar temporalidades de larga duración en aproximadamente dos terceras partes de la colección, excluyendo 189 tiestos que no fue posible asociar con ninguna cronología relativa (tabla 3.2). A continuación se describirán a grandes rasgos los elementos observados de cada temporalidad, con las lozas y grupos observados en asociación a cada una. Se enumerarán las lozas en orden alfabético en cada temporalidad; los números incluidos en las ilustraciones de los perfiles representan los códigos asignados en la base de datos.

Preclásico Tardío: Complejos Chicanel (350 a.C. - 300 d.C.) / Pakluum (300 a.C. - 250 d.C.)

Un total de 34 tiestos, sobre todo del Grupo Sureste (27), fueron asociados con este rango temporal que involucra los complejos Acachen (posiblemente) y Pakluum de Becán, correspondientes al Preclásico Medio y Tardío, respectivamente. La presencia de los atributos estilísticos y tecnológicos de la loza Paso Caballo y posiblemente Flores Cerosa, junto con dos tiestos de la loza Uaxactún sin engobe del grupo Sapote, marcaron la ocupación preclásica del sitio. Es muy posible que la ocupación fuera más intensa durante el Preclásico Tardío, lo que no descarta completamente la posibilidad de que ya hubiera una población en el asentamiento desde el Preclásico Medio.

Loza: Flores cerosa

Grupo: sin especificar

Solamente un borde de tecomate fue asociado preliminarmente con esta loza; presentaba restos de engobe ceroso muy erosionado de color oscuro (figura 3.1). Fue difícil en ocasiones diferenciar engobes cerosos del Preclásico Medio a los del Preclásico Tardío, la mayor parte quedó asociada al último, sin descartar por completo que muchos de ellos podrían pertenecer al primero.



Figura 3.1. Tecomate con el labio ensanchado de probable pertenencia al Preclásico Medio.

Loza: Paso Caballo cerosa

Grupos: Escobal, Polvero y Sierra

17 tiestos fueron identificados con esta loza del Preclásico Tardío, tecnológica y estilísticamente distribuida por toda el área maya. Se trata de platones de base plana, cajetes y ollas con engobes cerosos que se observaron en los dos grupos arquitectónicos principales. Los colores de los engobes se presentaron en rojos claros y oscuros, negros, marrones oscuros; en un tiesto se observó la bicromía rojo sobre crema y, en algunos fragmentos, la técnica de doble engobe con un color claro en el fondo. Las pastas en general presentan textura mediana y las paredes tienden a ser mayoritariamente gruesas (figuras 3.2 a 3.5).



Figura 3.2. Cuerpo con bicromía en engobe ceroso, tipo Escobal Rojo Sobre Crema, variedad sin especificar.

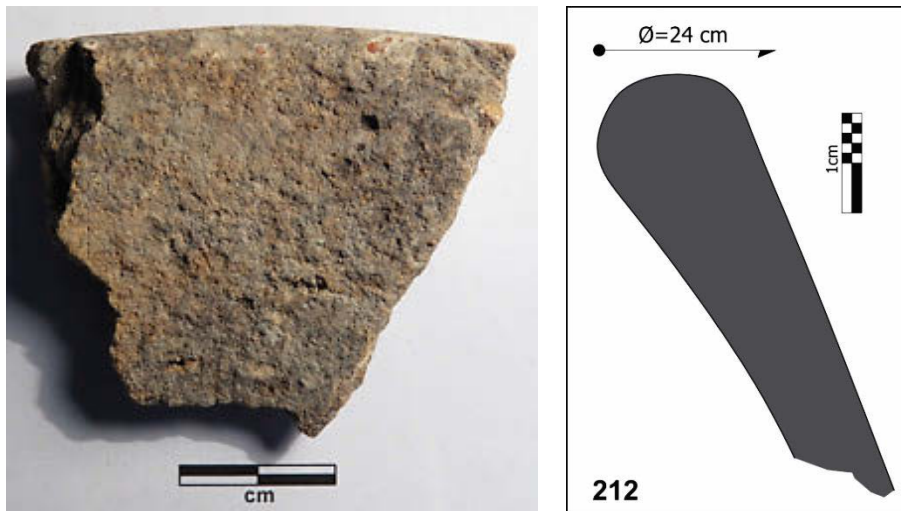


Figura 3.3. Platón tipo Sierra Rojo, variedad sin especificar.



Figura 3.4. Cuerpo de recipiente abierto tipo Polvero Negro, variedad sin especificar.



Figura 3.5. Cuerpo de recipiente abierto tipo Sierra Rojo, variedad sin especificar.

Loza: Uaxactún sin engobe

Grupo: Sapote

Un borde de tecomate estriado es el único tiesto de esta loza y grupo del Preclásico identificado plenamente (figura 3.6), de pasta de textura mediana-gruesa y estrías someras erosionadas que van desde el borde del recipiente restringido.



Figura 3.6. Tecomate Sapote Estriado, variedad Rastro.

Clásico Temprano: Complejos Tzakol (300 - 600 d.C.) / Chacsik-Sabucán (250 - 600 d.C.)

Se identificaron recipientes de servicio con engobes lustrosos, característicos de este periodo, que abarca los complejos Chacsik (250 - 450 d.C.) y Sabucán (450 - 600 d.C.) establecidos por Ball (1977) en Becán. Un total de 51 tiestos de los dos conjuntos principales de Chactún se asociaron con esta temporalidad. Las influencias estilísticas y tecnológicas, al igual que durante el Preclásico, provienen principalmente del Petén, región que desde el siglo III d.C. hasta entrado el Clásico Tardío produjo recipientes con tecnología de engobes lustrosos muy bien adheridos a la superficie, y relativamente abundantes casos de policromía en cajetes de paredes rectas y platos. Se describe brevemente a continuación la única loza y los grupos identificados para el Clásico Temprano en la colección.

Loza: Petén Lustrosa

Grupos: Águila, Balanza y Dos Arroyos

Los tiestos de esta loza de servicio de alimentos sólidos y líquidos, representada por platonos evertidos, cajetes de paredes rectas y cuencos hemisféricos, presentan un engobe lustroso color anaranjado o crema muy bien acabado, en muchos casos presentando decoración policroma o una banda roja en el borde (figuras 3.7 a 3.9).

Figura 3.7. Cuenco tipo Águila Anaranjado.



Figura 3.8. Platón evertido tipo Dos Arroyos.

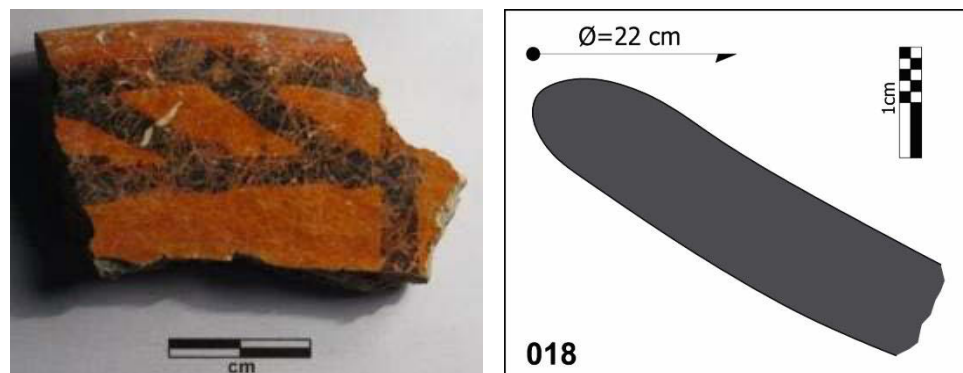




Figura 3.9. Plato del grupo Balanza Negro.

Clásico Tardío-Terminal: Complejos Tepeu (600 - 950 d.C.) / Bejuco-Chintok-Xcocom (600 - 1050 d.C.)

Este amplio periodo, que corresponde a los complejos locales Bejuco (600 - 700), Chintok (700 - 800) y Xcocom (800 - 1050 d.C.), se identificó profusamente en todo el sitio. Sin embargo, lo reducido de la muestra y la proveniencia de los materiales y sus contextos, así como las revaloraciones recientes acerca de las características y la distribución temporal de estos complejos (Ball 2014: 428-431), nos sitúan ante la necesidad de tomar en cuenta sus modificaciones y manejar las pertenencias a estos periodos con cautela y en un sentido amplio, ateniéndonos aquí en términos generales a lo propuesto originalmente para la cerámica de la región, específicamente del vecino Becán (Ball 1977). Alrededor de la mitad de todos los tiestos de la muestra (313) corresponden a tipos asignados a este rango temporal, la mayor parte de ellos característicos de los complejos Chintok-Xcocom de los siglos IX a XI d.C. (Ball 2014: 441), aunque Bejuco se encuentra también representado. Es hasta esta temporalidad que se observan diferentes influencias en los recipientes que no provienen únicamente del Petén, con una marcada ocurrencia de estilos y tecnologías provenientes del occidente, con la loza Campeche Lustrosa, y del norte, con la loza Yucatán Lustrosa; así como la presencia de cajetes de pasta fina y paredes delgadas de la región del bajo Usumacinta, sin dejar de observarse la presencia todavía importante de grupos y tipos peteneros.

Loza: Campeche Lustrosa

Grupos: Traino, Sayán

Estos dos grupos de la loza Campeche Lustrosa se observaron con relativa frecuencia en la colección analizada. Las dos agrupaciones tipológicas observadas fueron Traino Café, con engobes lustrosos de color café claro en interiores de cazuelas con el borde convergente (figura 3.10) y el grupo Sayán Rojo sobre Crema, representado por 4 cuencos hemisféricos decorados en el exterior en patrones de círculos con puntos en el centro en color rojo sobre un engobe crema y el interior solamente pulido (figura 3.11).



Figura 3.10. Cazuela del grupo Traino Café.

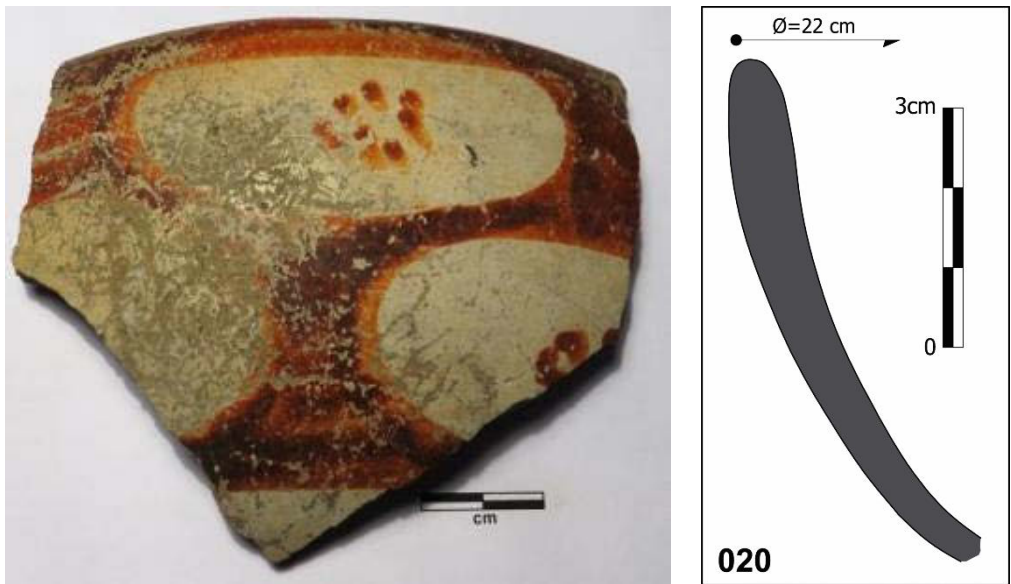


Figura 3.11. Cuenco tipo Sayan Rojo sobre Crema.

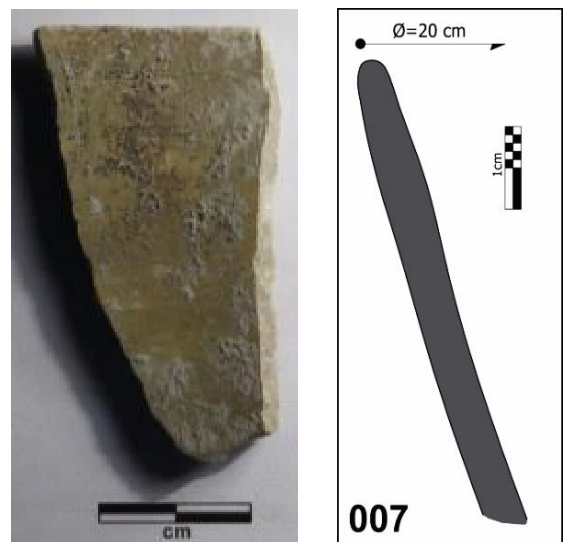


Figura 3.12. Cajete de paredes rectas del grupo Ticul Slate.

Loza: Pizarra Delgada (Thin Slate)

Grupo: Ticul

Se asociaron 9 tiestos provenientes de ambos grupos arquitectónicos principales con esta loza de servicio de líquidos en cajetes de paredes delgadas con engobes jabonosos muy bien pulidos en tonos cremas claros con tendencia al verde oliva (figura 3.12).

Loza: Uaxactún sin Engobe

Grupos: Triunfo, Cambio, Encanto

Más de una cuarta parte de la colección (168 tiestos) correspondió a uno de los grupos de esta loza sin engobe, de recipientes de procesamiento, almacenamiento y transporte de alimentos, sobre todo líquidos, destacando la presencia de superficies estriadas en diversos patrones, profundidades y grosores (figura 3.13). A este grupo pertenecen las únicas muestras cerámicas halladas e identificadas en los grupos periféricos fuera de los núcleos monumentales de Chactún (figura 3.14).



Figura 3.13. Ollas estriadas del grupo Triunfo.

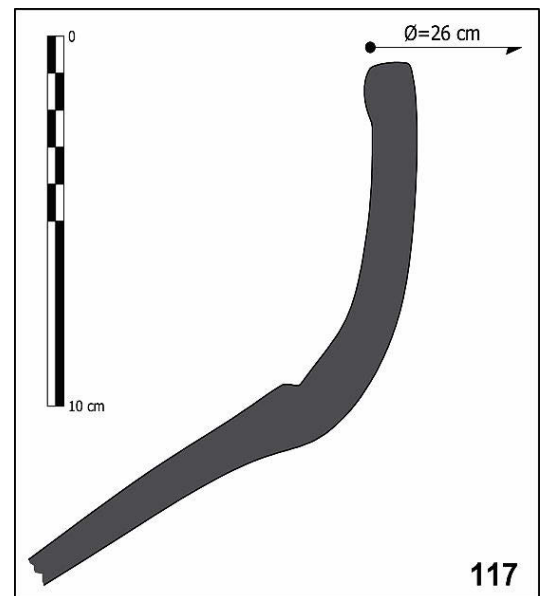


Figura 3.14. Olla del grupo Encanto Estriado.

Loza: Yucatán Lustrosa

Grupo: Becanchén Café

Se trata de 20 tiestos que representan cazuelas con el borde ensanchado, ollas con el cuello pequeño curvo divergente y platones de base anular, todos con engobes de color café claro de textura lustrosa, en pastas de textura mediana (figura 3.15).

Figura 3.15. Cazuela del grupo Becanchén Café.



Loza: Zoh Laguna sin engobe

Grupo: Paaktzatz

Identificación preliminar de un incensario de orificio restringido con aplicaciones cónicas en el exterior; solamente un tiesto (figura 3.16).



Figura 3.16. Fragmento de incensario posiblemente de la loza Zoh Laguna sin engobe.

Figura 3.17. Vaso de paredes curvo-convergentes del grupo Altar, con acanaladuras en el exterior y superficie roja.



Loza: Anaranjada Fina

Grupos: Altar y Balancán

Esta loza diagnóstica del Clásico Terminal se encontró únicamente en cuatro registros, localizados en los dos grupos principales del sitio. Se presentaron superficies en colores rojo y blanco, con decoraciones incisas y acanaladas. Todos los tiestos asignados a estos grupos formaban parte de cajetes o vasos y cuencos para el servicio de líquidos (figuras 3.17 y 3.18).



Figura 3.18. Cuenco del grupo Balancán, con superficie blanca e incisiones en el exterior.

Posclásico: Complejo Lobo (1200 - 1450 d.C.)

Se registraron 73 fragmentos de incensario de la loza Mayapán sin engobe, grupos Navulá y Panabá, que representan el 10.99% del total de la colección. No es extraño que en las muestras superficiales de sitios en toda la península de Yucatán se observen estos artefactos-efigie de temporalidad tardía. En el caso de Chactún, la gran mayoría de muestras de este tipo se halló asociada a la Estela 1 (figuras 3.19 a 3.21).



Figura 3.19. Fragmento del incensario Chen Mul Modelado.



Figura 3.20. Fragmentos de aplicaciones de incensarios del grupo Panabá.



Figura 3.21. Fragmento de incensario del grupo Navulá.

Conclusiones preliminares acerca de la cerámica de Chactún

Con el material recolectado en Chactún se puede establecer tentativamente una ocupación continua en el sitio desde por lo menos el Preclásico Tardío hasta el Clásico Terminal o comienzos del Posclásico Temprano, quizá habiendo alcanzado su mayor intensidad –constructiva y poblacional– hacia el siglo VIII o IX d.C. Al último periodo de ocupación le seguiría, de manera similar a la mayor parte de grandes sitios en la región, una época de actividad ocasional, aunque constante, principalmente durante el Posclásico Tardío. La reciente revisión de la clasificación cerámica del cercano Becán y la modificación de las características y temporalidades de los complejos Bejuco y Chintok, separados ahora por un “vacío” durante gran parte del siglo VIII d.C. (Ball 2014), llama la atención acerca de las posibles implicaciones de este aparente periodo de abandono o semiabandono en Becán: este evento pudo tener repercusiones en Chactún, expresándose, por ejemplo, en la posterior reutilización y reacomodo de varios de los monumentos del sitio (cf. capítulo 4).

La colección aún es pequeña, superficial en su mayor parte y poco representativa, como para ofrecer mayor detalle sobre la intensidad temporal y desarrollo de cada periodo de ocupación; y si bien observamos preliminarmente una mayor cantidad de material perteneciente al Clásico Tardío-

Terminal, quizá deba suponerse que esto se debe a que el último periodo de ocupación generalmente sea el mejor representado, no sólo en las muestras superficiales. Esto significa que el material asignable al complejo Chintok, del octavo al noveno siglo d.C., fue el que presentó una mayor frecuencia en la presente muestra de Chactún, con 224 tiestos (el 33.73% de la muestra), seguido por el periodo de "reocupación" o de "visitas ceremoniales", representado por el complejo Lobo del Posclásico Tardío, con un total de 77 tiestos (11.60%), aunque debemos señalar que la casi totalidad de ellos fueron hallados en asociación directa con la Estela 1, seguramente dejados como ofrenda (cf. capítulo 4).

No obstante, debemos señalar que los materiales que pueden asignarse a épocas anteriores no carecen de cierta importancia en la muestra, como los que parecen corresponder al complejo Bejuco (siglos VII a VIII d.C.), del cual se identificaron un total de 72 tiestos (el 10.84%). Cabe señalar, además, la posibilidad de que gran parte del material que se ha asignado a Chintok pueda datarse en realidad a Xcocom, pues para Becán, Ball (1977: 161) menciona los pocos y escasos depósitos en los que fueron hallados materiales del primer complejo, sin hallarse revueltos con material Bejuco, para los casos de rellenos de estructuras, o con material Xcocom, en los casos de procedencias de superficie. Ello quizá explique la relativa baja frecuencia de materiales asignables a Xcocom (23 tiestos) y su enorme disparidad con los que hemos asignado a Chintok, lo que quizá nos llame a que debamos tomar provisionalmente a estas primeras muestras de Chactún dentro de un mismo conjunto temporal Chintok-Xcocom.

Por otro lado, la cerámica nos indica que las ocupaciones más antiguas en el sitio parecen remontarse al Preclásico Tardío, por lo menos, de manera similar a otros sitios cercanos de la región, como Hormiguero y Xpuhil, para los que no se ha podido determinar una antigüedad mayor, ni restos de otra índole que puedan datarse a dicho periodo, fuera de los materiales cerámicos provenientes de depósitos secundarios (Bueno 1999: 45); resultando por ahora muy difícil determinar a nivel regional las ocupaciones pre-Pakluum o Acachén en la región, con la clara excepción de Becán (Ball 1977).³ De manera similar a lo propuesto para este último sitio, los complejos tempranos equivalentes a Pakluum y Chacsik-Sabucán en Chactún (Preclásico Tardío y Clásico Temprano, respectivamente) parecen corresponder a una tradición cerámica orientada primordialmente al Petén (Ball 1977: 153, 155, 157), pues en la presente colección únicamente fueron hallados materiales pertenecientes a vajillas asociadas a esferas cerámicas características de dicha región; aunque debemos señalar que nuestras muestras fueron realmente pequeñas para dichas épocas (34 y 51 tiestos respectivamente), destacando tipos como el Sierra Rojo (13), Balanza Negro (17), y Águila Anaranjado (10). No obstante pequeñas, estas muestras revelan una ocupación antigua en Chactún, y quizá dejan entrever la importancia que tenía este asentamiento desde el Preclásico Tardío, lo que nos llama ineludiblemente a preguntarnos acerca del tipo de relaciones que este centro mantuvo con su gran vecino al sur.

En las muestras correspondientes al Clásico Tardío se observa la presencia de material perteneciente a esferas cerámicas distintas a las del Petén, de manera similar a otros sitios de la región (Ball 1977; Bueno 1999), sobresaliendo algunos tipos pertenecientes a los grupos Becanchén y Traino (20 y 28 tiestos). Sin embargo, aún así predominaron ampliamente las muestras de vajillas

³ Sin embargo, debemos mencionar que estudios relativamente recientes en Río Bec han localizado materiales pertenecientes al Preclásico Medio, en un caso asociados a los restos de una pequeña plataforma en el Grupo Kajtún, que por lo demás parece contrastar en sus características con los demás grupos de dicho "sitio" (cf. Taladoire et al. 2013: 364s).

peteneras, donde los tipos más abundantes correspondieron a ollas y vasijas estriadas del grupo Encanto (148 tiestos), el más abundante de toda la muestra.

Con respecto a las proveniencias del material, debemos mencionar con cierto detalle al que se obtuvo de las operaciones de liberación y limpieza practicadas en cuatro monumentos del sitio (Estelas 1, 12, 14 y 17; v. capítulo 4), el cual representa el 46.38% del total de la muestra, es decir, casi la mitad de la misma, y evidentemente su mayor sesgo en cuanto a la representatividad del material cerámico para la totalidad del sitio. Este material no parece mostrar tendencias cronológicas claras con algún periodo en particular, con la aparente excepción de la Estela 1, muy probablemente debido a que el material hallado en las tres últimas estelas corresponde principalmente a depósitos secundarios, asociados a contextos de reutilización del espacio inmediato, para la reubicación y reutilización de los monumentos desde su ubicación original. En el caso de las Estelas 14 y 17 se hallaron materiales correspondientes a prácticamente todos los complejos identificados en el presente análisis (con excepción del Posclásico), incluyendo tiestos del Grupo Sierra Rojo; pero en el caso de todos los monumentos no fue posible observar una clara asociación estratigráfica ni correspondencia exclusiva de los tipos con alguna de las capas registradas, lo que seguramente es resultado de la deposición secundaria de los monumentos. Sin embargo, debemos mencionar que el material más tardío encontrado en dichos contextos coincide en rangos aceptables con las fechas inscritas que aún se conservan en ellos (*cf.* capítulo 4), pues una buena parte corresponde al complejo Chintok (76 tiestos de 308 colectados en las cuatro operaciones de liberación de las estelas).

El número relativamente alto de incensarios modelados posclásicos depositados en las inmediaciones de la Estela 1 (71 tiestos), contrasta notablemente con los anteriores monumentos, donde no fue hallado ninguno; destacando ampliamente los del tipo Chen Mul Modelado (51 tiestos), pertenecientes a una época en la que el sitio seguramente ya estaba completamente abandonado, o con una ocupación muy reducida u ocasional. De hecho, los 71 tiestos posclásicos hallados en asociación a este monumento representan la práctica totalidad del material perteneciente a esta época hallados en Chactún (92.2%). La importancia que se le siguió dando a la Estela 1 no sólo queda manifiesta en la gran cantidad de estos restos de incensarios posclásicos localizados alrededor de ella, sino por haberse respetado también su ubicación o posición original. Este hecho quizá se halle asociado, también, a las características notables de la Estela 1, y quizá contribuyó a las relativamente buenas condiciones de preservación del monumento, el cual siguió siendo cuidado y ofrendado tras el abandono mayor de Chactún.

Grupo	Preclásico	C. Temprano	C. Tardío-Terminal	Posclásico	No determinado
Oeste	7 (1.05%)	24 (3.61%)	185 (27.86%)	74 (11.14%)	106 (15.96%)
Sureste	27 (4.06%)	27 (4.06%)	115 (17.32%)	2 (0.30%)	83 (12.50%)
Cha-6	0	0	11 (1.65%)	1 (0.15%)	0
Cha-11	0	0	2 (0.30%)	0	0
Total	34 (5.11%)	51 (7.67%)	313 (47.13%)	77 (11.59%)	189 (28.46%)

Tabla 3.3. Totales de la cerámica por conjunto y temporalidad.

En la tabla 3.3 resumimos las cantidades totales de tiestos en la presente muestra, por temporalidad y conjunto arquitectónico del que procedió el material, así como los totales de

aquellos materiales que no pudieron ser asociados con ninguna cronología. La figura 3.22 presenta las proporciones de cada rango temporal identificado en los grupos mayores.

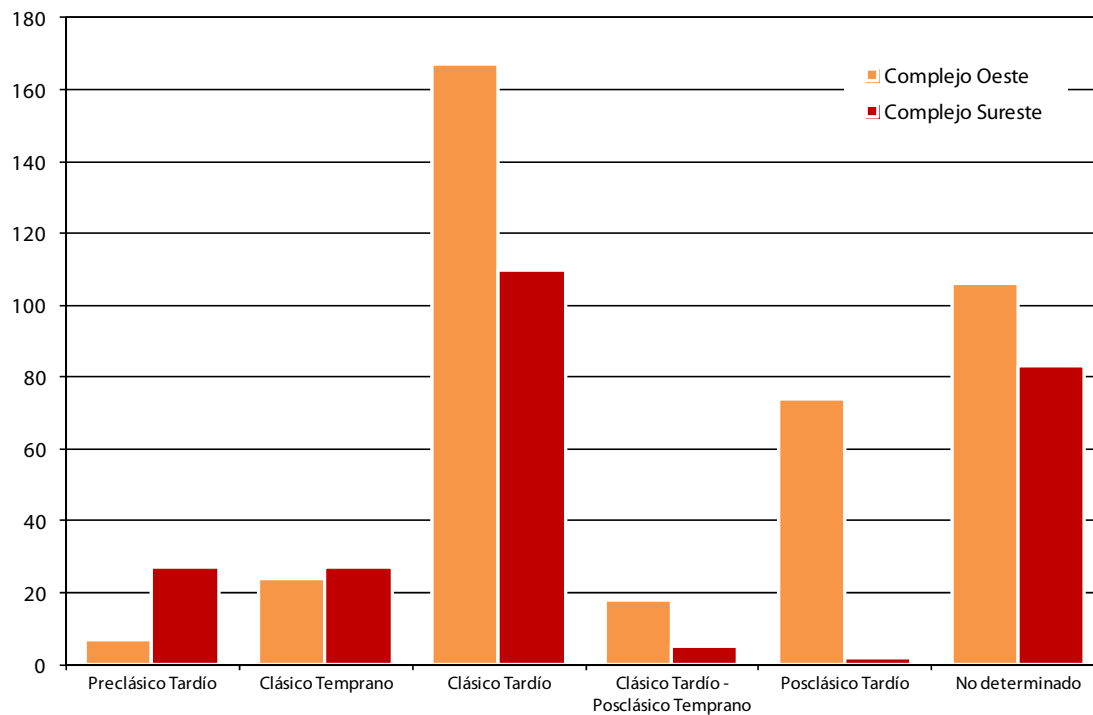


Figura 3.22. Frecuencias del material cerámico por época asignada.

En resumen, este escrito representa un acercamiento parcial y muy preliminar acerca de la cerámica de Chactún y sus posibles implicaciones cronológicas. Desde luego, partimos de la comparación con su vecino más cercano e investigado, Becán, para ofrecer tal esbozo. Sin embargo, además de las limitaciones de la presente muestra, debemos recalcar que dichas tendencias seguramente serán modificadas por estudios más completos del asentamiento en su conjunto y de su contexto local, como fue el caso de sitios recientemente investigados, como Río Bec (Taladoire *et al.* 2013: 354).

4 Documentación de los monumentos esculpidos

Octavio Q. Esparza Olguín

Como complemento de las actividades de prospección y mapeo, se llevaron a cabo labores dirigidas al estudio de los monumentos esculpidos localizados en el sitio. Durante los primeros recorridos en los diferentes complejos arquitectónicos que conforman el asentamiento pudimos percatarnos de la existencia de varios monumentos que todavía contenían restos de textos jeroglíficos e imágenes. Igualmente, se observó que la mayoría de ellos no se encontraban completamente expuestos en la superficie. Para poder realizar un registro completo y detallado de sus textos e imágenes, fue necesario liberar las piezas, removiendo el suelo superficial y el escombros. En cada operación se llevó a cabo un control de los estratos observados, al igual que un registro de la procedencia de los materiales arqueológicos recuperados. Cuando fue necesario manipular algún monumento para su estudio, éste volvió a colocarse en su posición original, tratando de mitigar cualquier tipo de alteración en la ubicación de los monolitos.

Una vez finalizada la temporada de campo se pudieron identificar un total de 20 estelas, de las cuales 9 todavía mostraban restos de grabado (Estelas 1, 2, 3, 12, 14, 15, 17, 18 y 19), así como 15 altares, encontrándose evidencia de grabado en dos de ellos (Altares 14 y 15). No obstante, el número de monumentos presentes en el sitio fue indudablemente mayor, ya que para diversos fragmentos, debido a su deterioro, no fue posible determinar a cuántos monumentos pertenecían; grupos de tales fragmentos se encuentran en la Plaza Noroeste del Conjunto A (cerca de las Estelas 6 y 8) y en la parte noreste de la plaza principal del Complejo B (v. Anexo: planos 1 y 2).

La información sobre los monumentos grabados presentada en este capítulo incluye tanto la documentación de su condición al momento del hallazgo como las descripciones iconográficas y epigráficas obtenidas de su registro. Este trabajo se hizo con base en la inspección *in situ* de cada uno de los monumentos, así como por medio de fotografías nocturnas con luz artificial rasante, las cuales permitieron observar con más detalle los restos de textos e imágenes contenidos en los monolitos y sirvieron como base para la elaboración de los dibujos de cada una de las piezas.

Estela 1

Este monolito se encuentra de pie cerca de la esquina sureste de la Estructura A-16, en el Complejo Oeste (Anexo: plano 1; figura 4.1), y ostenta unas dimensiones de 2.68 m de largo, 0.88 m de ancho y 0.70 m de grosor (en todos los casos presentados se trata de medidas máximas). Una peculiaridad que muestra el monumento es la presencia de glifos y otros diseños de estuco, todavía con restos de color rojo, que fueron modelados y colocados sobre la superficie de la piedra (figuras 4.2 a 4.6). Si bien se conocen ejemplos de estelas con restos de recubrimiento de estuco, lo que sugiere que las escenas o textos pudieron haber sido pintados sobre su superficie,⁴ el texto de la Estela 1 resulta

⁴ Los hallazgos de estelas lisas en algunos sitios del área maya como La Muerta (Suyuc *et. al.* 2005), Tikal o Naranjo (Stuart 2010a) han abierto la posibilidad del uso de estuco y pintura para su decoración por parte de los antiguos mayas. En este caso, sobresale la presencia de una estela lisa con restos de una cubierta de estuco reportada en el sitio de Iximché (García 1993).

excepcional al haber sobrevivido las inclemencias de la selva tropical, preservando parte de los glifos correspondientes a la Cuenta Larga y la Rueda Calendárica.

Figura 4.1. Mapa de ubicación de la Estela 1 dentro del Complejo Oeste. El área sombreada indica la extensión de terreno sujeto a la liberación del monumento (cf. figura 4.7).

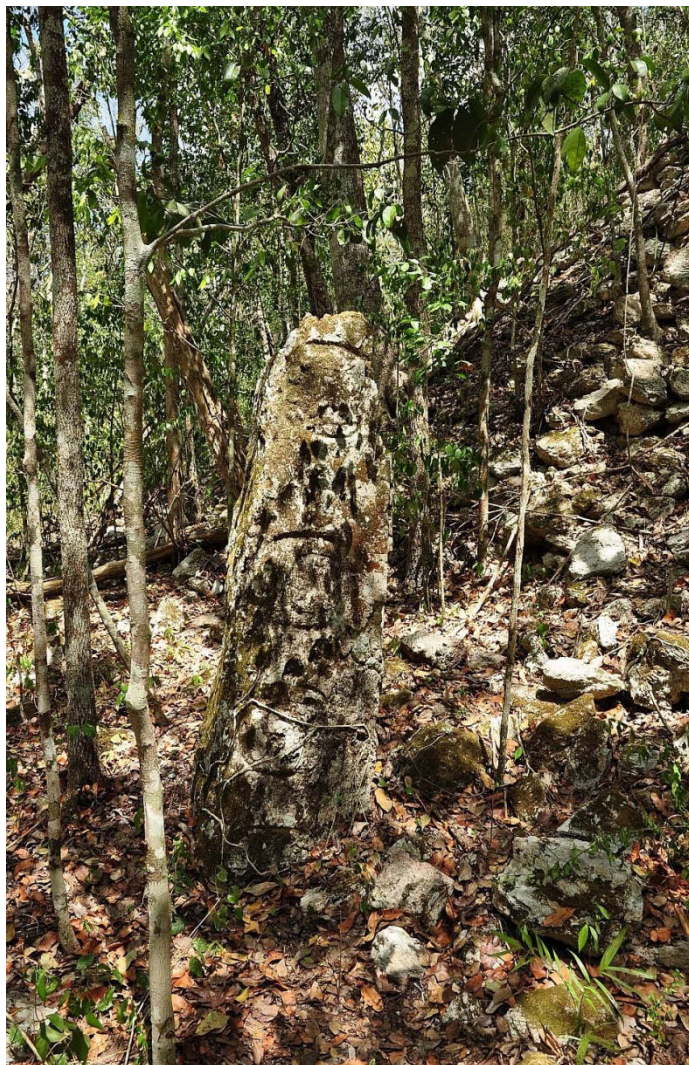
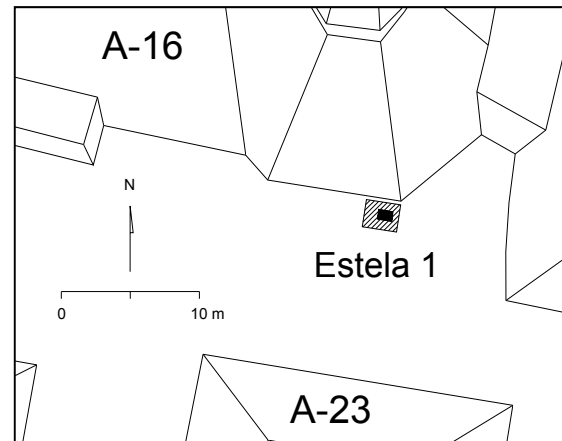


Figura 4.2. Estela 1, al ser encontrada, lado derecho; vista hacia el poniente.

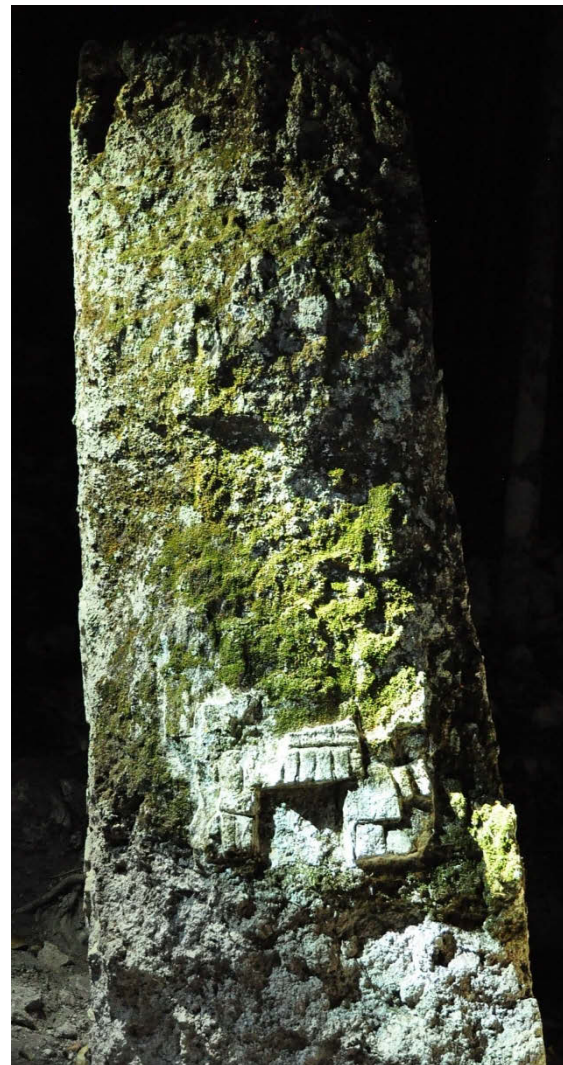


Figura 4.3. Estela 1, cara frontal; vista hacia el norte.



Figura 4.4. Estela 1, cara posterior.

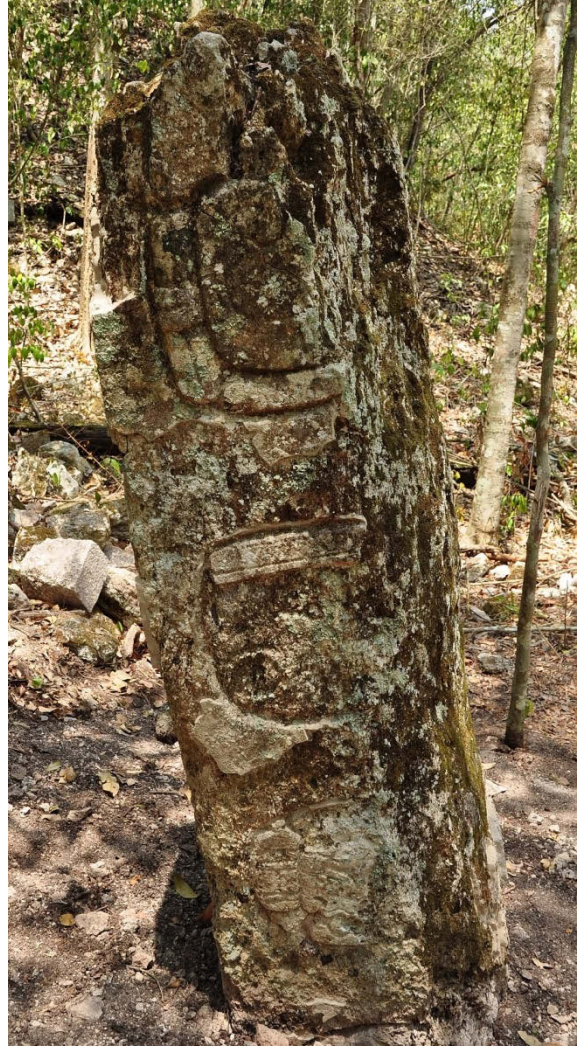


Figura 4.5. Estela 1, lado izquierdo.

El monumento está decorado en sus cuatro caras, sufriendo un mayor grado de deterioro la parte frontal donde, actualmente, sólo se pueden observar parte de los pies de un individuo (figuras 4.3 y 4.10: a). Las superficies laterales son las mejor conservadas y exhiben sendos textos glíficos compuestos por cuatro cartuchos circulares, que fueron grabados directamente sobre la piedra y cubiertos con una fina capa de estuco con restos de pigmento rojo (figuras 4.2 y 4.5).

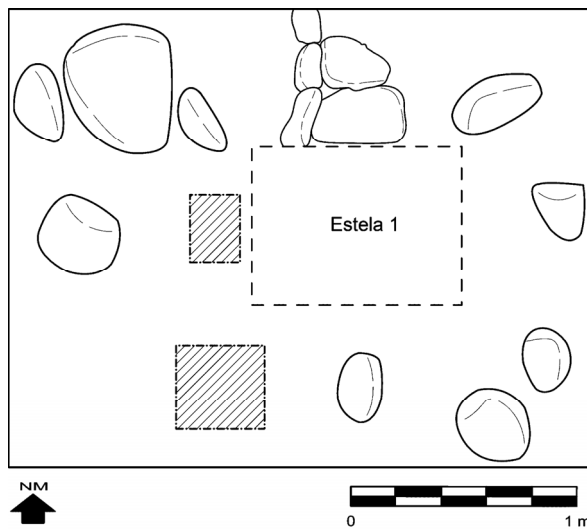
Debido a que al momento de su hallazgo una porción de la parte inferior del monumento estaba enterrada bajo una capa de tierra y escombros (impidiendo ver de forma completa los últimos cartuchos de las caras laterales), se decidió remover parte de esa capa hasta poder apreciar la totalidad del texto. Otro factor que propició el retiro del estrato superficial fue la búsqueda de fragmentos de estuco que pudieran haberse desprendido del monumento y que fueran útiles para tratar de reconstruir parte del texto o la imagen. En total se exploró un área de 2.50 por 2 m alrededor del monumento, llegando a una profundidad máxima de 30 cm; es importante señalar que únicamente se retiró la capa superficial de tierra, cuidando el no alterar o remover elementos arquitectónicos (figura 4.7). Como consecuencia de esta labor, se rescataron varias piezas de estuco que correspondían al texto en el dorso de la estela, muchos de ellos con representaciones de glifos reconocibles que podrían ser restituidos en su posición original, como los correspondientes a los

winales y a los *tunes* (figura 4.8). Otro hallazgo significativo fue la presencia de varios fragmentos de cerámica del periodo Posclásico, incluyendo restos de un incensario del tipo Chen Mul Modelado (figuras 4.7 y 4.9, capítulo 3: figuras 3.19 a 3.21), reminiscencias del culto que todavía se les rendía a los antiguos monolitos en épocas tardías.

Figura 4.6. Estela 1, detalle de la cara posterior, con cartuchos jeroglíficos de estuco modelado con restos de color rojo.



Figura 4.7. Área de liberación de la Estela 1. Las secciones sombreadas indican el lugar de procedencia de los fragmentos del incensario del tipo Chen Mul Modelado (levantamiento y dibujo: O. Esparza).



En cuanto a los aspectos iconográficos y epigráficos de la pieza (figuras 4.10 y 4.11), se puede mencionar que la cara frontal contaba con la representación de un personaje del que únicamente sobrevive la parte inferior, donde se observan sus pies calzados con sandalias. El texto inicia en la parte posterior donde se encuentran algunos números y glifos calendáricos asociados a la Cuenta Larga y la Rueda Calendárica. Con base en los elementos que aún se preservan, podemos suponer que en el extremo superior se encontraba el Glifo Introdutor de la Serie Inicial (GIS). Entre los glifos siguientes es posible reconocer los numerales 9 (correspondiente al periodo de los *bak'tunes*) y 0 (correspondiente a los periodos de los *tunes* y los *k'ines*). Igualmente se observan los

números 13 y 2, este último asociado al glifo del día *ajaw*. Estos datos resultan suficientes para poder reconstruir la fecha de Cuenta Larga como 9.16.0.0.0 que corresponde a la Rueda Calendárica 2 *ajaw* 13 *sek* (5 de mayo de 751 d.C.).⁵ Lamentablemente, el acontecimiento acaecido en esta fecha no pudo ser identificado en esta parte del texto, aunque tenemos una pista en los cartuchos jeroglíficos del costado derecho donde, después de repetirse la Rueda Calendárica 2 *ajaw* 13 *sek* (C1 y C2), se hace mención a la erección de la misma Estela 1 mediante la expresión *tz'ahpaj chaktuun?*, 'la piedra roja fue clavada' o 'la piedra grande fue clavada', que está contenida en los cartuchos C3 (**tz'a-pa-ja**) y C4 (**CHAK?-TUN**).

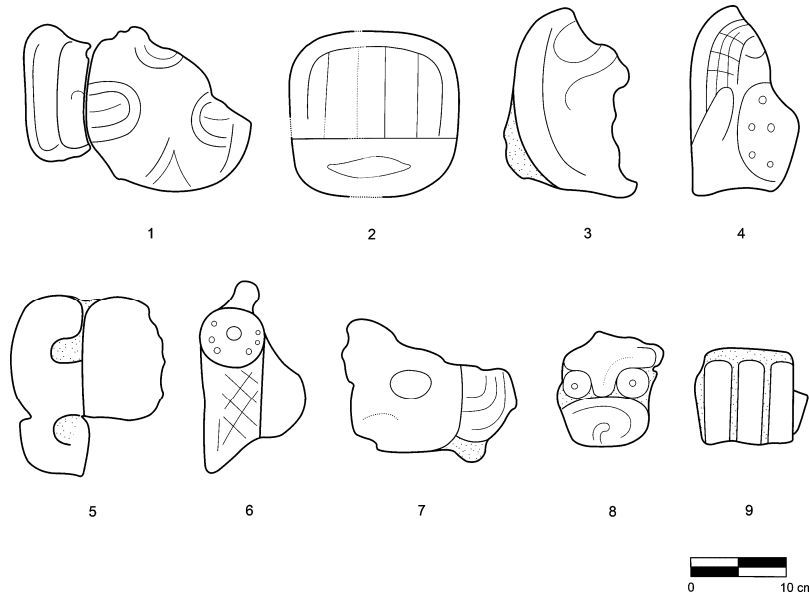


Figura 4.8. Fragmentos de estuco rescatados durante la liberación de la Estela 1 (dibujo: O. Esparza). Muchas de las piezas corresponden a partes de cartuchos jeroglíficos que originalmente se encontraban colocados sobre la cara posterior del monumento: **MIH-WINAL**, *mih winal*, 'cero veintenas' [1]; **HAB'**, *ha[a]b'*, 'año' [2]; **KAB'**, *kab'*, 'tierra' [3]; **T'AB'?**, *t'ab'*, 'ascender' [4]; **NAH-?**, *na[a]h*, 'casa, primero' [5]; **ch'a**, *ch'a...*, '...' [6]; **?-ni**, *...n*, '...' [7]; **?**, *...*, '...' [8] (la estructura de este glifo es similar a la que se observa en la expresión "estrella-guerra" asociada con conflictos bélicos); **XVI**, *waklaju'n*, dieciséis [9] (este fragmento corresponde al coeficiente de los *k'atunes*, por lo que puede reconstruirse con certeza como la representación de un número 16).



Figura 4.9. Fragmentos cerámicos del Posclásico, encontrados junto a la Estela 1.

⁵ Cabe señalar que en esta parte del texto se hace referencia primero al coeficiente de la veintena, apartándose del registro más habitual donde se coloca primero el día del *tzolk'in* y después el *haab'*.

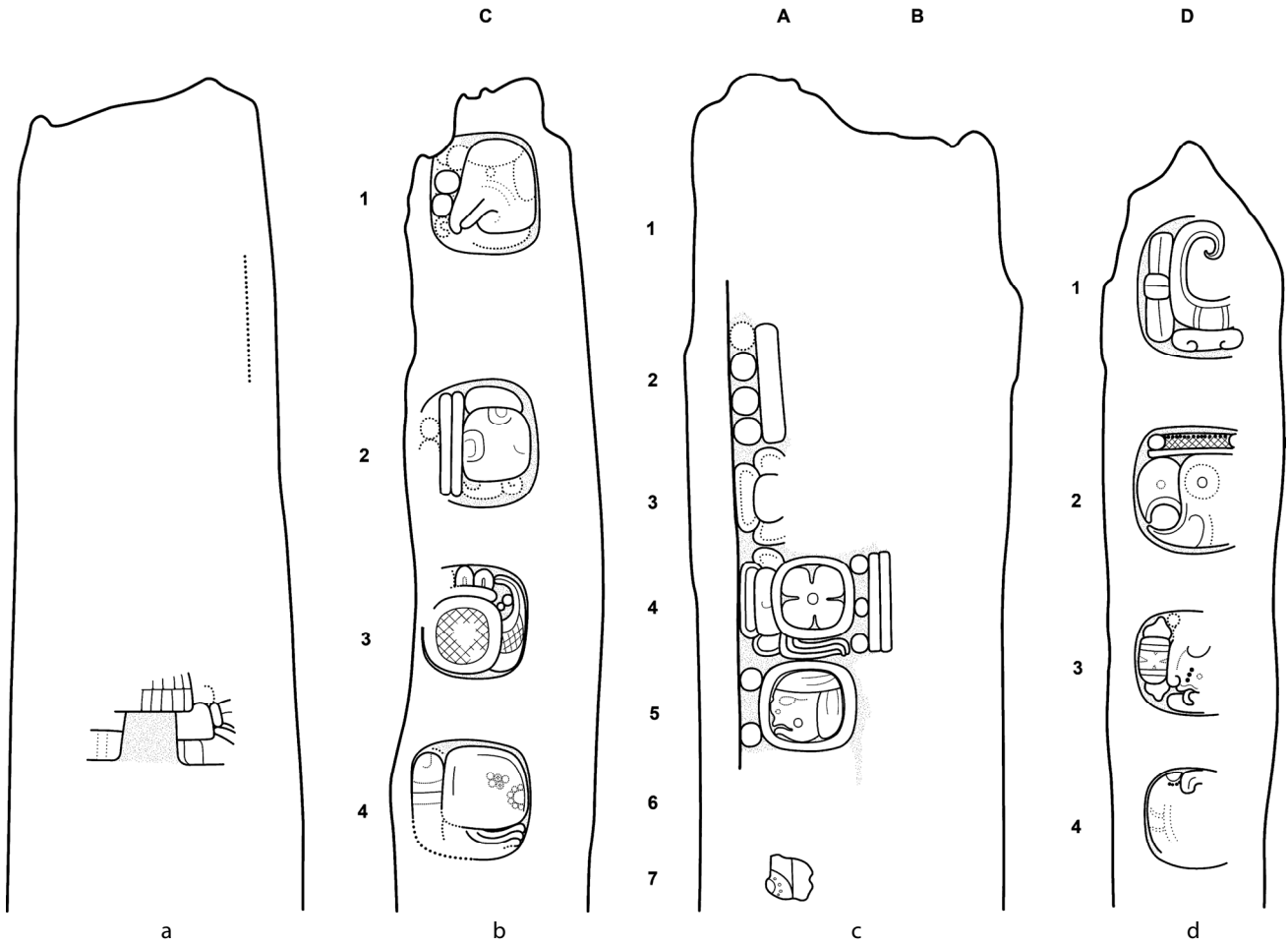


Figura 4.10. Estela 1: frente (a), lado derecho (b), dorso (c) y lado izquierdo (d) (dibujo: O. Esparza).

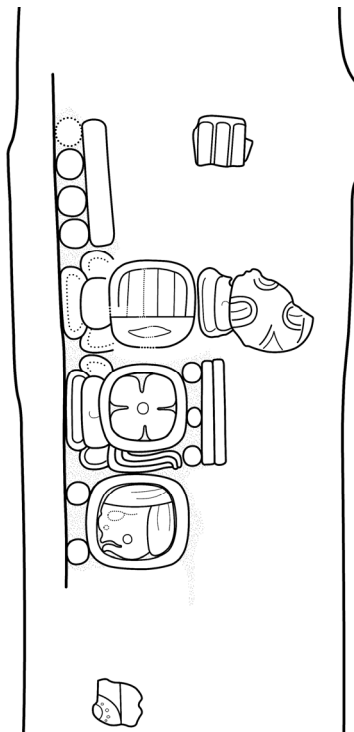


Figura 4.11. Estela 1, dorso, con parte del numeral de los *k'atunes* y los glifos de *tunes* y *winales* restituidos (dibujo: O. Esparza).

Cabe advertir que, durante la inspección del monumento, se pudo constatar el avanzado estado de deterioro del cartucho jeroglífico ubicado en C4 (figura 4.10: b), complicando la plena identificación del primer glifo del cartucho. Una posibilidad es que se trate del logograma **CHAK**, ‘rojo, grande’, dando como resultado la expresión *chaktuun*, ‘piedra roja’ o ‘piedra grande’, aunque también se contempla como viable la representación de una variante del ergativo de tercera persona en singular /u/, conformando entonces el término *utuun*, ‘su piedra’. Al margen de la discusión sobre la aparición de uno u otro término, se decidió nombrar al sitio como Chactún⁶, debido a que esta expresión denota muy bien las características de la Estela 1 (la más representativa del sitio por sus peculiaridades y su buen estado de conservación) como una “piedra grande” o “piedra roja”.

El texto continúa en el cartucho D1 del costado izquierdo del monumento (figura 4.10: d), donde se aprecia el término *chehen*, ‘así dice’,⁷ seguido del antropónimo Aj K’ihnich B’ahlam (**AJ?-a?** (D2) **K’INICH-B’ALAM**⁸ (D3)). Debido al deterioro del cartucho D2 resulta difícil establecer si el segundo glifo realmente representa el fonema /a/; otra posibilidad es que se trate del logograma **MO’**, pudiéndose reconstruir el nombre como **AJ?-MO’ K’INICH-B’ALAM**, Aj Mo’ K’i[h]nich B’a[h]lam. En el caso del cartucho D4 no es posible determinar si también forma parte de la cláusula nominal o si, por otra parte, se trata de algún tipo de título asociado con el personaje.

En resumen, el análisis epigráfico del texto de la Estela 1 permite concluir que fue erigida en la fecha 9.16.0.0.0 2 *ajaw* 13 *sek*, con motivo de la celebración del término del decimosexto *k’atun*, evento relacionado con un personaje de nombre Aj K’ihnich B’ahlam, seguramente un gobernante local.

Agreguemos que los fragmentos de estuco recuperados durante los trabajos de liberación y documentación de la Estela 1 se encuentran en resguardo de la Sección de Restauración del Centro INAH Campeche, adonde fueron trasladados al terminar la temporada de campo. Con el objetivo de frenar el deterioro de las capas de estuco todavía conservadas en la Estela 1, el equipo de restauración del Centro INAH Campeche realizó, durante nuestros trabajos de campo, las intervenciones emergentes de consolidación y, posteriormente, los análisis de la composición del estuco basados en los fragmentos guardados en el Centro INAH Campeche. Los resultados fueron presentados en el informe de Jiménez *et al.* (2014), que incluye también una evaluación de los deterioros y las recomendaciones de conservación de los estucos que todavía se conservan en el monumento. Según los análisis, los diseños de estuco, modelado a base de cal y *sascab*, tienen un acabado de enlucido sobre el que se colocó la capa pictórica al fresco. Además del rojo, también se encontraron restos de otros colores, incluyendo el azul maya (Jiménez *et al.* 2014; Espinosa-Morales *et al.* 2014).

Para proteger la Estela 1, hasta que las futuras investigaciones permitan una consolidación más completa y la restitución de los fragmentos cuya ubicación original en el monumento es

⁶ El nombre del sitio lo escribimos de acuerdo con la ortografía tradicional establecida en tiempos coloniales, ya que ésta, además de ser consistente con la grafía común de los topónimos mayas que se conservan en el norte de la península de Yucatán, se ha estado empleando también para escribir los nombres de otros sitios arqueológicos en las tierras bajas (*cf.* Ruppert y Denison 1943; Šprajc 2008a).

⁷ En opinión de Erik Boot (2009) esta palabra puede ser una variante fonológica del vocablo *che’en*, ‘así dice’.

⁸ En un principio se pensó que este glifo podría corresponder al logograma **HIX**; sin embargo, durante el registro del texto se constató la carencia, como elemento diagnóstico, del grupo de tres puntos dentro del ojo del felino.

determinable, construimos una palapa con el techo de lámina de cartón. A espaldas del monolito colocamos varios troncos en posición horizontal, para protegerlo de las piedras que puedan caer del edificio adyacente (figura 4.12).



Figura 4.12.
Techo
construido
para proteger
la Estela 1.

Estela 2

Esta estela se encontró caída y rota en dos fragmentos principales en la Plaza Sureste del Complejo A, al pie de la Estructura A-23 y perpendicularmente a ella (Anexo: plano 1; figura 4.13). Únicamente el bloque inferior, cuyas dimensiones máximas son de 0.93 m de largo por 0.80 m de ancho y 0.43 m de grosor, contenía restos de una imagen y un pequeño texto jeroglífico en su costado izquierdo. El fragmento superior tiene una longitud de 1.45 m, por lo que el monumento completo alcanzaba unos 2.38 m de altura. El fragmento inferior estaba cubierto por las raíces de un árbol que tapaban parte del cuerpo de la estela, lo que acrecentó su nivel de deterioro, impidiendo establecer si se encontraban grabadas las cuatro caras del monolito (figura 4.13). Para documentar las superficies esculpidas removimos el árbol y el escombro que tapaba los fragmentos parcialmente.

La imagen plasmada en el bloque inferior representa la cabeza de un ser sobrenatural de nariz alargada y con una profusa decoración en la parte trasera de la testa, mostrando cierta

similitud con los seres esqueléticos representados en la sección inferior de las Estelas 2 y 3 de Naranjo (Graham y von Euw 1975). Dicha imagen se encuentra por debajo de una gruesa franja que, muy probablemente, servía para delimitar otra figura en la parte superior. En cuanto al texto jeroglífico, únicamente se puede leer con certeza el cartucho ubicado en Bp3 que muestra los silabogramas **ka-b'a**, *kab'*, 'tierra', así como lo que parece ser un logograma **YOP** o silabograma **yo** en el cartucho Bp4 (figura 4.14).



Figura 4.13. Estela 2, en la posición en que fue encontrada; vista hacia el sur.

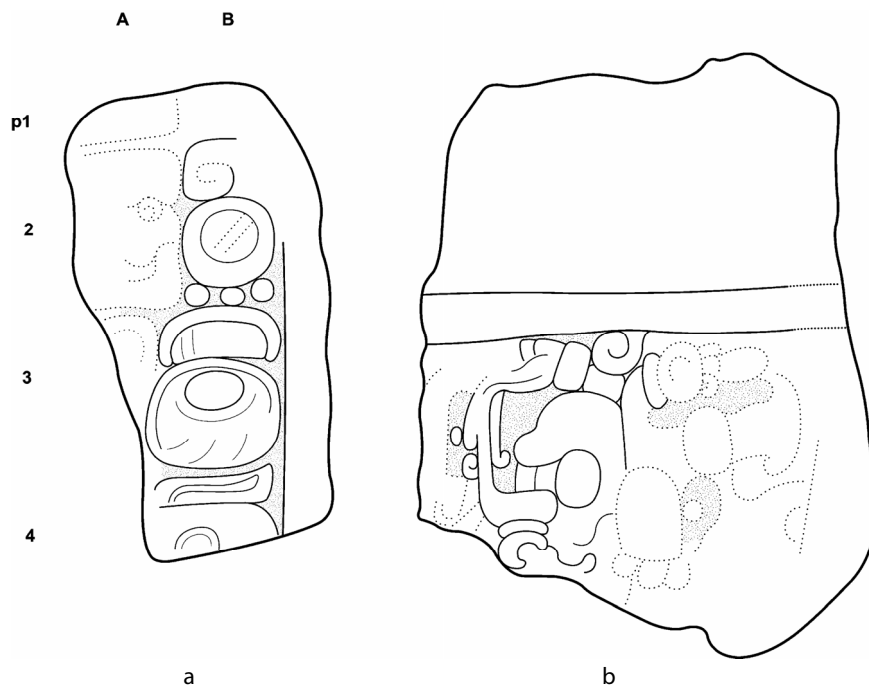


Figura 4.14. Estela 2, fragmento inferior, lado izquierdo (a) y dorso (b) (dibujo: O. Esparza).

Concluido el registro de la pieza, se colocó con el grabado boca abajo y se cubrió con una capa de tierra para evitar un deterioro mayor de los elementos epigráficos e iconográficos que todavía contiene.

Estela 3

Los cuatro fragmentos del monumento se localizan en la parte oriente de la Plaza Sureste del Complejo A (Anexo: plano 1; figuras 4.15, 4.16 y 4.17).

La parte inferior, de 1.12 m de largo por 0.97 m de ancho y 0.44 m de grosor, se encontró rota en tres fragmentos, exhibiendo restos de escritura en los costados (figuras 4.15 y 4.16). El texto se encuentra contenido en cartuchos circulares, dos en el lado derecho y tres en el izquierdo, que presentan un avanzado estado de deterioro. Así, sólo es posible conjeturar la presencia de numerales en el cartucho Ap2 (probablemente los números 13 y 2), conformando, tal vez, un número distancia.



Figura 4.15. Estela 3, fragmentos de la parte inferior, con su espiga en la parte inferior de la fotografía.

A unos 15 m al suroeste de los tres fragmentos de la parte inferior se encontró un monumento erguido, sin huellas de grabado, que en un principio no parecía pertenecer a la misma estela. Sin embargo, en vista de su baja altura y al observar que, por su posición en la plaza, no parecía que una parte considerable del monumento estuviera tapada por el escombro, decidimos remover la capa de humus alrededor de su base. Al hacerlo, alcanzamos su borde inferior, evidentemente resultante de una fractura, en la profundidad de escasos 10 a 15 cm, sin llegar al piso de la plaza. Al examinar la forma del bloque y comparando sus dimensiones (0.9 m de altura, 0.9 m de ancho y 0.45 m de grosor) con las de la parte inferior de la Estela 3, pudimos concluir que se trataba del fragmento superior del mismo monumento. Enfrente y a los lados se localizaron dos

piedras –quizá fragmentos de la misma estela– que parecen haber sido colocadas allí a propósito, formando una especie de cajón (figura 4.17). Al remover la capa superficial en el espacio entre las dos piedras frente al monumento, encontramos algunos restos de carbón.

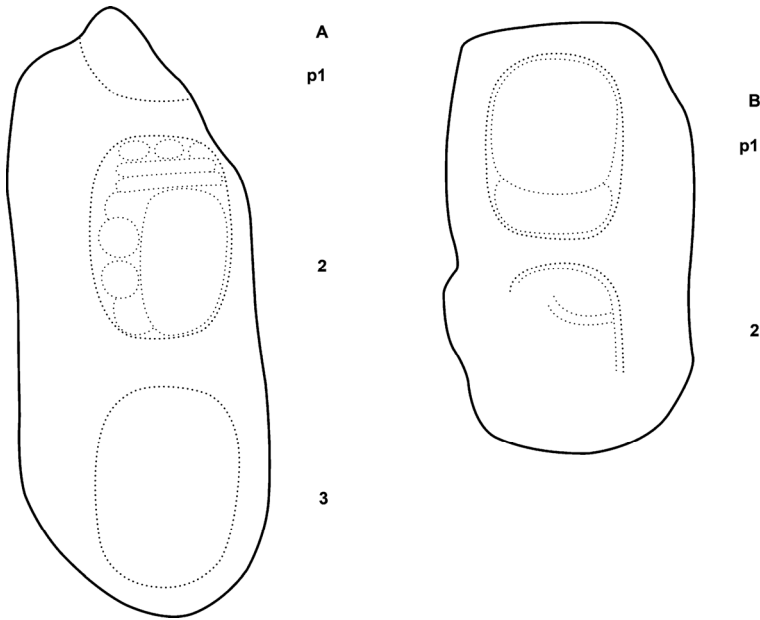


Figura 4.16. Estela 3, caras laterales de la parte inferior (dibujo: O. Esparza).

Figura 4.17. Estela 3, fragmento superior con las dos piedras acompañantes.



Aunque desconocemos la posición original de la Estela 3 y tampoco podemos saber si fue quebrada a propósito, resulta obvio que, en algún momento indeterminado, su fragmento superior fue movido de su posición primaria e intencionalmente erigido en el lugar actual, probablemente junto con las dos piedras acompañantes. Se trata, evidentemente, de vestigios de actividades posteriores a la época de auge del asentamiento.

Estela 4

Caída en la ladera al sur del núcleo monumental del Complejo Oeste (Anexo: plano 1), esta estela originalmente parece haber estado asociada al Altar 3, localizado a 10 m al noreste. Su altura, ancho y grosor son de 2.2 m, 0.8 m y 0.6 m, respectivamente. En sus caras laterales se observan huellas de cartuchos glíficos, lamentablemente muy erosionados para poder establecer una propuesta de lectura (figura 4.18).



Figura 4.18.
Estela 4.

Estela 5

La estela, caída, muy deteriorada y semienterrada, de aproximadamente 1.6 m de largo y 0.8 m de ancho, se localiza en medio de la Plaza Noroeste del Complejo Oeste (Anexo: plano 1).

Estela 6

El monumento caído, liso o erosionado y fragmentado, de 1.7 m de largo, 0.85 m de ancho y 0.45 m de grosor, se ubica en la parte noroeste de la Plaza Noroeste del Complejo Oeste (Anexo: plano 1).

A unos 3 m al sureste yacen fragmentos de otra (o tal vez la misma) estela, en la que tampoco se observan grabados.

Estela 7

Se trata de una estela lisa, parada y semienterrada en el derrumbe al pie de la Estructura A-10, en la orilla oriente de la Plaza Noroeste del Complejo Oeste. El ancho y el grosor de la parte expuesta son de 0.6 m y 0.23 m, respectivamente (figura 4.19; Anexo: plano 1).



Figura 4.19. Estela 7, vista hacia el este.



Figura 4.20. Estela 8, vista hacia el sureste.

Estela 8

Lisa y en pie a unos 5 m de la Estela 7, en la parte oriente de la Plaza Noroeste del Complejo Oeste, esta estela tiene 1.4 m de altura, 0.57 m de ancho y 0.38 m de grosor (figura 4.20, Anexo: plano 1).

Inmediatamente hacia el norte se encuentran fragmentos de un número indefinido de estelas, quizá movidos a este lugar por saqueadores, como lo sugiere lo que parece ser una zanja en las inmediaciones. En dos fragmentos observamos los restos de ornamentos o glifos modelados en estuco pegado a la piedra.

Estelas 9 y 10

Las dos estelas, caídas, fragmentadas y aproximadamente paralelas una a la otra, se localizan en medio de la Plaza Noreste del Complejo Oeste, asociadas a los Altares 10 y 11 (Anexo: plano 1). La Estela 9 mide aproximadamente 2.15 m de largo, 0.83 m de ancho y 0.48 m de grosor; las dimensiones correspondientes de la Estela 10 son de aproximadamente 2.84 m, 0.85 m y 0.5 m.

Estela 11

Lisa, todavía en pie, aunque inclinada y semienterrada, esta estela está situada en una plaza al sur de un montículo piramidal de unos 10 m de altura, en el área entre los Complejos Oeste y Noreste (N18°43'29.8", W89°31'31.4"). Su ancho y grosor son de 1.2 m y 0.45 m, respectivamente.

Estela 12

Localizada en la esquina suroeste de la Estructura A-59a, es decir, en la esquina noroeste de la cancha del juego de pelota del Complejo Oeste (Anexo: plano 1; figura 4.21), esta estela presenta unas dimensiones de 1.42 m de largo por 0.79 m de ancho y 0.46 m de grosor. Al momento de su hallazgo, más de la mitad del monumento se encontraba tapada por el escombros (figura 4.22), por lo que fue necesario efectuar trabajos de liberación que permitieran un registro adecuado de su grabado y los restos materiales asociados. Se trazó un área de excavación de 2.30 m por 1.70 m alrededor de la estela, abarcando una superficie mayor en el costado poniente al tener la presencia de la Estructura A-59a (edificio norte del juego de pelota) en el extremo este. Las características estratigráficas registradas fueron las siguientes (figura 4.23):

Capa I: Suelo superficial (estrato húmico) de color café oscuro con presencia de raicillas y piedras de 5 a 20 cm. Tiene un espesor promedio de 10 cm.

Capa II: Corresponde al derrumbe de la esquina suroeste de la Estructura A-59-a y contiene tierra de color café claro y piedras de 20 a 50 cm, algunas de ellas careadas y alineadas. En este caso, sobresalen dos bloques de piedra que fueron localizados en el sector norte del pozo, por detrás de la estela y colocados en sentido norte-sur siguiendo la superficie poniente del monumento. Este alineamiento parece corresponder a la esquina noroeste de la cancha del juego de pelota, donde el fragmento de estela pudo ser colocado para marcar el límite de la cancha en este sector. La Capa II presenta un espesor promedio de 40 cm.

Capa III: Corresponde al Piso 1 y al firme de preparación del mismo conformado por tierra de color gris claro y piedras pequeñas de 3 a 10 cm. El piso fue encontrado en muy mal estado de

conservación, apreciándose de mejor manera en los perfiles este y sur. Cuenta con un espesor promedio de 10 cm.

Capa IV: Relleno constituido por piedras de 5 a 20 cm dentro de una matriz de tierra de color gris claro. Su espesor promedio es de 15 cm. A comparación de la Capa III, en este estrato, sobre el que fue colocado el firme del Piso 1, se localizaron piedras de mayor tamaño.

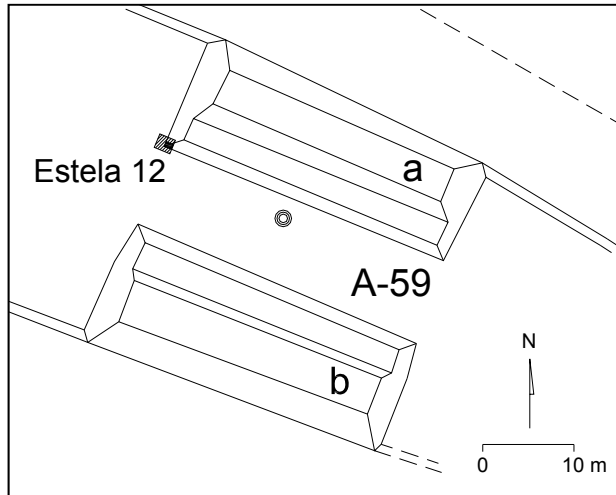


Figura 4.21. Mapa de ubicación de la Estela 12 dentro del Complejo Oeste. El área sombreada indica la extensión de terreno sujeta a la liberación del monumento.

Figura 4.22. Estela 12, al momento de su hallazgo.



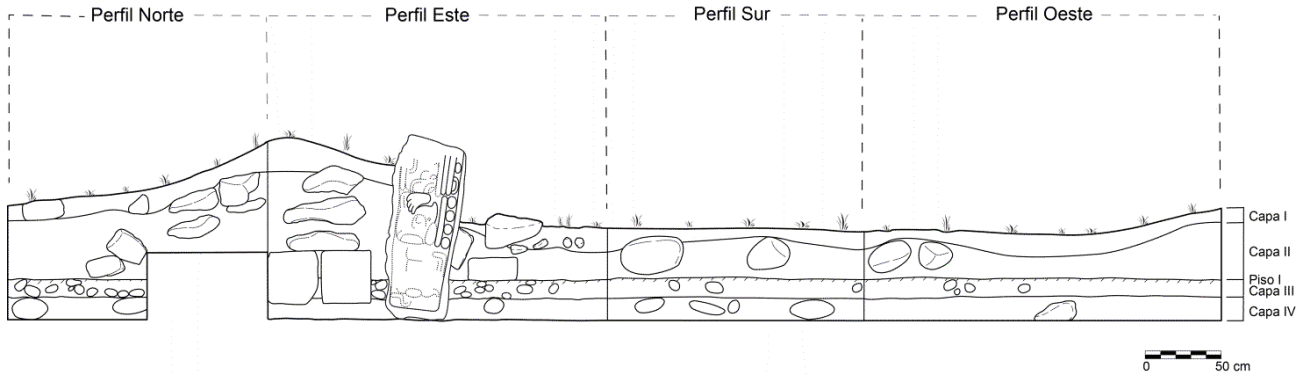


Figura 4.23. Perfiles estratigráficos de la excavación asociada a la Estela 12 (dibujo: O. Esparza).



Figura 4.24. Estela 12, fragmento superior, cara frontal.

Una vez que se observó el límite inferior del monumento se dio por concluida la excavación, llevando a cabo como tarea final el relleno del área excavada con el material previamente extraído.

El registro iconográfico y epigráfico de la pieza reveló que el fragmento localizado corresponde a la parte superior de la estela, que fue colocado al revés, es decir, con su extremo superior hacia abajo (figura 4.24). El grabado en la cara frontal (figura 4.25: b) contiene la representación del rostro de un personaje que porta sobre su cabeza un suntuoso tocado de

plumas con la imagen de tres seres monstruosos. Frente al tocado se ubica una gran cabeza de serpiente con las fauces abiertas, similar a las que se encuentran plasmadas en los dinteles 15 y 25 de Yaxchilán y que pueden corresponder a la llamada “serpiente de visión”, usada como un símbolo de las visiones alucinatorias dentro de los rituales de derramamiento de sangre (Schele y Miller 1986), aunque Stuart (2008) está en desacuerdo con este término, argumentando que se trata más bien de una entidad relacionada con los conductos para el conjuro y nacimiento de las deidades y espíritus ancestrales.

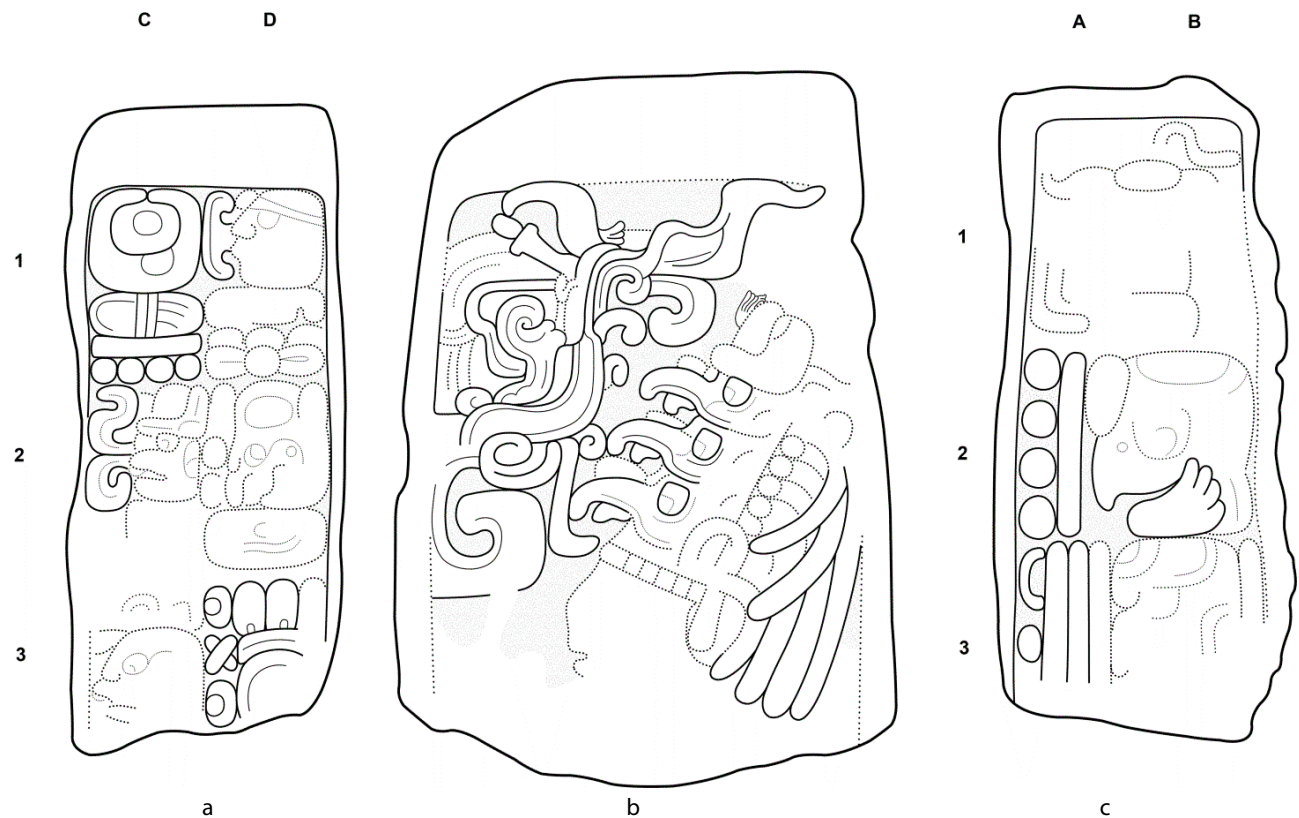


Figura 4.25. Estela 12, lado izquierdo (a), frente (b) y lado derecho (c) (dibujo: O. Esparza).

El texto comienza en el costado derecho de la estela (figura 4.25: c) con una fecha de Cuenta Larga, empezando con el GIS1 (A1-B1) y siguiendo con el periodo de los *bak'tunes* en el cartucho A2-B2 (con un numeral 9) y los *k'atunes* en el cartucho A3-B3 (con un numeral 16). Al no contar con más fragmentos de la estela, resulta imposible saber los coeficientes del resto de los periodos calendáricos. Sin embargo, bien podría tratarse del registro de un final de periodo, en este caso del decimosexto *k'atun* acaecido en 9.16.0.0.0, 2 *ajaw* 13 *sek* (5 de mayo de 751 d. C.).⁹ El texto prosigue en el costado izquierdo (figura 4.25: a), donde en la posición C1 se ubica el Glifo A de la Serie Suplementaria (con un coeficiente de 29 días) y después una serie de glifos erosionados aunque con un patrón interesante. Entre los elementos reconocibles se encuentra la efigie del dios K'awiil (C2), seguido de un logograma **CH'OK**, 'joven, niño', acompañado de un numeral (tal vez 1) y una

⁹ Un dato que ayudaría a confirmar esta hipótesis es el patrón de la veintena que aparece como parte del GIS1 (que debería ser el patrón de la veintena *sek*). Lamentablemente, esta parte de la inscripción se encuentra deteriorada, dificultando la identificación del patrón.

cabeza de rasgos antropomorfos en C3. Este conjunto de glifos se encuentra antecedido por lo que parece la representación del punto cardinal Norte en D1 (*naah*). Todo este conjunto de glifos sugiere el registro de un ciclo de 819 días,¹⁰ el cual “fue una innovación calendárica de la dinastía de Palenque y, específicamente, del reinado de K'inich Kan B'ahlam (684-702). Con la aparente excepción de un texto del Templo de las Inscripciones, los primeros registros de este cómputo fueron escritos en los tableros del Grupo de las Cruces, conjunto arquitectónico que dicho gobernante dedicó en el año de 692. En el curso de los siglos VIII y IX, el ciclo de 819 días fue paulatinamente adoptado por otras ciudades mayas: Pomoná (*circa* 751), Yaxchilán (*circa* 752), Copán (*circa* 773), Quiriguá (*circa* 806) y el sitio 'Sak Tz'i' (*circa* 864)” (Bernal Romero 2011: 570).

Asumiendo que la fecha de Cuenta Larga registrada en la Estela 12 fuera 9.16.0.0.0, habría que esperar la aparición del punto cardinal Norte (tal y como sucede dentro del texto), ya que la estación anterior del ciclo de 819 días comenzó en 9.15.19.14.14 1 *ix* 7 *wo*, cuando K'awiil se colocó en esa dirección (Bernal Romero 2009).¹¹ El registro de dicho ciclo en una inscripción encontrada entre las zonas Rio Bec y Chenes resulta excepcional al hallarse fuera del marco geográfico donde regularmente aparece, principalmente en sitios de las Tierras Bajas Noroccidentales y la zona del río Motagua.

Por otra parte, el último cartucho jeroglífico visible (D3) parece contener una expresión verbal **u-tz'a-pa?**, *utz'a[h]paj?*, ‘fue clavada’,¹² que corresponde a la acción de hincar en el suelo un monumento de piedra, en este caso la misma Estela 12.

Después del proceso de liberación del monumento y de su registro, resulta evidente que la estela fue seccionada y el fragmento superior recolocado, tiempo después de su hechura. El fenómeno de recolocación de monolitos no resulta inusual, al contar con documentación de su existencia en otros sitios del área maya como Calakmul, Cobá, El Resbalón, La Milpa, Moral-Reforma, Naranjo y Tikal, por nombrar algunos. Uno de los primeros estudios sobre la reubicación de monumentos se dio en el sitio de Cobá, donde diversos investigadores notaron en el Grupo Macanxoc la asociación de algunas estelas tempranas con estructuras tardías, formulando la idea de que habrían sido removidas de su lugar original para ser transportadas a ese grupo por los mismos pobladores prehispánicos del sitio en épocas posteriores (Morley 1926; Pollock 1929; Thompson *et. al.* 1932). Prácticas similares se encuentran registradas en La Milpa (Hammond y Bobo

¹⁰ “Cabe a John Eric Thompson [...] el mérito de haber descubierto la existencia y mecánica aritmética de ese ciclo. Él notó que algunos textos de Palenque, Yaxchilán y Quiriguá mostraban un número distancia que, partiendo de una fecha de serie inicial, conducían a una fecha anterior, expresada bajo la forma de una Rueda Calendárica. Conociendo la ubicación precisa de esas ruedas calendáricas dentro del sistema de cuenta larga detectó que entre ellas existían intervalos que se constituían como múltiplos de 819 días [...] Thompson planteó la posibilidad de que la cifra 819 fuese resultado de la multiplicación de tres números sagrados: 9 x 7 x 13 (= 819). El 9, porque fue el número de niveles que de acuerdo con los antiguos mayas tenía el mundo subterráneo; el 7, debido a que posiblemente eran los estratos asignados al nivel terrestre, y el 13, porque era el número de capas de las alturas celestes [...] Visto en términos generales, el registro típico del ciclo de 819 días está fechado mediante una Rueda Calendárica y la acción siempre consiste en la colocación (*wa'*) del dios K'awiil en un punto cardinal” (Bernal Romero 2011: 570).

¹¹ Aunque muchos de los elementos contenidos en el texto de la Estela 12 se apegan a la estructura del ciclo de 819 días, es importante señalar que otros se encuentran ausentes, como es el caso de la fecha de Rueda Calendárica que marca la última estación del ciclo y el número distancia que la conecta con la fecha de la Serie Inicial.

¹² No es posible asegurar con certeza que el verbo se encuentre en voz pasiva, aunque bien podría estar registrada una construcción similar a la contenida en el cartucho C3 de la Estela 1 (**tz'a-pa-ja**).

1994) y Tikal (Satterthwaite 1958), donde también fueron documentados procesos de re-erección que incluían partes de estelas. En el caso específico de monumentos fragmentados asociados a las estructuras de juego de pelota tenemos el ejemplo de la Estela 66 de Calakmul,¹³ cuyos fragmentos fueron depositados en las esquinas de la cancha (Ruppert y Denison 1943: 21, 115; Martin 1998), o el Altar 1 de Moral-Reforma: esta “escultura con forma de barra ceremonial bicéfala recuperada al excavar la cancha de juego de pelota estaba dividida en dos fragmentos, cada uno de los cuales se colocó, a manera de entierro ritual, sobre las banquetas” (Juárez Cossío 2003: 43).¹⁴

Estela 13

Se trata de un fragmento, en posición horizontal y muy deteriorado, localizado a unos 70 m al norte de la Estructura A-59 (juego de pelota) del Complejo Oeste (Anexo: plano 1), de aproximadamente 1.05 m de largo, 0.65 m de ancho y 0.5 m de grosor y con huellas de cartuchos glíficos en uno de sus costados.

Estela 14

El monumento se encontró semienterrado al poniente de la Estructura B-28, en el Complejo Sureste (figura 4.26; Anexo: plano 2). Como en el caso de otros monolitos se decidió liberar la pieza para realizar un registro completo de la misma. En un principio se pensó, teniendo en cuenta las características de los monumentos previamente liberados, que se trataba de un fragmento de estela clavado a poca profundidad en el derrumbe. Durante el proceso de excavación nos percatamos de que el monolito estaba completo y, además, asociado a ciertos elementos arquitectónicos. Al encontrar esta situación, resultó indispensable documentar el contexto y la estratigrafía con todo detalle, por lo que continuamos con la excavación hasta el punto que nos permitió lograr este objetivo, pero la suspendimos antes de llegar a la base del monumento. La intervención cubrió un área total de 1.70 m por 1.60 m, abarcando los costados y la parte frontal de la estela (figura 4.27). Las características estratigráficas registradas fueron las siguientes (figura 4.28):

Capa I: Suelo superficial de color café oscuro con presencia de raíces y piedras de 10 a 29 cm; tiene un espesor promedio de 18 cm.

Capa II: Corresponde al relleno de la plataforma ubicada al poniente de la Estructura B-28, compuesto por tierra de color café claro y piedras de 10 a 40 cm. Durante la excavación de este estrato se identificó un muro adosado a la cara poniente del monumento, cubriendo así parte de su superficie grabada (figuras 4.29 y 4.30). Dicho muro corre en dirección este-oeste (con un azimut magnético de 290°) y se encuentra conformado por pequeños bloques de piedra careada y

¹³ Simon Martin (1998) comenta que se trata de un monumento inacabado que podría fecharse para el final del decimoquinto *k'atun* (9.15.0.0.0). Por otra parte, agradezco a Rogelio Valencia Rivera por llamar mi atención hacia este monumento.

¹⁴ En el caso de sitios ubicados dentro de la región Río Bec, la cancha del juego de pelota de Becán (Estructura XI) exhibe en sus esquinas grandes bloques de piedra, aunque ninguno de ellos parece corresponder a secciones de algún monumento grabado (Ruppert y Denison 1943: 61).

finamente tallada¹⁵ cuyas dimensiones promedio son de 13 cm de largo por 25 cm de ancho y 18 cm de grosor. Otro elemento detectado fue un conjunto de piedras grandes, de 20 a 70 cm, estibadas justo en el límite del perfil sur de la excavación; este conjunto parece corresponder a una parte del relleno de la plataforma donde se encuentra la Estela 14. La Capa II tiene un espesor promedio de 1.20 m.



Figura 4.26.
Estela 14, al momento de su hallazgo.

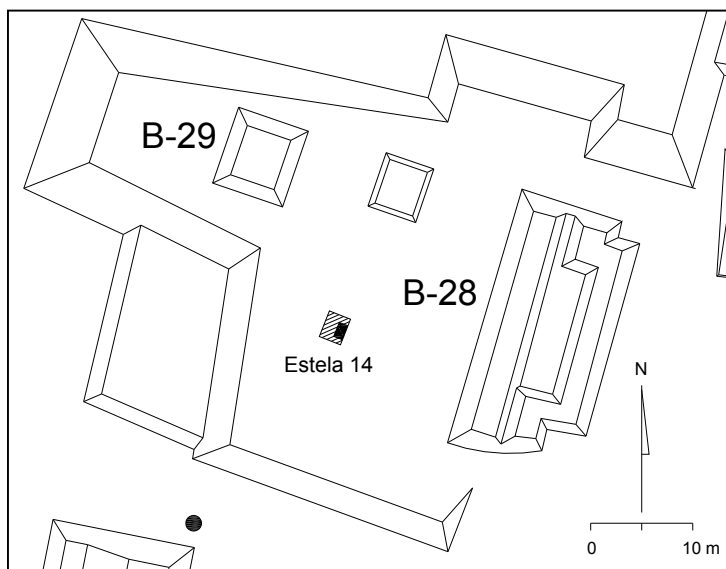


Figura 4.27. Mapa de ubicación de la Estela 14 dentro del Complejo Sureste. El área sombreada indica la extensión de terreno sujeta a la liberación del monumento.

¹⁵ Esta característica se observa en la cara norte del muro, siendo el tallado un poco más burdo en el resto de la superficie de los bloques.

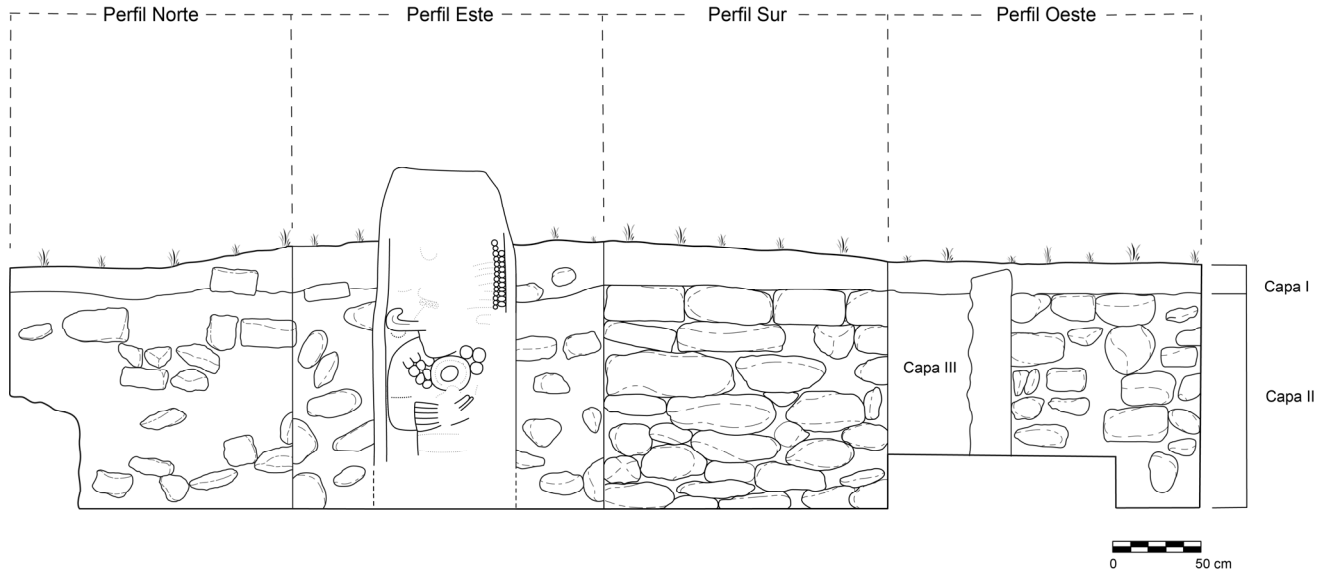


Figura 4.28. Perfiles estratigráficos de la excavación asociada a la Estela 14 (dibujo: O. Esparza).

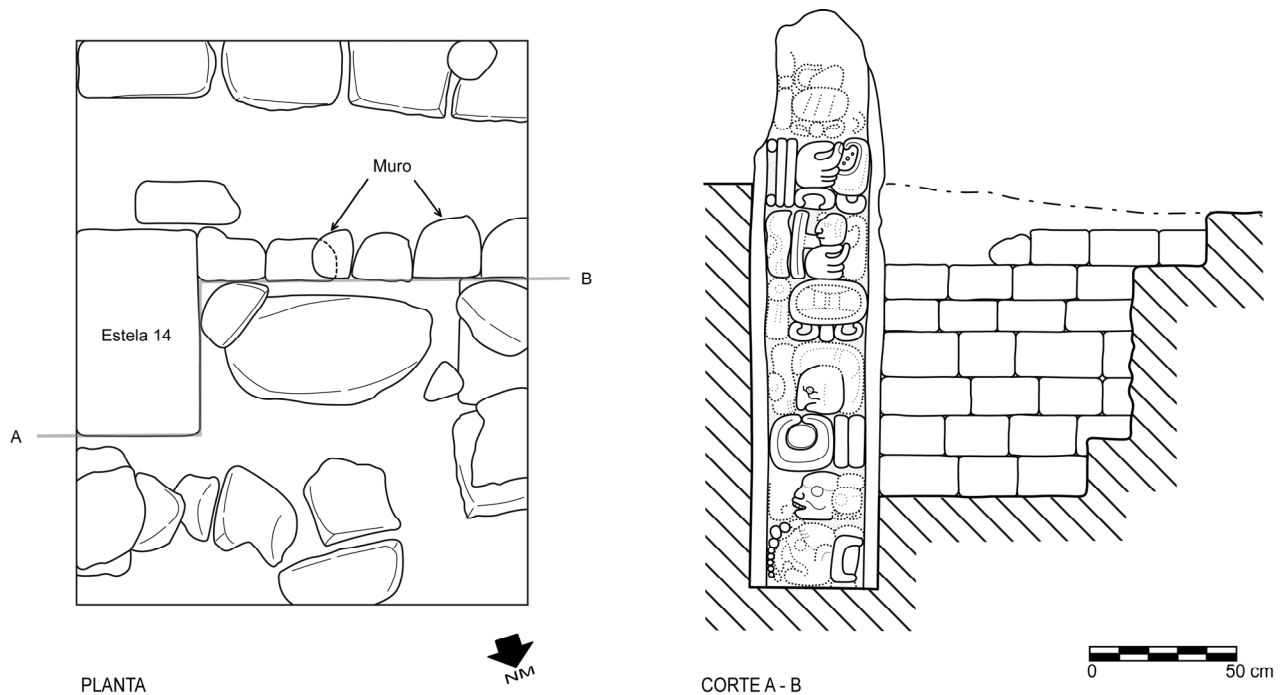


Figura 4.29. Planta y corte A-B del muro encontrado durante la liberación de la Estela 14 (dibujo: O. Esparza).

Capa III: Comprende el relleno localizado entre el conjunto de piedras apiladas en el perfil sur y el muro de piedras careadas adosado al monumento; dicho estrato se conforma de tierra color gris claro y pequeñas piedras de 5 a 15 cm, tiene un espesor promedio de 0.90 m. Se decidió retirar esta capa con el fin de poder registrar el texto jeroglífico labrado en el costado derecho del monumento, donde desde el principio de la excavación se pensó estaría plasmada la fecha de Cuenta Larga.

Durante la intervención no se movió ninguna parte del muro adosado a la estela. Como actividad final se rellenó el pozo con el material previamente extraído, colocando una capa de tierra alrededor del monumento para evitar el contacto de la superficie grabada con piedras u otro tipo de objetos que pudieran rayar o desgastar la imagen y el texto plasmados en la estela.



Figura 4.30. Muro adosado a la cara frontal de la Estela 14; vista hacia el sur.

Resulta complicado establecer de forma concreta la relación entre los elementos encontrados durante la excavación. No se puede determinar si la Estela 14 fue recolocada en este sector del asentamiento o si, por el contrario, se ubica en su posición original, pero es de suponer, en todo caso, que el muro de piedras careadas le fue adosado durante una época posterior al año 731 d. C. (fecha registrada en el monumento, que bien puede estar relacionada con su erección, v. *infra*) y que, en un momento aun más tardío, cuando la plataforma frente a la Estructura B-28 alcanzó su nivel actual, una gran parte del monumento fue cubierta con una capa de relleno compuesta de tierra y piedras.

Respecto a los elementos iconográficos y epigráficos del monolito (figura 4.31), se observa en la cara frontal la representación de un personaje con el torso de frente y el rostro de perfil que porta un tocado de plumas, así como una nariguera curvada,¹⁶ un pectoral circular y muñequeras. Durante el trabajo de liberación se pudo constatar que la estela contenía restos de estuco modelado (figura 4.32), con residuos de color verde, que daban forma a parte del cuerpo del personaje, así como delgadas capas del mismo material que servían como recubrimiento de algunos de los cartuchos jeroglíficos ubicados en el costado derecho.

¹⁶ La forma de este elemento está relacionada con la representación de la serpiente de nariz cuadrada o serpiente Zip, "característica diagnóstica sutil pero inequívoca del dios solar, K'inich Ajaw. Este motivo angular se relaciona claramente con la entidad conocida como Xiuhcōatl en el Posclásico del México central y probablemente represente al calor del sol como el aliento del dios solar" (Stuart 2010b: 23).

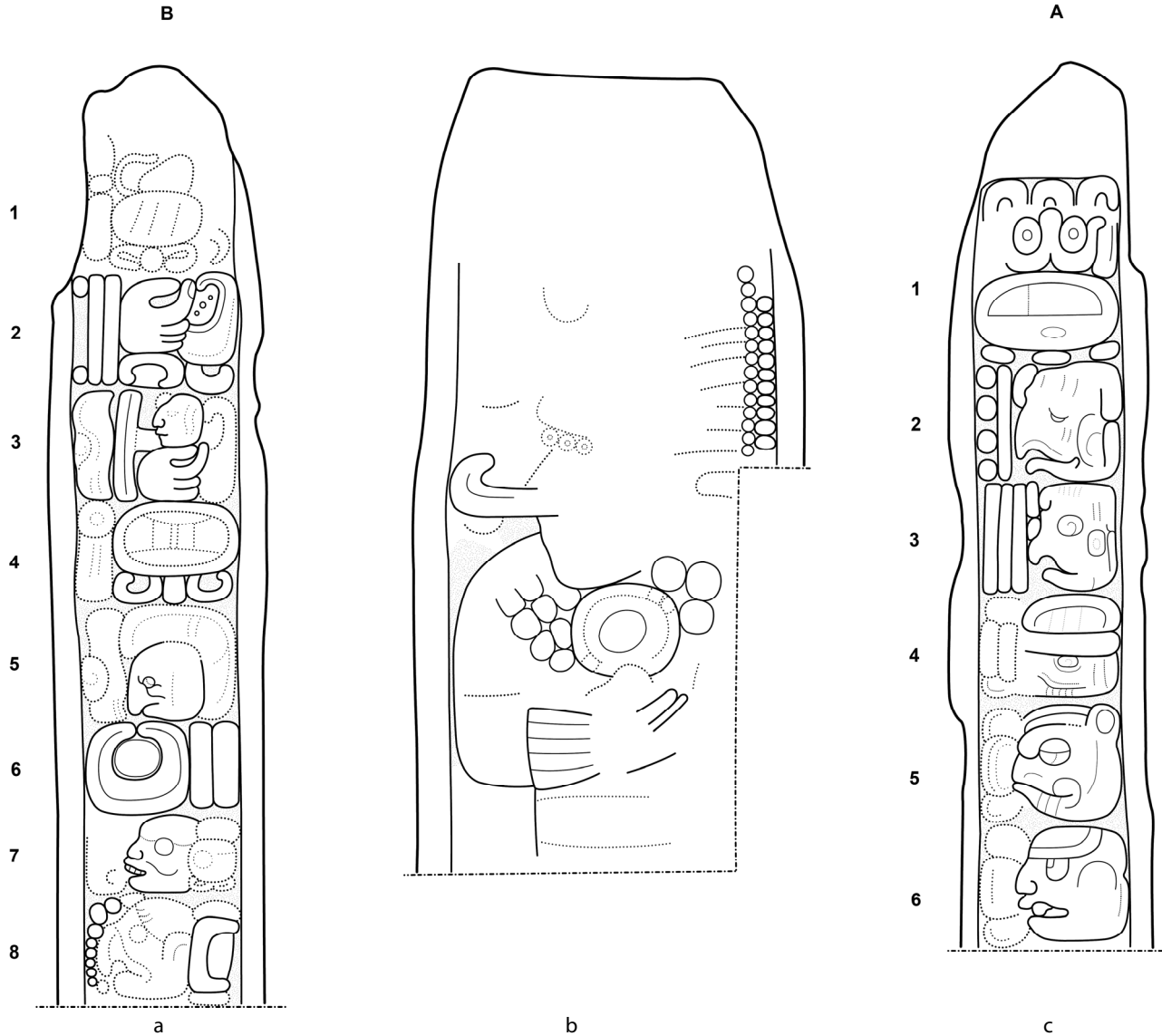


Figura 4.31. Estela 14, lado izquierdo (a), frente (b) y lado derecho (c) (dibujo: O. Esparza).

En cuanto al texto, éste comienza en el costado derecho de la pieza (figura 4.31: c) con el registro de la fecha de Cuenta Larga 9.15.0.0.0, 4 *ajaw* 13 *yax* (18 de agosto de 731 d.C.), antecedida por el GISL con la representación del patrón de la veintena *yax*. Aunque no pudo excavar la totalidad del monumento, lo más probable es que después de la Cuenta Larga se encuentren los glifos de la Rueda Calendárica y algunos de la Serie Suplementaria (como los glifos G y F). Ya en el costado izquierdo (figura 4.31: a) la inscripción continúa con lo que parece una variante del glifo Y,¹⁷

¹⁷ Nikolai Grube (com. personal con Ivan Šprajc, noviembre de 2014) ha notado que las Estelas 14 y 18 de Chactún contienen referencias al Glifo Y con un prefijo *ti* que, por analogía con otros textos contenidos en monumentos de Balakbal y La Corona, debe corresponder al numeral 7 (7Y). Grube también ha indicado que para la fecha de Cuenta Larga 9.15.0.0.0 (que aparece en los dos monumentos de Chactún antes mencionados), el Glifo Y debería tener un coeficiente 6. Debido a la escasez de este tipo de registros en las series suplementarias de los textos mayas, las inscripciones de Chactún serían relevantes para lograr un mejor entendimiento respecto al significado del Glifo Y dentro de los textos jeroglíficos.

seguida de los glifos D (con un coeficiente 12 que indica el número de días que tenía la luna), C (con el registro de la primera lunación del semestre regido por el Dios Tonsurado del Maíz), X (que indica el nombre de la lunación en curso), B (asociado a la expresión *uch'ok k'ab'a'*, 'su nombre joven') y A (donde se establece que la lunación es de 30 días).



Figura 4.32.
Estela 14, restos
de estuco
modelado en la
cara frontal.

Resulta desconcertante el hecho de que algunos elementos de los dos últimos cartuchos jeroglíficos visibles en el costado izquierdo del texto estén erosionados, dificultando sobremanera su plena identificación. En todo caso, se puede suponer el registro de una expresión verbal en B7 y, probablemente, parte de una cláusula nominal en B8. Dentro del cartucho B7 se puede apreciar la forma de una cabeza descarnada o calavera, similar a la del logograma **CHAM**, 'morir', aunque esta idea es discutible teniendo en cuenta el grado de erosión que presenta la estela en esta parte del texto.

Estela 15

Se localiza al norte de la Estructura B-6 del Complejo Sureste (Anexo: plano 2) y exhibe unas medidas de 0.80 m de largo por 0.65 m de ancho y 0.44 m de grosor. Al momento de su hallazgo se encontraba en pie y semienterrada en la superficie (figura 4.33), por lo que fue necesaria la remoción de una delgada capa de tierra (la profundidad máxima alcanzada fue de 25 cm) con el fin de llevar a cabo un registro completo de la pieza. Una vez que la estela fue liberada, se pudo constatar que se trataba del fragmento superior de un monumento de mayores dimensiones, que se mantenía erguido por medio de un pequeño bloque de piedra, a manera de calza, que se colocó por debajo del monumento (figura 4.34).



Figura 4.33. Estela 15, al momento de su hallazgo; vista hacia el sur.



Figura 4.34. Estela 15, fragmento superior, al ser liberado.

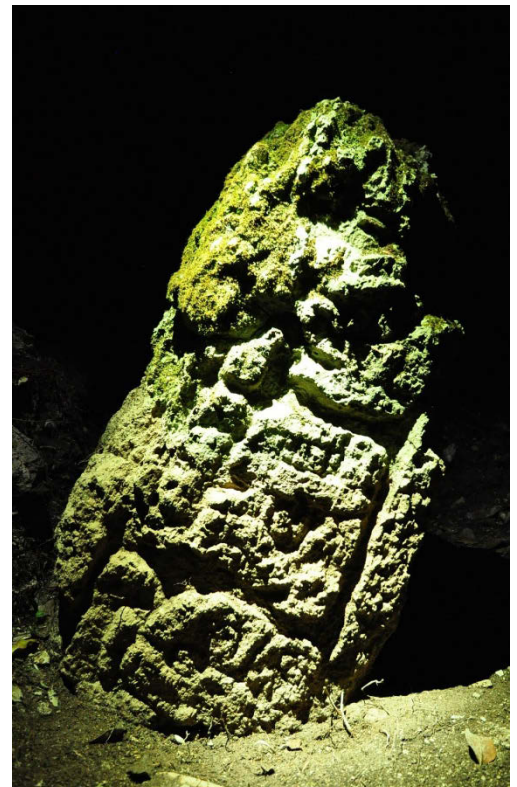


Figura 4.35. Estela 15, lado izquierdo.

La estela se encuentra grabada en sus cuatro caras (figuras 4.35 y 4.36), observándose en la parte frontal el torso de un individuo con los brazos flexionados, dando la impresión de sujetar algún objeto. En el aspecto epigráfico, la primera parte del texto se encuentra plasmada en el costado izquierdo, con el registro de una fecha de Cuenta Larga, en la que se pueden ver claramente los glifos de *tunes* y *winales* (ambos con coeficiente 0), así como parte del periodo de los *k'atunes* con un numeral mayor a 10. Al parecer, se trata de la conmemoración de una fecha de final de periodo, probablemente 9.15.0.0.0 4 *ajaw* 13 *yax* (18 de agosto de 731 d. C.). En el caso de la inscripción contenida en el costado derecho, su avanzado estado de deterioro sólo permite apreciar parte de tres cartuchos jeroglíficos, sin ningún elemento que pueda ser plenamente identificable.¹⁸

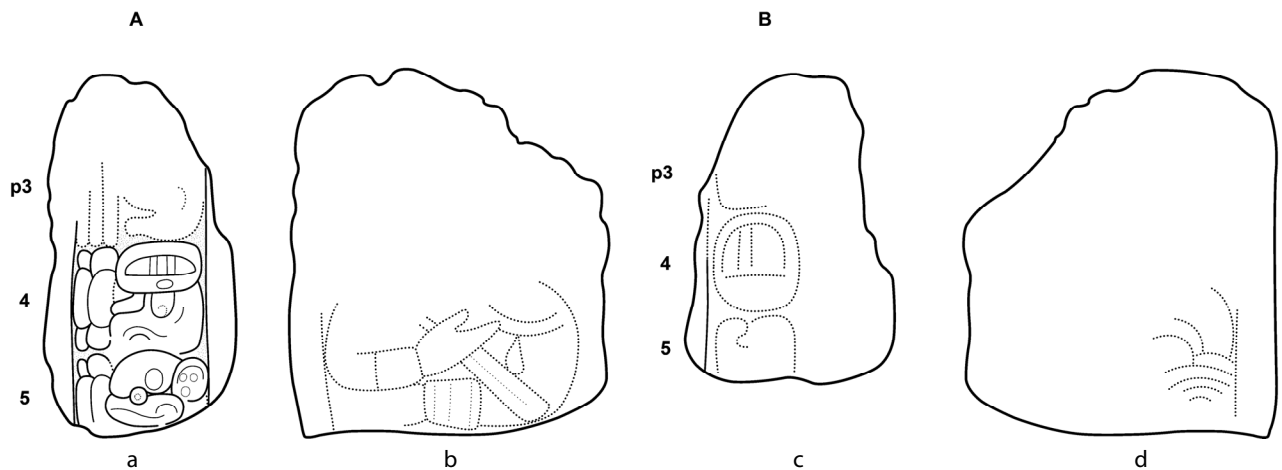


Figura 4.36. Estela 15, lado izquierdo (a), frente (b), lado derecho (c) y dorso (d) (dibujo: O. Esparza).

Estela 16

Al liberar el monumento, localizado al sureste de la Estructura B-28 del Complejo Sureste (Anexo: plano 2), se constató que se trataba de un fragmento, aparentemente superior, de una estela, enterrado escasos 10 o 15 cm, sin restos de grabado y teniendo unos 0.85 m de largo, 0.71 m de ancho y 0.52 m de grosor.

Estela 17

El monumento –fragmento inferior de una estela, de 1.18 m de largo, 0.74 m de ancho y 0.48 m de grosor– se encontró semienterrado en la esquina suroeste de la Estructura B-5b (edificio norte del juego de pelota) del Complejo Sureste (figuras 4.37 y 4.38; Anexo: plano 2), por lo que se implementaron labores de liberación para poder registrar la pieza en su totalidad. El área de

¹⁸ El cartucho Bp4 tiene cierta semejanza con el logograma **HAB'**, 'año', mientras que en Bp5 podría estar plasmado el logograma **NAH**, 'casa' o 'primero'.

excavación fue de 2 m por 1.60 m, abarcando el costado poniente frente a la estela. Las características estratigráficas registradas fueron las siguientes (figura 4.39):

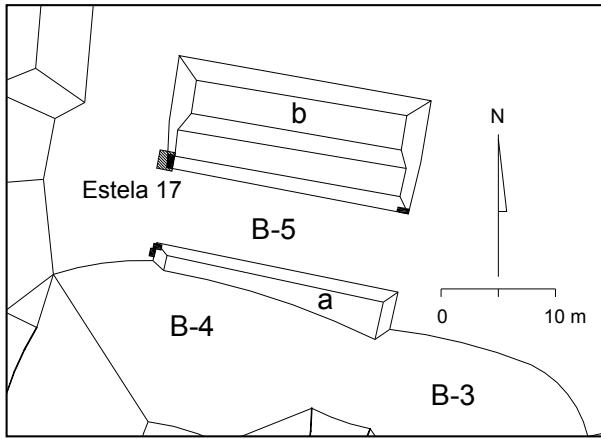


Figura 4.37. Mapa de ubicación de la Estela 17 dentro del Complejo Sureste. El área sombreada indica la extensión de terreno sujeta a la liberación del monumento.



Figura 4.38. Estela 17, al momento de su hallazgo; vista hacia el noreste.

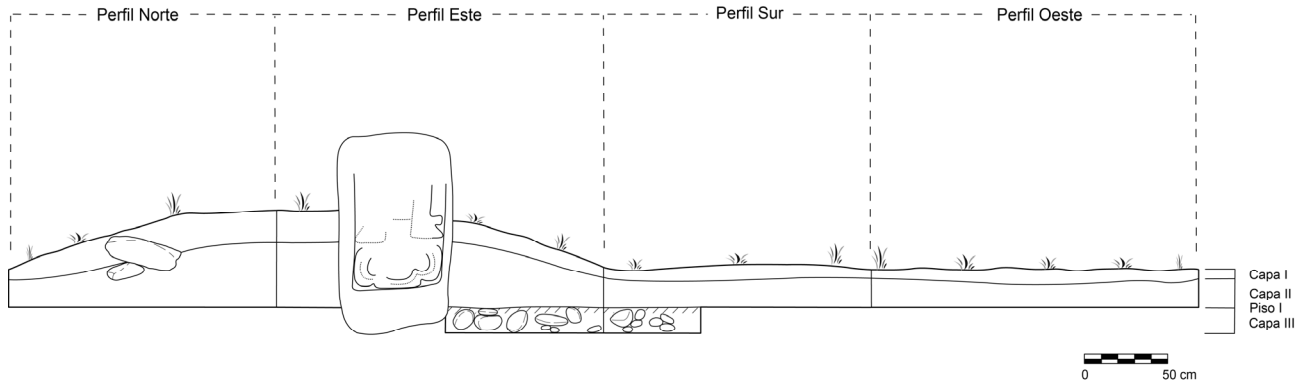


Figura 4.39. Perfiles estratigráficos de la excavación asociada a la Estela 17 (dibujo: O. Esparza).

Capa I: Suelo superficial de color café oscuro con presencia de raíces y piedras de 10 a 15 cm. Tiene un espesor promedio de 16 cm.

Capa II: Se compone por tierra de color café claro y piedras de 20 a 40 cm, como parte del escombros de la esquina suroeste de la Estructura B-5b. Durante el retiro de esta capa, de un espesor promedio de 25 cm, se localizó una concentración de 304 piezas de pedernal, mayormente lascas, colocadas sobre el piso de estuco, al pie de la cara sur del monumento (figuras 4.40 y 4.41). Las lascas de mayor tamaño exhiben unas medidas promedio de 6.5 cm de largo por 4 cm de ancho y 0.5 cm de grosor (v. capítulo 5).

Capa III: Corresponde al Piso 1 y al firme de preparación, compuesto por tierra de color gris claro y piedras de 3 a 13 cm. Tiene un grosor promedio de 18 cm.

En cuanto al grabado del monumento (figura 4.42), su cara frontal parece contener la representación de los pies de un individuo colocados sobre un elemento trilobulado, similar a los que pueden apreciarse en la parte inferior de las Estelas 4, 7 y 8 de Machaquilá, aunque en estos casos el elemento se encuentra colocado de forma inversa. Otra opción es que se trate de un diseño cuadrilobulado, como el registrado en la Estela 10 de Machaquilá, tomando en cuenta que

la parte superior del elemento bien pudo desdibujarse debido al severo grado de erosión que presenta la pieza. En este último sitio, los diseños trilobulados y cuadrilobulados corresponden a un singular recinto construido en la Plaza A (Stuart y Houston 1994), donde se realizaban rituales “en un espacio de acceso restringido, no destinados a ser vistos por grupos grandes de asistentes pertenecientes a un abanico amplio de la sociedad, sino a un grupo más exclusivo, posiblemente todos ellos pertenecientes a la élite política, social y religiosa del reino” (Lacadena 2011: 227).

Figura 4.40. Área de liberación de la Estela 17.
La sección sombreada indica el lugar de procedencia de las lascas de pedernal (dibujo: O. Esparza).

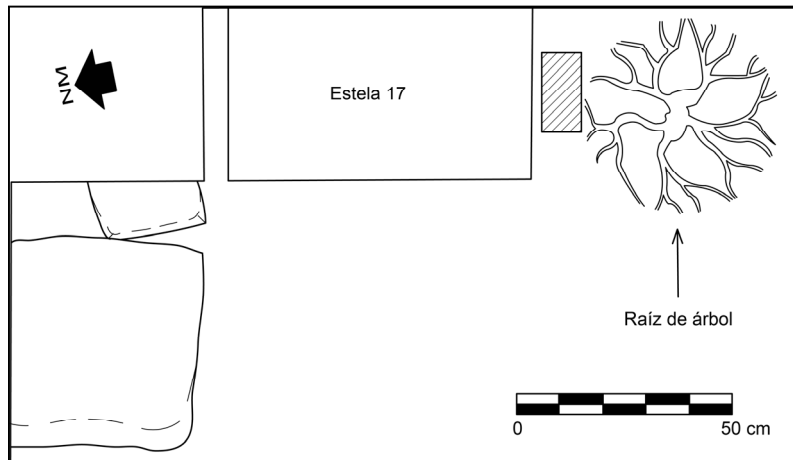


Figura 4.41. Concentración de lascas de pedernal en el costado sur de la Estela 17.



En el aspecto epigráfico, la estela contiene restos de cartuchos jeroglíficos en ambos costados, aunque en un estado avanzado de deterioro. El inicio del texto probablemente se ubica en el lado izquierdo, donde se aprecia el registro de una fecha de Rueda Calendárica con el día 4 *ajaw*. Aunque el glifo de la veintena y su coeficiente no se pueden establecer de forma certera, es probable que el coeficiente fuera 8 o 13; de haber sido 13, se podría manejar la posibilidad de que

se tratara del registro de la Rueda Calendárica 4 *ajaw* 13 *yax*, misma que aparece con certeza en las estelas 14 y 18 vinculada con la fecha de Cuenta Larga 9.15.0.0.0. Por otra parte, en el costado derecho sólo quedan restos de los dos últimos cartuchos, sin poder establecer para ellos ninguna propuesta de lectura dado su estado de deterioro.¹⁹

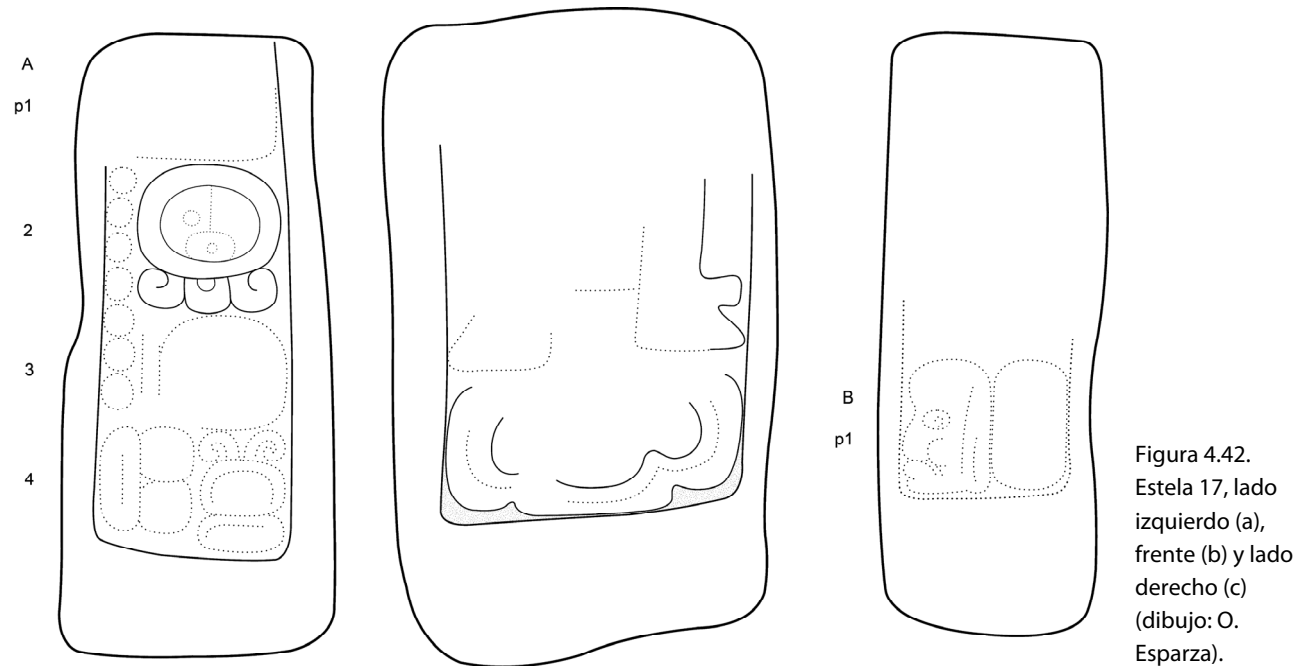


Figura 4.42. Estela 17, lado izquierdo (a), frente (b) y lado derecho (c) (dibujo: O. Esparza).

Estela 18

Fue hallada rota en dos partes al extremo noroeste de la Estructura B-5a (edificio sur del juego de pelota) del Complejo Sureste (Anexo: plano 2). Durante el proceso de liberación, en el que sólo se retiró suelo superficial y escombros, se pudo observar que las dos piezas estaban acomodadas a manera de escuadra como si con ellas se tratara de formalizar una de las esquinas de la cancha del juego de pelota (figuras 4.43 a 4.45). Una vez que ambos fragmentos pudieron unirse, se constató que formaban parte del mismo monumento cuyas dimensiones son de 1.98 m de largo por 0.66 m de ancho y 0.27 m de grosor.

¹⁹ Por el momento, esta pieza ha sido el único fragmento inferior de una estela que se ha registrado en el sitio. Este hecho es relevante, debido a que abre la posibilidad de que pudiera conformar un monumento completo en unión con alguna de las porciones superiores de estelas localizadas en el asentamiento. En este caso, resultan sugerentes las estelas 15 y 19, ya que, debido a sus dimensiones, bien pudieran corresponder a la sección superior de este monumento. Así, las medidas máximas de la Estela 15 son de 0.80 m de largo por 0.65 m de ancho y 0.44 m de grosor, mientras que las de la Estela 19 son de 0.93 m de largo por 0.62 m de ancho y 0.40 m de grosor. Como se puede apreciar, las dimensiones en grosor y ancho son similares a las que exhibe la Estela 17 (la diferencia máxima es de 12 cm), por lo que cabe la posibilidad de que este último monumento formara parte de la misma pieza que la Estela 15 o 19. Otra opción es la Estela 12, que con unas medidas de 1.42 m de largo por 0.79 m de ancho y 0.46 m de grosor, también puede ajustarse a las proporciones de la Estela 17, aunque hay que tomar en cuenta que ambos fragmentos se encuentran en diferentes complejos arquitectónicos del sitio.

Figura 4.43. Mapa de ubicación de la Estela 18 dentro del Complejo Sureste. El área sombreada indica la extensión de terreno sujeta a la liberación del monumento.

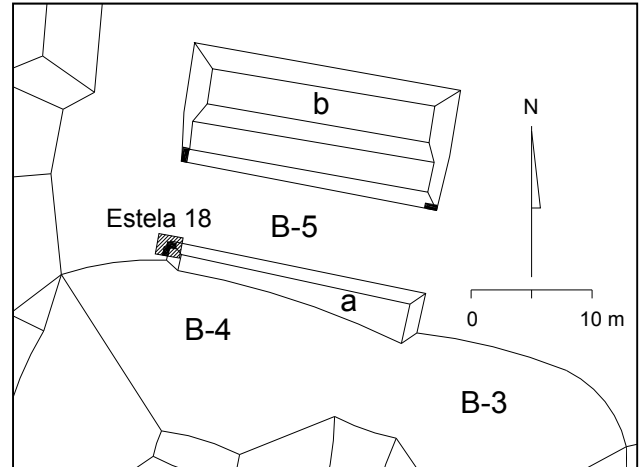


Figura 4.44. Estela 18, al momento de su hallazgo.



La estela se encuentra grabada en sus cuatro caras, observándose en las superficies frontal y trasera sendas figuras humanas ricamente ataviadas. En la primera imagen (figuras 4.46 y 4.47: b) se distingue un personaje de pie, con el cuerpo de frente y el rostro de perfil, que parece cargar con su mano derecha algún tipo de objeto.²⁰ Porta sobre su cabeza un elaborado tocado de plumas con la efigie de la entidad conocida como "serpiente lirio acuático". Este ser lleva en su cabeza una flor de lirio y parece ser una representación animada de los cuerpos de agua o una manifestación de los espíritus acuáticos o de la lluvia. Por medio del análisis de algunos textos jeroglíficos de Copán, el

²⁰ En realidad, podría tratarse de la efigie de una deidad (tal vez K'awiil), aunque la erosión en esta sección de la estela no permite su plena identificación.

nombre de esta entidad podría ser *witz'*, 'cascada, salpicadura de agua', enfatizando su relación con las corrientes de ríos u otros cuerpos de agua (Stuart 2007). Otros elementos que lleva consigo el personaje son orejas tubulares, nariguera curvada (v. *supra*: comentario a la Estela 14), muñequeras, pectoral circular, faldellín y sandalias.



Figura 4.45.
Estela 18,
después de su
liberación.



Figura 4.46.
Estela 18, cara
frontal.

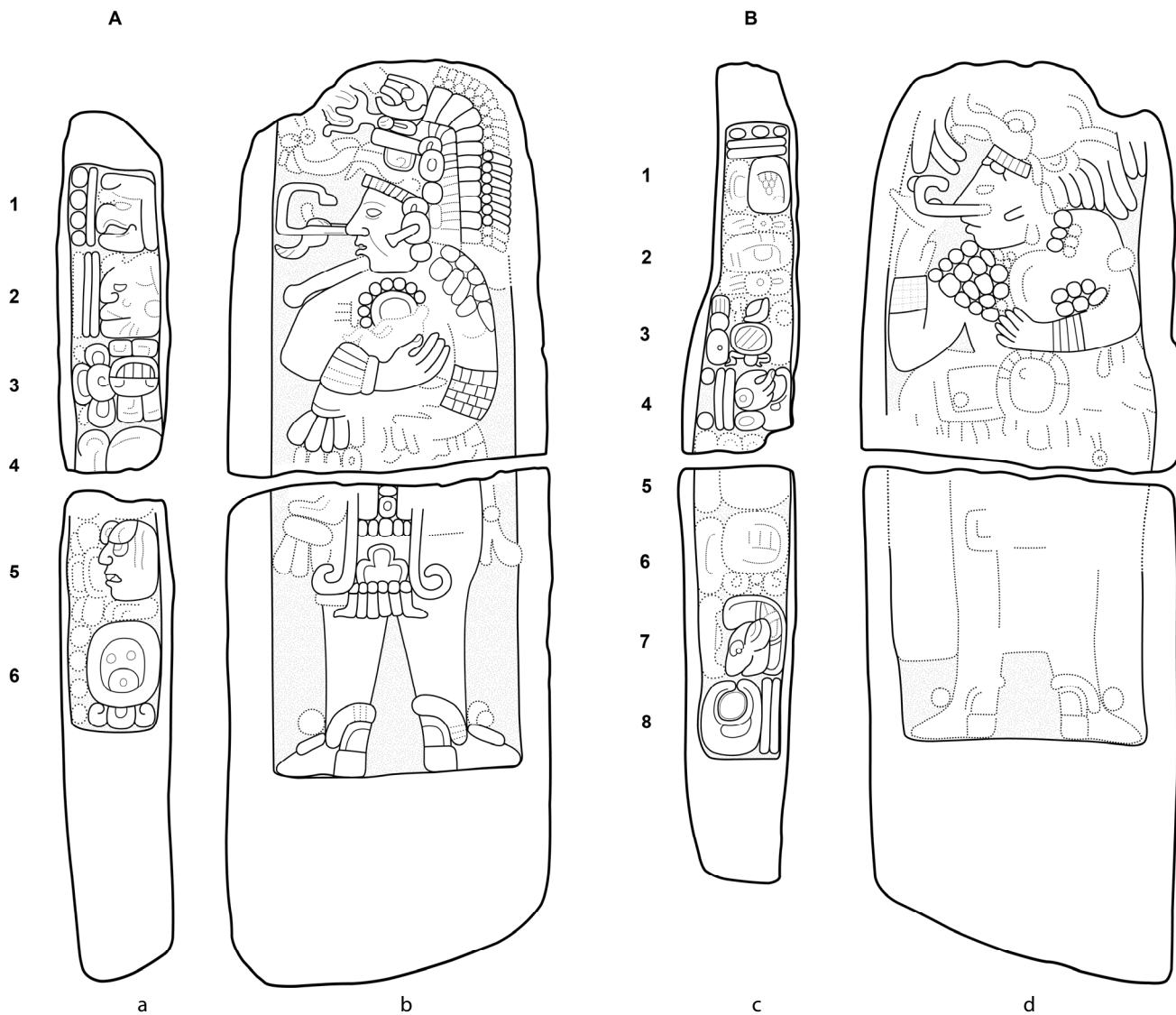


Figura 4.47. Estela 18, lado izquierdo (a), frente (b), lado derecho (c) y dorso (d) (dibujo: O. Esparza).

La segunda figura (figura 4.47: d) porta elementos similares, aunque difiere un poco en el tocado de plumas, que contiene la imagen de algún animal o ser sobrenatural. Al igual que la figura anterior, la posición de uno de sus brazos (en este caso el izquierdo) da la impresión de cargar algo, pero el deterioro en esta área del monumento dificulta sobremanera la visualización de los detalles esculpidos en esta zona. Un elemento a considerar en la composición de la imagen es la franja ubicada frente a la pierna derecha del individuo, que si bien puede representar parte de su atuendo, también pudo servir para plasmar un texto jeroglífico actualmente obliterado.

Las imágenes de los personajes se complementan con un texto jeroglífico distribuido en los costados del monumento. Del lado izquierdo (figura 4.47: a) se observa el registro de la fecha de Cuenta Larga 9.15.0.0.0 (18 de agosto de 731 d.C.). Aquí destaca el glifo de los *k'atunes* que exhibe la forma de una cabeza de perfil con rasgos antropomorfos; esta variante es completamente inusual para el registro de ese periodo calendárico, siendo más frecuentes las variantes "geométricas" y de cabeza de ave. Sigue el glifo 4 *ajaw*, mientras que el de la veintena, 13 *yax*, se ubica ya en el costado derecho (B1; figura 4.47: c), seguido de lo que parece la representación de

los glifos G y F (B2); una variante del Glifo Y (B3);²¹ el Glifo D (B4) con un coeficiente 12 que indica el número de días desde que la Luna arribó; el Glifo C (B5), probablemente con el registro de la primera lunación del semestre regido por el Dios Tonsurado del Maíz (tomando en cuenta el registro de este glifo en la inscripción de la Estela 14); el Glifo X (B6), que indica el nombre de la lunación en curso; el Glifo B (B7) asociado a la expresión *uch'ok k'ab'a'*, 'su nombre joven', y el Glifo A (B8), donde se establece que la lunación en curso tiene una duración de 30 días. Como se puede observar, el monumento sólo contiene datos calendáricos, sin hacer referencia a ninguna acción o individuo en particular. En este caso, resulta evidente que fue erigida con motivo de la finalización del decimoquinto *k'atun*.

Estela 19

Se halló semienterrada en la esquina sureste de la Estructura B-5b (edificio norte del juego de pelota) del Complejo Sureste (figura 4.48, Anexo: plano 2). Concluido el trabajo de liberación se pudo constatar que se trataba del fragmento superior de una estela, cuyas dimensiones son de 0.93 m de largo por 0.62 m de ancho y 0.40 m de grosor.

Después de su inspección se detectó que únicamente el costado izquierdo del monumento contaba con restos de escritura, que corresponden al registro de una fecha de Cuenta Larga (figura 4.49). El avanzado estado de deterioro del monumento sólo permite ver parte del G1S1, sin patrón de la veintena reconocible, y los glifos correspondientes a los *bak'tunes* y los *k'atunes*, aunque desgraciadamente no se aprecian con claridad los numerales que acompañaban a estos periodos.



Figura 4.48. Estela 19, al momento de su hallazgo; vista hacia el noroeste.

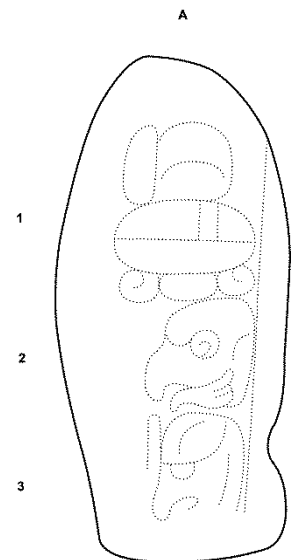


Figura 4.49. Estela 19, lado izquierdo (dibujo: O. Esparza).

²¹ V. *supra*: nota 17.

Estela 20

Esta estela, sin huellas de grabado y en posición inclinada, se ubica sobre una plataforma a medio kilómetro al oriente del núcleo del Complejo Oeste (N18°43'29.1", W89°31'19.6"; figura 4.50).



Figura 4.50. Estela 20.

Altars 1 y 2

Ambos monumentos, lisos y cilíndricos, se localizan en la Plaza Sur del Complejo Oeste, frente a la Estructura A-27 (Anexo: plano 1). El diámetro del Altar 1 es 1.6 m; el grosor del monumento, ligeramente enterrado, es más de 0.4 m. Las dimensiones correspondientes del Altar 2, ubicado inmediatamente al oriente del anterior, son aproximadamente 1.45 m y 0.45 m. Inmediatamente al poniente de ambos altares y alineado con ellos se encuentra un bloque de piedra amorfo, de aproximadamente 1 m de largo y 0.8 m de ancho, aparentemente colocado allí de manera intencional (figura 4.51).

Altar 3

El altar, aproximadamente cilíndrico y liso, se ubica en el Complejo Oeste, al este de la Estructura A-27 y a 10 m al norte de la Estela 4 (Anexo: plano 1). Su diámetro varía entre 0.95 m y 1.1 m; su grosor es de 0.45 m.



Figura 4.51. Bloque de pedernal, Altar 1 y Altar 2; vista hacia el oriente (foto: Mauricio Marat, Dirección de Medios de Comunicación, INAH).



Figura 4.52. Altar 4.

Altar 4

El altar cilíndrico, liso y semienterrado, de 2.15 m de diámetro y de al menos 0.4 m de grosor, se localiza en el Complejo Oeste, al sur de la Estructura A-28 y a 15 m al este del Altar 3 (figura 4.52, Anexo: plano 1).

Altar 5

El monumento, aproximadamente cilíndrico, muy deteriorado (fragmentado) y semienterrado, de aproximadamente 1.4 m de diámetro y más de 0.3 m de grosor, se localiza en la parte noroeste de la Plaza Sureste del Complejo Oeste (Anexo: plano 1).

Altar 6

El altar cilíndrico y liso, de 1.35 m de diámetro y 0.4 m de grosor, se localiza en la parte central de la Plaza Noroeste del Complejo Oeste, inmediatamente al sureste de la Estela 5 (Anexo: plano 1).



Figura 4.53. Altar 7.



Figura 4.54. Altar 8 y el talud oriente de la Estructura A-13; vista hacia el oriente.

Altar 7

Ubicado en la Plaza Noroeste del Complejo Oeste, este altar es de planta ovalada, liso y ligeramente enterrado, teniendo 1.7 m de largo, 1.2 m de ancho y más de 0.35 de grosor (figura 4.53, Anexo: plano 1).

Altar 8

El monumento cilíndrico, liso, inclinado y medio enterrado en el talud oriente de la Estructura A-13 de la Plaza Noroeste del Complejo Oeste, tiene 1.2 m de diámetro y 0.4 m de grosor (figura 4.54, Anexo: plano 1).

Altar 9

El monumento de forma irregular, con 1.4 m de largo, 1.3 m de ancho y 0.3 m de grosor, liso y roto en dos fragmentos, se ubica en la Plaza Noroeste del Complejo Oeste, al norte de la Estela 8 y frente a la Estructura A-10 (figura 4.55, Anexo: plano 1).



Figura 4.55. Altar 9.

Altares 10 y 11

Los dos altares, cilíndricos, lisos y medio enterrados, se localizan en la Plaza Noreste del Complejo Oeste, asociados a las Estelas 9 y 10, respectivamente (Anexo: plano 1). El diámetro del Altar 10 es de 1.49 m y su grosor de 0.40 m; las dimensiones correspondientes del Altar 11 son 1.50 m y 0.42 m.

Altar 12

El monumento cilíndrico, liso, inclinado y semienterrado, con 0.85 m de diámetro y 0.35 m de grosor, se ubica sobre la Estructura A-58 del Complejo Oeste, en medio de un espacio encerrado por hileras de piedras cilíndricas. Pegado al altar se encuentra, en posición inclinada y medio enterrado, un bloque rectangular de piedra (figura 4.56, Anexo: plano 1).

Figura 4.56. Altar 12 y el bloque de piedra adyacente.



Figura 4.57. Altar 13, vista hacia el sureste.



Altar 13

El altar liso y de planta ovalada, de 1.6 m de largo, 1.38 de ancho y 0.65 m de grosor y apoyado por tres piedras labradas en forma cilíndrica, se localiza en la orilla oeste del Complejo Sureste, inmediatamente al norte de la Estructura B-26. Es posible que en este lugar desembocara el supuesto *sacbé* que conectaba el Complejo Sureste con el Oeste (figura 4.57, Anexo: plano 2).

Altar 14

Este monumento, roto en varios fragmentos, se encontró en la plaza principal del Complejo Sureste (figura 4.58, Anexo: plano 2). Durante su registro se pudieron identificar cuatro piezas con restos de imágenes y cartuchos jeroglíficos, que conforman sólo una parte de la totalidad del monumento, desconociéndose la ubicación del resto de los fragmentos (figuras 4.59 y 4.60). En este sentido, puede considerarse la posibilidad de que se encuentren enterrados cerca de la ubicación actual del altar o que fueran reubicados en otra parte del asentamiento. Con base en la forma y las dimensiones de las piezas encontradas, el altar debió ser cilíndrico, con un diámetro aproximado de 1.80 m. Durante la inspección se pudo constatar que faltaba la parte superior del altar, lo que no nos permite determinar con certeza su espesor original, que debió ser superior a los 50 cm.

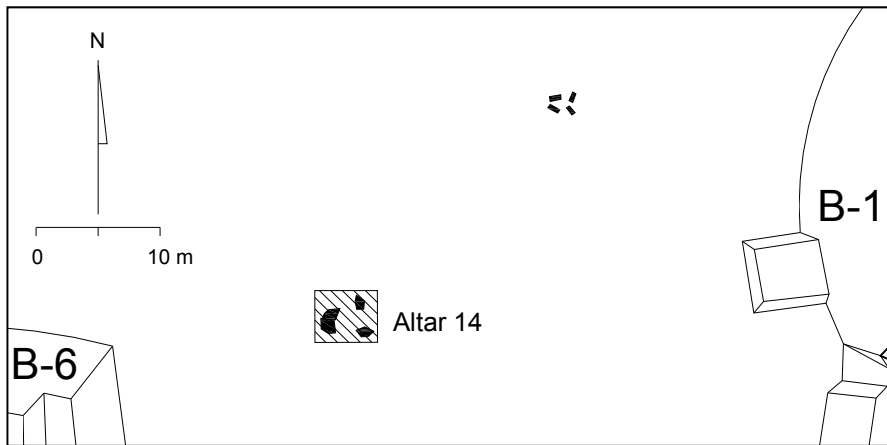


Figura 4.58. Mapa de ubicación del Altar 14 dentro del Complejo Sureste. El área sombreada indica la ubicación de los fragmentos.



Figura 4.59. Altar 14, Fragmentos 1 y 2 ensamblados.

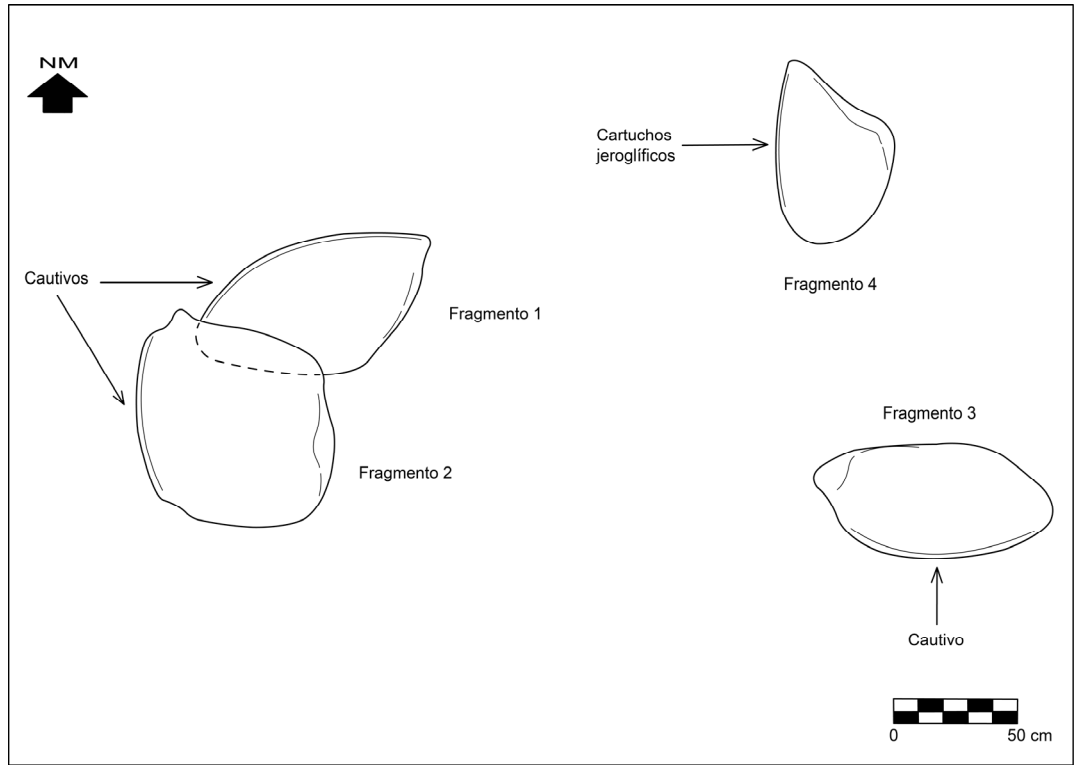


Figura 4.60. Altar 14, plano de ubicación de los fragmentos con restos de grabado (dibujo: O. Esparza).

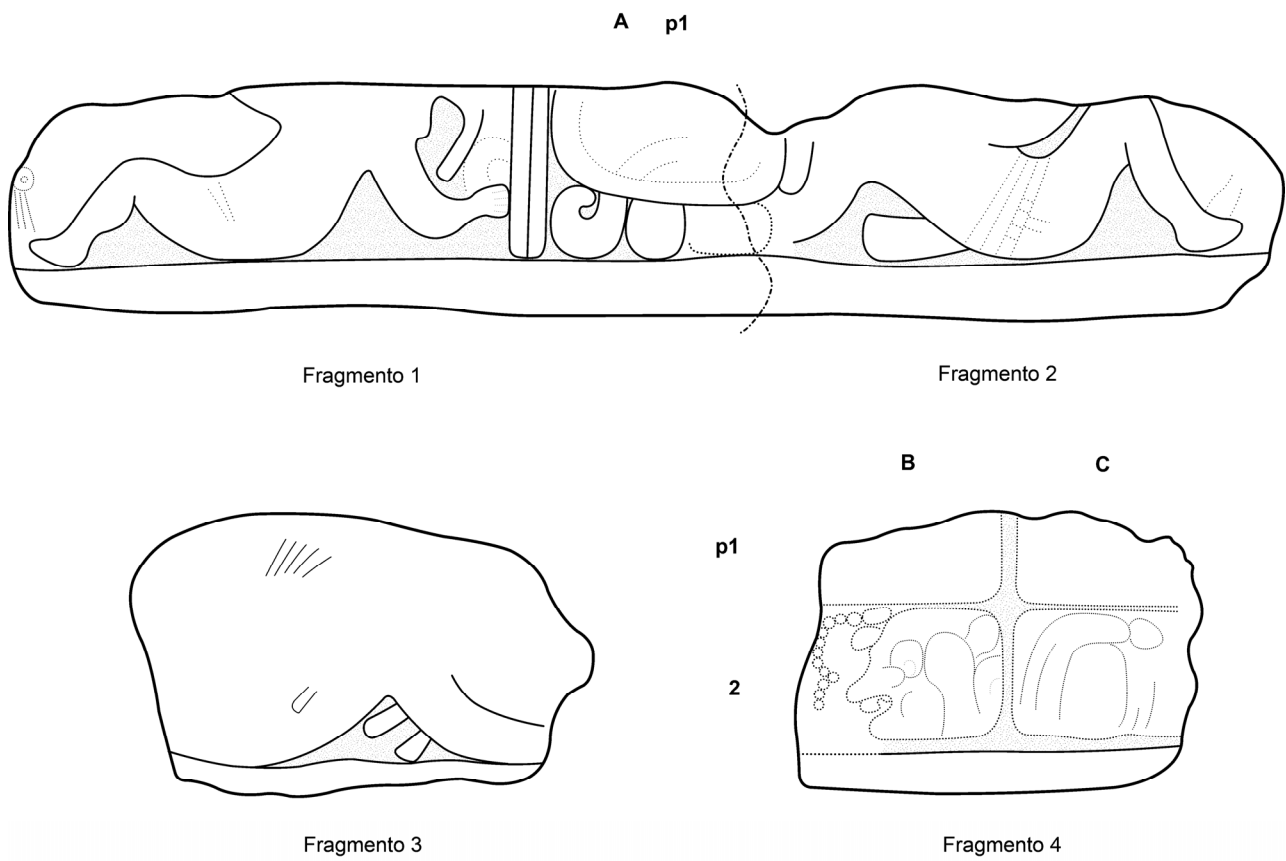


Figura 4.61. Altar 14, fragmentos con restos de grabado (dibujo: O. Esparza).

Aunque los bloques exhiben diferentes grados de erosión, en tres de ellos (fragmentos 1, 2 y 3) todavía se observan las imágenes de personajes recostados, probablemente cautivos, mientras que otro (fragmento 4) contiene restos de un texto jeroglífico constituido por cuatro cartuchos (figura 4.61). Tanto las tres figuras, una en cada fragmento, como los cartuchos jeroglíficos fueron esculpidos en el canto del altar. Únicamente los fragmentos 1 y 2 pudieron unirse, desconociéndose la ubicación original del resto de las secciones.

La inscripción del fragmento 4 se encuentra en un avanzado estado de deterioro y sólo es posible observar el logograma **YOPAT** en Bp2, tal vez como parte de una cláusula nominal, y un glifo semejante al logograma **LAKAM** en Cp2. Otro cartucho se sitúa entre los fragmentos 1 y 2, probablemente con el registro del día 10 *ajaw*, aunque la erosión en esta parte del monumento dificulta su plena identificación.

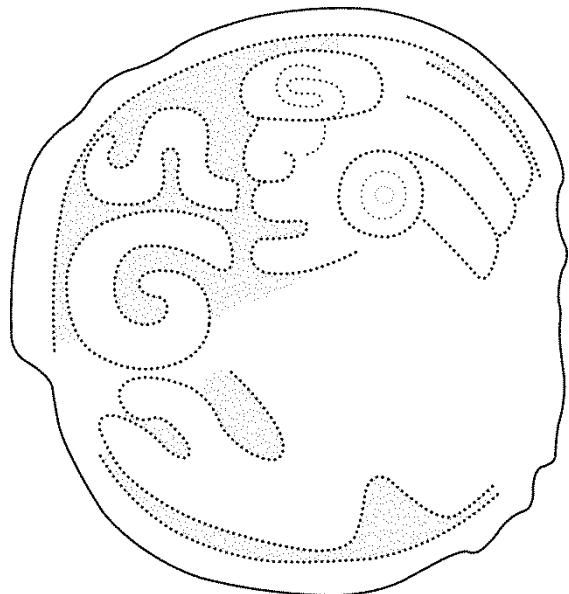
Altar 15

El altar cilíndrico de formato pequeño, con un diámetro de 0.58 m y un grosor de 0.18 m, fue localizado en superficie, al frente de la Estructura B-6, en la plaza principal del Complejo Sureste. A pocos metros al oriente se encuentra en posición inclinada un bloque labrado de piedra, de 1.25 m de largo, 0.8 m de ancho y 0.4 m de grosor (figura 4.62, Anexo: plano 2).



Figura 4.62. Altar 15 y el adyacente bloque de piedra; vista hacia el oriente.

Figura 4.63. Altar 15, cara superior (dibujo: O. Esparza).



En una de las caras del altar se encuentra representado un ser de rasgos antropomorfos que porta un tocado de plumas y una orejera circular. Frente a su rostro se aprecian dos franjas onduladas, semejantes a la forma del logograma **K'AK'**, 'fuego', que parecen emerger de su boca (figura 4.63).

El bloque de piedra adyacente no tiene huellas de grabado, pero sus cuatro superficies laterales fueron evidentemente cortadas, por lo que parece tratarse de un monumento modificado y en posición secundaria. Cabe notar que su base se encontró a escasos centímetros de profundidad (figura 4.62), sugiriendo que el monumento no fue clavado en el terreno sino colocado directamente sobre la superficie.

Debido al tamaño del Altar 15, se decidió enterrarlo *in situ* para evitar su deterioro y protegerlo de un eventual saqueo.

Consideraciones finales

La importancia del *corpus* de inscripciones de Chactún (tabla 4.1) queda de manifiesto al constituir, sin duda, el conjunto de monumentos más extenso que se conoce en el enclave entre las regiones Río Bec y Chenes (Bueno Cano 2001; Nondédéo y Lacadena 2004; Campaña Valenzuela 2005; Zapata 2005; Sánchez y Anaya 2006; Nondédéo *et. al.* 2010). Teniendo en cuenta el número de monolitos erosionados o lisos detectados en sitios de la región Río Bec, destaca el hecho de que 11 de los 35 monolitos localizados hasta la fecha en Chactún todavía contengan vestigios de inscripciones. Esta afortunada situación nos ha permitido obtener información importante respecto a los datos cronológicos y de índole histórica contenidos en las estelas y altares, pero también el contexto en que fueron hallados nos aporta datos interesantes en lo que se refiere a las prácticas sociales y rituales de los habitantes del sitio. En este sentido, sobresale el hecho de que la mayoría de los monumentos corresponden a fragmentos de estelas reubicados en diferentes partes del asentamiento, particularmente en las esquinas de los juegos de pelota localizados en los complejos Oeste y Sureste.

Diversos investigadores han asociado el fenómeno de la ruptura y relocalización de monumentos con diferentes causas, entre ellas la reutilización práctica de los monolitos como materiales de construcción, su profanación y desacralización por parte de los mismos habitantes del asentamiento o su recolocación con fines rituales, como piezas dignas de ser veneradas al haber sido erigidas por los antepasados (Thompson *et. al.* 1932; Satterthwaite 1958; Shook 1958; Hammond y Bobo 1994; Hammond y Tourtellot 2006). En el caso de Chactún, algunos monumentos parecen haber sido rotos de forma intencional, como el caso de la Estela 18, cuyo patrón de fractura, que divide casi por la mitad el monolito, sugiere más una afectación cultural que natural. Algo similar parece suceder con las Estelas 17 y 19, cuyas superficies de fractura no exhiben áreas sinuosas o con irregularidades muy marcadas, como cabría esperar de un monumento que cae y se rompe al contacto con la superficie (como parece estar ejemplificado en la Estela 15, cuyo patrón irregular de fractura propició la colocación de un bloque de piedra, a manera de calza, en una de las orillas del monumento para darle estabilidad y poder asentarlo sobre el suelo). Por otra parte, cabe la posibilidad de que ciertas secciones de los monolitos, derribados y rotos por el paso del tiempo, hayan sido modificadas por pobladores tardíos para su recolocación.

Un tratamiento diferente tuvo la Estela 14, embebida casi por completo dentro de una plataforma localizada al poniente de la Estructura B-28. No sabemos con certeza si su ubicación actual corresponde al lugar donde originalmente fue colocada o si, por el contrario, fue reubicada

en una época posterior a su talla. Al margen de esta cuestión, al monumento le fue adosado un muro que cubrió parcialmente la figura del personaje plasmada en la cara poniente; posteriormente, gran parte de la superficie de la estela fue tapada por un relleno de tierra y piedras. Dicho relleno fue colocado cuidadosamente alrededor de la estela, ya que durante el proceso de excavación se observó que el material pétreo había sido depositado alrededor del monumento, sin tener contacto con ninguna de sus superficies grabadas para evitar su degradación. En este caso, no resulta claro si el monolito fue reutilizado como elemento arquitectónico o con alguna otra finalidad, pero es patente que al momento de ser sepultada la estela estaba revestida de cierta importancia, a juzgar por el cuidado con que fue embebida.

Monumento	Fecha	Evento	Personaje	Observaciones
Estela 1	9.16.0.0.0 (5 de mayo de 751 d.C.)	Erección de monumento	Aj K'ihnich B'ahlam	Monumento con restos de estuco modelado y pintado, se ubica en la esquina SE de la Estructura A-16 del Complejo Oeste.
Estela 2	¿?	¿?	¿?	Estela fragmentada con restos de escritura, se ubica al oriente de la Estructura A-23 del Complejo Oeste.
Estela 3	¿?	¿?	¿?	Fragmentos de estela con restos de escritura, se ubican en la parte NE de la Plaza Sur del Complejo Oeste.
Estela 12	¿9.16.0.0.0? (5 de mayo de 751 d.C.)	Erección de monumento	¿Aj K'ihnich B'ahlam?	Fragmento superior de estela, reubicado en el extremo NW del juego de pelota del Complejo Oeste. Contiene una referencia al ciclo de 819 días.
Estela 14	9.15.0.0.0 (18 de agosto de 731 d.C.)	¿?	¿?	Monumento semienterrado con restos de estuco modelado y pintado. Se ubica al poniente de la Estructura B-28 del Complejo Sureste.
Estela 15	¿9.15.0.0.0? (18 de agosto de 731 d. C.)	¿?	¿?	Fragmento superior de estela, se ubica al norte de la Estructura B-6 del Complejo Sureste.
Estela 17	¿9.15.0.0.0? (18 de agosto de 731 d. C.)	¿?	¿?	Fragmento inferior de estela, se ubica en el extremo SW de la Estructura B-5-b del Complejo Sureste.
Estela 18	9.15.0.0.0 (18 de agosto de 731 d. C.)	¿?	¿?	Estela fragmentada y reubicada en la esquina NW de la Estructura B-5-a del Complejo Sureste.
Estela 19	¿?	¿?	¿?	Fragmento superior de estela con restos de escritura, se ubica en el extremo SE de la Estructura B-5-b del Complejo Sureste.
Altar 14	Posible referencia a una fecha 10 <i>ajaw</i> en el calendario de 260 días (<i>tzolk'in</i>)	¿?	Yopaat	Monumento fragmentado con la representación de cautivos y restos de escritura. Se ubica al centro de la Plaza Principal del Complejo Sureste.
Altar 15	¿?	¿?	¿?	Monumento con restos de grabado, localizado al pie de la Estructura B-6 del Complejo Sureste.

Tabla 4.1. Relación de fechas y otros datos contenidos en los monumentos esculpidos de Chactún.

En cuanto al lapso de tiempo vinculado con el proceso de reubicación de estelas en Chactún, bien pudo comenzar a finales del periodo Clásico Tardío, tomando en cuenta que la mayoría de los monumentos están fechados para los años 731 y 751 d. C., cuando acaecieron los finales del decimoquinto y decimosexto *k'atun* respectivamente. Así, la relocalización de monolitos tal vez tuvo lugar durante la segunda mitad del siglo VIII d. C., aunque, teniendo presente la existencia de restos materiales asociados a grupos del Posclásico (como los fragmentos de incensarios recuperados al pie de la Estela 1), también es posible que durante esta última época se haya desarrollado el fenómeno de la reubicación de monumentos.

En otro aspecto, aunque la mayoría de las estelas conservan todavía fechas de Cuenta Larga, resulta lamentable el hecho de que sólo unas pocas contengan eventos y antropónimos. Así, las acciones documentadas se remiten a la erección de monumentos (Estelas 1 y 12) y sólo la Estela 1 tiene una cláusula nominal reconocible (aunque, como se comentó anteriormente, también la Estela 14 parece contener una expresión verbal y un antropónimo). Mención aparte merece el texto de la Estela 12, al contener una referencia al ciclo de 819 días, cuya distribución se restringe a los asentamientos de las Tierras Bajas Noroccidentales y la zona del río Motagua, áreas alejadas del enclave geográfico donde se encuentra Chactún.

Por último, destaca el Altar 14, que aunque no contiene datos cronológicos que nos permitan ubicarlo temporalmente de forma certera, bien podría corresponder al limitado programa iconográfico de escenas bélicas, vinculado con el resurgimiento de señoríos locales con autonomía política que surgieron en la región Río Bec durante la segunda mitad del Clásico Tardío, coincidiendo con la debacle de la dinastía Kanu'l durante la primera mitad del siglo VIII d. C. (Nondédéo *et. al.* 2010; Šprajc y Grube 2008).

5 ¿Una ofrenda de desechos?

Las lascas de la Estela 17 de Chactún

Stephen Castillo Bernal

Por lo regular, cuando escuchamos sobre el descubrimiento de una ofrenda arqueológica imaginariamente pensamos en el hallazgo de bienes de lujo dignos de un museo: estéticas vasijas de barro, grandes excéntricos de sílex u obsidiana, sendos collares o muñequeras de piedra verde, conchas marinas del Pacífico, elementos de turquesa, alabastro etc. El lector no encontrará este tipo de bienes en este manuscrito, aunque sí una fuerte cantidad de lascas y láminas de sílex, derivadas del astillamiento de diferentes núcleos. Como se podrá apreciar, el hecho de que determinado objeto constituya o no una ofrenda, tal como nosotros la conceptualizamos, no depende de las características morfológicas del objeto en sí, sino del valor simbólico que los actores sociales le imprimieron para ser depositado en ciertos lugares significativos.

Como veremos más adelante, las lascas y láminas ofrendadas, aunque devienen de un proceso productivo, no constituyen artefactos funcionales, en toda la extensión de la palabra. Así, el interés de este manuscrito es dilucidar el papel de este conjunto de materiales líticos depositados en asociación con la Estela 17 de Chactún. Así las cosas, el ensayo presenta el método de análisis empleado para catalogar los materiales, los resultados numéricos de la clasificación y una interpretación de estos derivados de núcleos, bajo una mirada meramente tecnológica. Después de ello, se trata de interpretar la significancia de este conjunto de lascas y láminas para los actores sociales de Chactún.

Los datos concretos

La colección lítica analizada constó de 296 piezas.²² De todos estos ejemplares, únicamente se detectaron tres artefactos: dos raspadores y un cincel miniatura, este último probablemente empleado para darle mantenimiento a la mampostería de algún edificio (figura 5.1). A pesar de que estos últimos objetos sí pueden considerarse como artefactos funcionales en todo el sentido de la palabra, para efectos de este trabajo no se tornan tan relevantes, pues fueron recuperados en el escombro de la excavación, específicamente en el estrato de derrumbe de la Estela 12, donde también se identificó una esquirra grande con abundante corteza, la cual fue extraída desde las etapas iniciales de reducción pétreo.

Los restantes objetos líticos y que forman la inmensa mayoría de la muestra analizada fueron derivados de núcleos, esto es, lascas y láminas cuya extracción no buscaba generar matrices para la manufactura de otro tipo de utillajes, tales como cuchillos, raspadores, raederas, navajas o puntas de proyectil. Se comenta lo anterior en virtud de que todos los derivados de núcleos fueron astillados con la intención de que su grosor fuera mínimo, esto es, no más allá de tres centímetros lo cual, evidentemente, impediría reducirlos aún más para configurar algún artefacto.

²² Según se menciona en el capítulo 4, al pie de la Estela 17 fueron recolectadas 304 piezas de pedernal. Sin embargo, algunas de ellas no fueron trabajadas, por lo que no se consideraron en el análisis lítico.

El método de análisis

La muestra lítica fue analizada con base en la propuesta clasificatoria de Felipe Bate (1971), la cual permite agrupar diversas clases de artefactos mediante categorías morfofuncionales. La primera distinción del método consiste en la identificación de dos clases de derivados de núcleos: lascas y láminas. Las lascas son derivados de núcleo, desprendidos mediante percusión o presión (Crabtree 1972: 36) y cuyo largo es menor a dos veces su ancho (Bordes 1968: 27; Bate 1971: 5; Mirambell y Lorenzo 1974: 15). Por el contrario, las láminas son aquellos objetos cuyo largo es igual o mayor a dos veces el ancho de la pieza (Bate 1971: 5). Ahora bien, la identificación del largo y el ancho de los derivados de núcleos se realizan con base en la detección del bulbo o plataforma de percusión, en donde se evidencia el impacto que desprendió la hoja lítica. En ausencia del bulbo, se pueden identificar las cicatrices bulbares, las ondas radiales y las estrías radiales, todas derivadas del impacto que provocaron las fracturas líticas. En este sentido, "los fragmentos proximales incluyen a todos aquellos especímenes que contienen una plataforma de percusión. Los fragmentos proximales pueden ser lascas completas o fragmentadas" (Andrefsky 2001: 87s). De esta manera, es posible detectar la parte proximal y distal del derivado de núcleo.



Figura 5.1. Raspadores y cincel miniatura, asociados a la Estela 12 de Chactún (fotografía de Gabriela García).

Posterior a esta identificación se prosigue con la detección de astillamientos intencionales para manufacturar artefactos. En la muestra analizada únicamente se detectaron dos raspadores y un cincel (figura 5.1). Aquí únicamente haré mención de los raspadores.

De acuerdo con la literatura, los raspadores son artefactos configurados sobre lascas o láminas y se caracterizan por presentar un astillamiento continuo sobre el borde con un ángulo oblicuo o abrupto (Bate 1971: 18). Los bordes modificados de los raspadores son generalmente convexos y en muy pocas ocasiones cóncavos o rectos. Finalmente, este tipo de instrumentos tienden a presentar la cara inferior plana o poco trabajada y su uso es básicamente unifacial, siendo muy empleados para raspar materiales óseos, leñosos (Leroi-Gourhan 1974: 179), pieles o vegetales.

Los derivados de núcleos

Como ya se indicó, los derivados de núcleos que no pudieron catalogarse como artefactos se agruparon en dos grupos fundamentales: lascas y láminas, las cuales, a su vez, fueron identificadas en función de su bulbo de percusión o, en su defecto, a través de las evidencias de éste. Este tipo de utillajes fueron los más recurrentes de la muestra analizada y se concentraron, mayoritariamente, en la Estela 17, alcanzando un total de 292 piezas (figura 5.2). Este tipo de objetos fueron catalogados de la siguiente forma: esquirlas medianas (de entre 1 y 2.5 cm de largo), esquirlas grandes (de entre 2 y 5 cm de largo), lascas medianas (de entre 5 y 10 cm de largo), láminas chicas (de entre 2.5 y 5 cm de largo) y láminas medianas (de entre 5 y 10 cm de largo).

De todos estos subgrupos, las esquirlas grandes fueron las que se presentaron con mayor abundancia, con un total de 203 ejemplares (69.520% de la muestra). Por su parte, las láminas chicas alcanzaron un total de 43 piezas (14.726% de la muestra), en tanto que las lascas medianas presentaron 26 piezas (8.904% de la muestra). Finalmente, las láminas medianas contuvieron 14 especímenes y, en la más baja frecuencia de aparición, se hallaron las esquirlas medianas con un total de 6 piezas (4.794% y 2.054%, respectivamente).

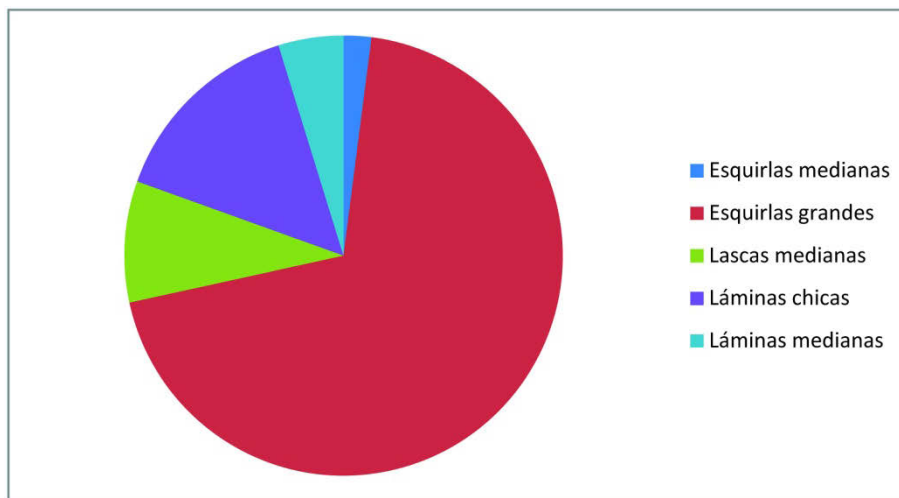


Figura 5.2.
Frecuencia de aparición de los derivados de núcleo asociados a la Estela 17 de Chactún.

De las 203 esquirlas grandes, únicamente 32 presentaron restos de corteza, aunque es conveniente mencionar que 22 ejemplares evidenciaron una escasa proporción, en tanto que sólo dos esquirlas presentaron su cara dorsal con casi toda su superficie con corteza. Lo anterior, como se verá más adelante con los otros derivados de núcleos, nos habla de que las lascas y láminas depositadas no provenían de las etapas iniciales de reducción lítica, en donde es muy común la existencia de lascas de descortezamiento. Por otro lado, 45 de estas esquirlas presentaron un marcado bulbo de percusión, 95 un bulbo poco prominente y 63 sin ninguna prominencia. Lo anterior puede explicarse en función de que las esquirlas grandes bien pudieron ser el resultado de diferentes procesos de adelgazamiento de núcleos. Como ya se mencionó, fueron pocos los ejemplares de la muestra que presentaron abundante corteza en su cara dorsal. Por lo general, los bulbos de percusión de esta clase de derivados se conocen como de plataforma de corteza (Andrefsky 2001: 93). Incluso estos mismos derivados de núcleos suelen denominarse como lascas primarias o secundarias, en función de la proporción de corteza en sus caras dorsales (figuras 5.3 a 5.5). De acuerdo con Pastrana (1998: 95), las lascas primarias son las “desprendidas de la plataforma

del núcleo, a partir de la plataforma o plataformas de percusión opuestas, su objetivo es iniciar la formación de aristas semiparalelas y semiequidistantes, eliminando las irregularidades geométricas". Por su parte, las lascas secundarias son desprendidas después de las primarias, teniendo como objetivo "formar aristas paralelas y equidistantes desprendiendo las aristas anteriores como eje longitudinal de las lascas secundarias, por lo que presentan en la cara externa o dorsal dos o más aristas formadas por los negativos de tres o más lascas desprendidas previamente" (*ibid.*: 95, 101). Por lo general, las lascas primarias, secundarias e incluso terciarias son identificadas en función de la proporción de corteza en sus caras dorsales, siendo más abundantes en las primarias, menores en las secundarias e inexistentes en las terciarias (*cf.* Valdez y Potter 1991: 204).

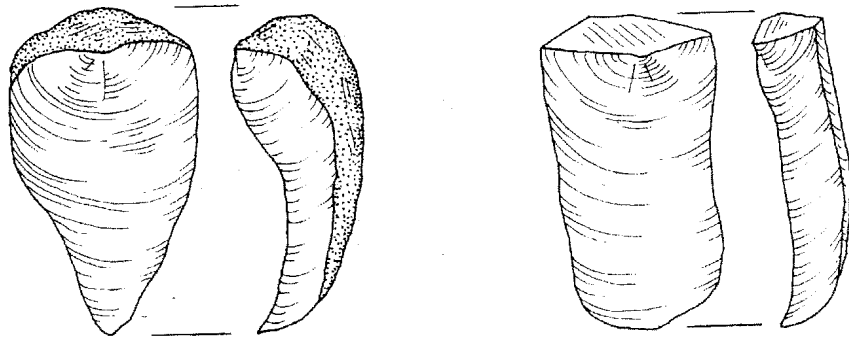


Figura 5.3. Bulbos de percusión. A la izquierda, una plataforma de corteza. El restante bulbo de percusión es de plataforma plana (tomado de Andrefsky 2001: 94).



Figura 5.4. Esquirlas grandes asociadas a la Estela 17 de Chactún. Nótese la escasa corteza de algunas piezas, así como la unidireccionalidad de sus facetas dorsales (totografía de Gabriela García).

Pero la mayoría de las plataformas de percusión de estas esquirlas grandes tuvieron otros atributos morfológicos. Siguiendo a Andrefsky (2001: 94), "las plataformas de percusión planas son reconocidas como superficies planas y lisas que fueron impactadas para remover una pieza". En la mayoría de los casos, este tipo de plataformas de percusión son el resultado del adelgazamiento de

herramientas no bifaciales. Finalmente, este tipo de cicatrices caracterizan a los derivados de núcleos cuyo astillamiento se realizó de manera unidireccional.



Figura 5.5. Algunos bulbos de percusión de las esquirlas grandes asociadas a la Estela 17 de Chactún (fotografía de Gabriela García).

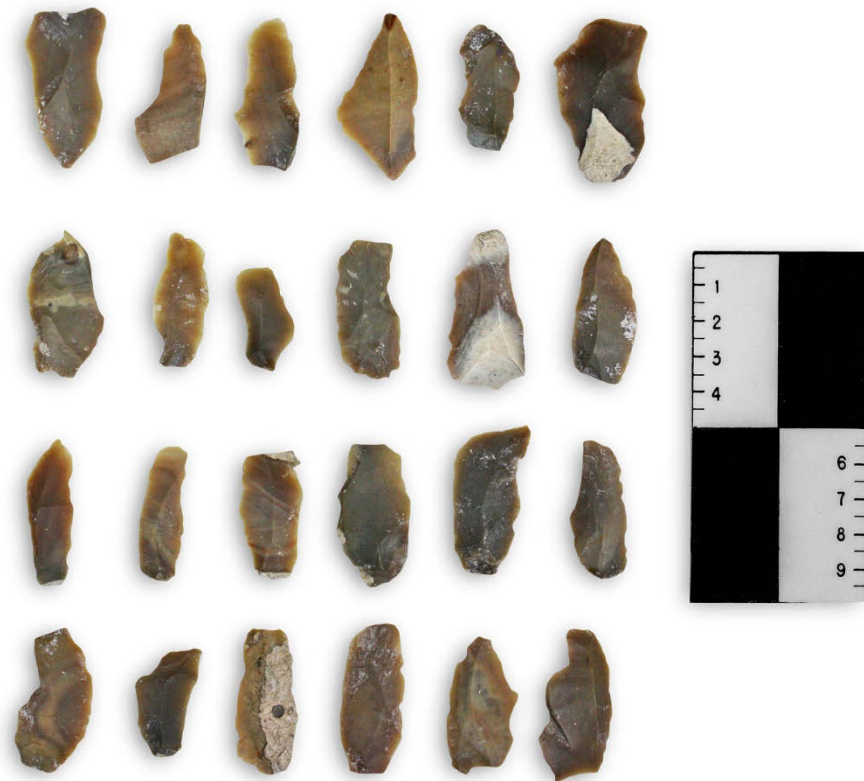


Figura 5.6. Láminas chicas asociadas a la Estela 17 de Chactún (fotografía de Gabriela García).

Entonces podemos avanzar, a manera de hipótesis, que este tipo de esquirlas fueron el resultado del adelgazamiento inicial de varios núcleos de sílex, encaminados a preparar matrices de

artefactos no bifaciales, como raederas o raspadores. Si ello es así, entonces este tipo de esquirlas podrían catalogarse como lascas secundarias. Por su parte, un porcentaje menor de este tipo de lascas, con mucha probabilidad, fue el resultado de la limpieza definitiva de algunos bloques pétreos. Es por ello que también postulo que las esquirlas con presencia de corteza constituyen lascas primarias.

¿Pero qué pasa con los restantes materiales? De las 43 láminas chicas, únicamente nueve presentaron evidencias de corteza. De hecho, siete láminas presentaron esta corteza natural, aunque en una escasa proporción, en tanto que otra fue baja y la restante fue media. Esto, evidentemente, vuelve a poner de relieve la génesis de estos derivados de núcleos, pues nos habla de instancias alejadas del proceso inicial de reducción lítica. Las facetas dorsales de estas láminas chicas son paralelas, lo cual es indicativo de que fueron desprendidas desde un núcleo poliédrico (figura 5.6). Empero, los bulbos de percusión detectados fueron muy poco prominentes. Lo anterior me permite postular nuevamente que estos utillajes provienen de las fases secundarias de astillamiento, ya que los ejemplares de las primeras etapas de reducción lítica presentan, además de evidencias de corteza, bulbos de percusión más pronunciados, pues su desprendimiento requirió de una mayor fuerza de impacto. En consecuencia, el desprendimiento de este tipo de objetos requirió una menor cantidad de fuerza y ello se ve reflejado en el grosor de las piezas, el cual no va más allá de los 3 mm.



Figura 5.7. Lascas medianas asociadas a la Estela 17 de Chactún (fotografía de Gabriela García).

Al parecer, las lascas medianas de la Estela 17 de Chactún fueron lascas de adelgazamiento bifacial. Como advierte Andrefsky (2001: 118), este tipo de derivados de núcleos presenta “secciones curvas longitudinales, ángulos laterales y distales extremadamente agudos, lascas con terminaciones escalonadas [...], escasa o nula corteza y un pequeño o difuso bulbo de percusión”. Tres lascas medianas presentaron restos de corteza, aunque en muy baja proporción. Ello me plantea dos posibilidades: que dichos derivados de núcleos no pueden concebirse como lascas de

adelgazamiento, sino más bien como de descortezamiento secundario, mientras que la segunda radicaría en que la corteza desarrollada en estos ejemplares se desarrolló por procesos postdeposicionales (figura 5.7). Por otro lado, los bulbos de percusión visibles en este tipo de derivados fortalece la hipótesis de que dichas lascas fueron el producto del adelgazamiento de piezas bifaciales, ya que una plataforma de percusión redondeada indica una preparación previa (Hranicky 2004: 132). Mi identificación también se basa en que las superficies dorsales de estas lascas presentan las cicatrices de anteriores desprendimientos, “ya que la lasca incluye una pequeña parte de una cara del instrumento bifacial” (Andrefsky 2001: 118).



Figura 5.8. Láminas medianas asociadas a la Estela 17 de Chactún (fotografía de Gabriela García).



Figura 5.9. Esquirlas medianas asociadas a la Estela 17 de Chactún (fotografía de Gabriela García).

Los últimos ejemplares detectados en la colección son las láminas medianas y las esquirlas medianas (figuras 5.8 y 5.9). Comenzaré a hablar sobre las primeras. Las láminas medianas

presentaron catorce ejemplares. De éstos, cuatro presentaron muy bajas proporciones de corteza. Sin embargo, la mayoría de sus bulbos de percusión fueron poco pronunciados. No obstante y bajo mi particular óptica, este tipo de láminas también podrían ser consideradas como de adelgazamiento bifacial. Esto se sustentaría en virtud de algunas de las cicatrices previas que se ubican en las superficies dorsales de algunas piezas. Asimismo, la corteza detectada en algunas piezas pueda deberse al depósito en donde fueron dispuestas, pues no creo que éstas sean parte de las etapas iniciales de reducción lítica.

Finalmente, las esquirlas medianas únicamente alcanzaron seis ejemplares. Sus morfologías irregulares y sus fracturas escalonadas acercan a estas piezas a las lascas primarias. Sus pocos pronunciados bulbos de percusión, similares a los bulbos de plataforma de corteza, me permiten fortalecer esta interpretación.

Algunas observaciones finales

La ausencia de núcleos en la muestra analizada me impide rastrear el proceso productivo en su totalidad. Sin embargo, las características tecnológicas de las lascas y de las láminas fueron suficientes para argumentar que éstas fueron el resultado del desbaste de ciertos núcleos, actividad posterior a las etapas de descortezamiento. De esta forma se identificaron algunas lascas primarias, secundarias y de adelgazamiento de utensilios bifaciales.

La cuestión que más llama mi atención es que no existen artefactos culminados en la muestra analizada. Dicho en otras palabras, ¿por qué no se depositaron objetos funcionales como ofrenda para la Estela 17 de Chactún? Bajo mi óptica, la ofrenda misma tiene un sustento animista. Si nos atenemos a la interpretación epigráfica inicial realizada por Octavio Esparza (capítulo 4), la Estela 17, aunque erosionada, pudo haber conmemorado una fecha de final de periodo. Así, este conjunto de lascas y láminas sirvió como cama de la estela aquí abordada. Ahora bien, este conjunto de objetos constituyen la representación simbólica de un conjunto de núcleos “muertos”. En efecto, los núcleos de sílex o incluso las preformas de utensilios bifaciales fueron “matados” y su representación concreta se gestó con este tipo de lascas y láminas, fortaleciendo de esta forma el meta-mensaje plasmado en la estela: una terminación de periodo. Hay que recordar, no obstante, que se trata de un monumento reutilizado, por lo que esta interpretación es meramente hipotética, implicando que los que fracturaron la estela y colocaron su fragmento inferior en la esquina del juego de pelota todavía estaban conscientes de su contenido calendárico.

Agradecimientos

Agradezco al Mtro. Carlo del Razo, quien amablemente leyó el manuscrito para apuntalarlo. De la misma forma, agradezco a Gabriela García, colaboradora del Departamento de Movimiento de Colecciones del Museo Nacional de Antropología, por la toma de fotografías.

6 Comentarios finales

Ivan Šprajc

El significado de Chactún y su potencial para las futuras investigaciones pueden considerarse desde diversos puntos de vista. El tamaño del sitio, la cerámica y las características de la arquitectura, así como los numerosos monumentos esculpidos con inscripciones, indican que fue un importante centro político durante el Clásico Tardío. Por otra parte, resulta significativa su localización dentro del vasto territorio arqueológicamente desconocido que se extiende entre las regiones Río Bec y Chenes; como hemos señalado en la Introducción, en las fotos aéreas de esta zona hemos detectado decenas de sitios arqueológicos, pero Chactún es el primero de ellos que ha sido inspeccionado en campo. La presencia de monumentos de piedra con relieves elaborados en estuco representa otro aspecto interesante del sitio. Finalmente, llaman la atención diversas evidencias de que el asentamiento fue escenario de actividades aún en los tiempos después de su esplendor clásico.

Si recordamos que algunos estudiosos, al considerar las similitudes entre los estilos arquitectónicos Río Bec y Chenes, propusieron la existencia de una continuidad estilística en toda la llamada zona media (Potter 1976; 1977: 1ss; Adams 1981: 213), resulta sorprendente que los rasgos típicos de ambas regiones son prácticamente ausentes en Chactún: hay pocos muros con piedras finamente labradas, y no se han observado elementos de fachadas zoomorfas o decoradas con diseños geométricos. La gran concentración de voluminosos edificios, dispuestos en torno a grandes plazas, los numerosos templos piramidales y monumentos con inscripciones contrastan fuertemente con los cercanos sitios de Río Bec (Becán, el más grande, se ubica a menos de 30 km de distancia), donde no hay concentraciones tan grandes de edificios monumentales, los grupos arquitectónicos son típicamente más pequeños y cuentan con menos estructuras, las estelas con inscripciones son escasas y, en lugar de pirámides verdaderas, son comunes las torres a manera de pirámides "falsas" (cf. Benavides 1995; 261; Nondédéo y Lacadena 2004: 183; Nondédéo *et al.* 2010: 40s; 2013).

Más que con la esfera Río Bec, Chactún parece vincularse con la tradición Petén, no sólo por su arquitectura sino también por las características de su planeación urbana. Si asumimos que los Complejos Oeste y Noreste estaban prácticamente unidos, el sitio contaba con dos grandes núcleos urbanos, posiblemente unidos con una calzada, a la que estaba asociado un juego de pelota. Este patrón refleja una concepción similar a la que se observa en otros sitios de las Tierras Bajas Centrales, tales como La Milpa, Dos Hombres o Nohmul, en el norte de Belice, o Nakum, en el Petén guatemalteco, o incluso Kohunlich, en el sur de Quintana Roo. En vista de la ubicación de los Complejos Oeste y Sureste de Chactún, llama la atención que también en cada uno de los sitios mencionados los dos complejos principales tienden a estar dispuestos a lo largo de un eje noroeste-sureste. En ambos complejos mayores de Chactún vemos la presencia de algunos pares de templos piramidales adyacentes, que ocupan los lados de ciertas plazas, siendo una pirámide más grande que la otra. Tales disposiciones también se observan en sitios como Uxul, Campeche, y La Milpa, en Belice.

Aunque la presencia de basamentos piramidales, edificios alargados e inscripciones en Kajtún, sitio periférico de Río Bec, que incluso contaba con su glifo emblema (Nondédéo y Lacadena 2004), representa un caso algo similar a Chactún, no deja de llamar la atención que, a

pesar de la cercanía de diversos sitios que pertenecen a la esfera Río Bec, varios aspectos de Chactún son notablemente diferentes y mucho más cercanos a la tradición Petén. Es de esperar que las futuras investigaciones, tanto en Chactún como en el área circundante, revelen qué tan difundidas estaban estas características y en qué medida reflejan la geografía política durante el Clásico Tardío, incluyendo la relación entre la esfera dominada por la dinastía Kaan y el llamado fenómeno Río Bec (cf. Michelet et al. 2007; Nondédéo et al. 2010).

Otro aspecto interesante de –y, hasta el momento, limitado a– Chactún lo representan los monumentos de piedra con relieves modelados en estuco. En las Estelas 1 y 14 se observa que algunos glifos fueron grabados en piedra, pero posteriormente cubiertos con los elaborados en estuco, mientras que otros diseños parecen haber sido modelados únicamente en estuco. Aunque las dos estelas mencionadas representan los ejemplos más prominentes de esta práctica, los restos de estuco modelado se conservan también en los fragmentos de uno o más monumentos que se ubican en las inmediaciones de las Estelas 7 y 8, frente a la Estructura A-10 en el Complejo Oeste (capítulo 4). El hecho de que no se conoce otro sitio maya con esta peculiaridad ha de deberse a la falta de datos arqueológicos, sobre todo al desconocimiento de la región al norte de Chactún, por lo que la cuestión acerca de qué tan extendida estaba esta práctica amerita estudios futuros, que indudablemente también tendrán implicaciones importantes para la solución de las incógnitas referidas arriba.

Finalmente, aunque la cerámica y las inscripciones sugieren que el asentamiento alcanzó su apogeo en el Clásico Tardío, hay que recordar que tanto los monumentos reutilizados como la cerámica posclásica, sobre todo la asociada a la Estela 1, reflejan actividades en el lugar aún después de la época de su esplendor clásico. Aunque por el momento no sabemos qué tan significativa fue la ocupación durante el Posclásico, podría tratarse de un caso análogo al de Dzibanché, para el que Nalda y Balanzario (2010) descartan la posibilidad de un éxodo masivo de población al terminar el Clásico, argumentando que, al contrario, la ocupación e incluso la actividad constructiva, aunque disminuida, continuó hasta el Posclásico Tardío. La reutilización de los monumentos del Clásico o de sus fragmentos se ha registrado en otros sitios de las tierras bajas, no sólo en Cobá, donde hay amplias pruebas de la continuidad del asentamiento durante el Posclásico (Pollock 1932: 127; Thompson 1932: 132ss; Con 2007: 16), sino también, por ejemplo, en Tikal, Uaxactún y La Milpa (Satterthwaite 1958; Shook 1958; Hammond y Bobo 1994; Hammond y Tourtellot 2006). Entre los sitios examinados en el sureste de Campeche en nuestras temporadas anteriores, sólo en El Zacatal encontramos algunas evidencias que sugieren la reutilización de monumentos (Šprajc y Flores 2010; Šprajc et al. 2014).

Particularmente similar a Chactún es el caso de La Milpa: varias estelas fueron halladas en posiciones secundarias, de las Estelas 1, 2, 3, 6 y 16 sólo se encontraron fragmentos, mientras que las Estelas 7 y 12 representan casos análogos a la Estela 1 de Chactún, ya que en sus inmediaciones fueron encontrados fragmentos de incensarios que datan del Posclásico Tardío o incluso de la época posterior a la Conquista, reflejando la veneración tardía de los monumentos antiguos (Hammond y Bobo 1994; Hammond y Tourtellot 2006: 102s; Norman Hammond: com. personal, febrero de 2014). Recordando que los fragmentos superiores de las Estelas 3, 15 y 16 de Chactún, así como el monumento modificado que se encuentra asociado al Altar 15, parecen haber sido colocados casi directamente sobre la superficie, mencionemos que en tales posiciones fueron localizadas también las Estelas 3 y 6 de La Milpa (Hammond y Bobo 1994: 22s, láms. 1 y 2): según Hammond y Tourtellot (2006: 102), mucho después de su abandono, “la gente regresó y volvió a levantar los fragmentos de estelas sobre sus bases, metiéndolas apenas en el suelo.” Para la mayoría de los monumentos de La Milpa, Hammond y Bobo (1994: 30s) sugieren que fueron

movidos apenas hacia finales del Posclásico Tardío o en los primeros dos siglos de la época histórica. Los fragmentos de las Estelas 12, 17, 18 y 19 de Chactún, reutilizados como esquineros de los juegos de pelota, tienen analogía en la Estela 66 de Calakmul (Ruppert y Denison 1943: 21, 115), mientras que el muro adosado a la Estela 14 de Chactún representa un ejemplo singular de la alteración de la función de un monumento.

En este contexto resulta interesante mencionar que, al revisar la secuencia cerámica del cercano Becán, Ball (2014) argumenta que las evidentes diferencias que se observan entre la cerámica del complejo Bejuco y la que pertenece a los siguientes complejos Chintok y Xcocom, en combinación con los datos cronológicos y contextuales, indican que después del auge clásico, que terminó cerca del año 750, al final de la fase Bejuco, Becán quedó abandonado y fue repoblado y remodelado apenas varias décadas después –posiblemente en la primera mitad del siglo 9– por grupos ajenos a la tradición local, portadores de la cerámica Chintok y Xcocom que, a juzgar sobre todo por las características de la cerámica Xcocom, provenían del norte o el noroeste de la península. Un escenario parecido puede suponerse, en vista de la cercanía de Becán, también para Chactún: si la fecha 751 d.C. registrada en las Estelas 1 y 12, la más tardía conocida al momento en el sitio, corresponde a los últimos años de su apogeo, la mutilación y la reutilización de los monumentos bien podría explicarse con una ruptura en la tradición y la posterior llegada de grupos foráneos.

Aunque los textos jeroglíficos que hemos documentado contienen pocos datos históricos, llama la atención que las dos fechas confiables de Cuenta Larga, 731 y 751 d.C., corresponden precisamente al periodo en que el poder de la dinastía Kaan, asentada en Calakmul, disminuyó de manera definitiva, debido a las derrotas que sufrió a manos de su eterno enemigo Tikal en los años 695 y 736. A raíz de estos acontecimientos comenzó el proceso de descentralización y fragmentación política en las Tierras Bajas Centrales, posibilitando el fortalecimiento de pequeñas dinastías locales, como sucedió en Oxpemul (Šprajc y Grube 2008: 275). Por lo tanto, si la conmemoración de las fechas registradas en Chactún refleja el aumento de su poder político en la región, cabe preguntarnos si tal desarrollo no fue condicionado precisamente por los procesos referidos. Sin embargo, una explicación alternativa, y quizá aún más probable, es que tanto el crecimiento de Chactún, que pudo haber empezado antes del siglo octavo, como su declive fueron de alguna manera relacionados con los procesos paralelos en Calakmul, como supone Ball (2014: 442s) para Becán.

A la luz de lo expuesto, es indiscutible el gran potencial del sitio, así como de la extensa área circundante que permanece arqueológicamente desconocida, para las futuras investigaciones. Respecto a Chactún, específicamente, cabe agregar que, aunque el equipo de restauración realizó los trabajos más urgentes de consolidación de los estucos en la Estela 1 (Jiménez *et al.* 2014; Espinosa-Morales *et al.* 2014), y pese a que el singular monumento quedó protegido con un techo provisional (figura 4.12), sería recomendable que el sitio llegue a ser, lo más pronto posible, objeto de investigaciones arqueológicas más intensas, que no sólo resulten en los avances del conocimiento sino también coadyuven a la protección de la localidad.

Bibliografía

Adams, Richard E. W.

- 1981 Settlement patterns of the central Yucatan and southern Campeche regions. En: Wendy Ashmore, ed., *Lowland Maya settlement patterns*, Albuquerque: School of American Research – University of New Mexico Press, pp. 211-257.

Akpınar Ferrand, Ezgi, Nicholas P. Dunning, David L. Lentz, and John G. Jones

- 2012 Use of aguadas as water management sources in two southern Maya Lowland sites. *Ancient Mesoamerica* 23 (1): 85-101.

Andrefsky, William

- 2001 *Lithics: Macroscopic approaches of analysis*. Cambridge: Cambridge University Press.

Aveni, Anthony F.

- 2001 *Skywatchers: A revised and updated version of Skywatchers of ancient Mexico*. Austin: University of Texas Press.

Aveni, A., y H. Hartung

- 1986 *Maya city planning and the calendar*. Transactions of the American Philosophical Society Vol. 76, Part 7, Philadelphia.

Ball, Joseph W.

- 1977 *The archaeological ceramics of Becan*. Middle American Research Institute Publication 43. New Orleans: Tulane University.

- 2014 Rethinking the Becán ceramic sequence: continuities, disjunctions, segmentation, and absolute chronology. *Latin American Antiquity* 25 (4): 427-448.

Barrera Vásquez, Alfredo, Juan Ramón Bastarrachea Manzano, y William Brito Sansores

- 1980 *Diccionario maya Cordemex: maya-español, español-maya*. Mérida: Ediciones Cordemex.

Bate, Luis Felipe

- 1971 *Material lítico: Metodología de clasificación*. Noticiario Mensual del Museo Nacional de Historia Natural, Santiago de Chile.

Becker, Marshall Joseph

- 1971 "The identification of a second plaza plan at Tikal, Guatemala and its implications for ancient Maya social complexity". Tesis de doctorado, University of Pennsylvania. Ann Arbor: University Microfilms.

- 1991 Plaza plans at Tikal, Guatemala, and at other Lowland Maya sites: evidence for patterns of culture change. *Cuadernos de Arquitectura Mesoamericana* núm. 14: 11-26.

Benavides Castillo, Antonio

- 1995 Becán y su región. *Journal de la Société des Américanistes* 81 (1): 259-266.

Bernal Romero, Guillermo

- 2009 Dignatarios cuatripartitas y cultos direccionales en las inscripciones de Palenque, Copán y Quiriguá. *Lakamhá* núm. 31: 2-13

- 2011 "El señorío de Palenque durante la era de K'inich Janaahb' Pakal y K'inich Kan B'ahlam (615-702 d. C.)." Tesis de doctorado. México: Universidad Nacional Autónoma de México, Facultad de Filosofía y Letras, Instituto de Investigaciones Filológicas.

- Boot, Erik
2009 The updated preliminary Classic Maya – English, English – Classic Maya vocabulary of hieroglyphic readings. Mesoweb: www.mesoweb.com/resources/vocabulary/Vocabulary-2009.01.pdf.
- Bordes, Francois
1968 *El mundo del hombre cuaternario*. Madrid: Guadarrama.
- Bueno Cano, Ricardo
1999 *Entre un río de robles: Un acercamiento a la arqueología de la región Río Bec*. Colección Científica 411. México: Instituto Nacional de Antropología e Historia.
2001 Arqueología de la región Río Bec, Xpuhil, Campeche. En: *La pintura mural prehispánica en México II: Área Maya*, tomo III, México: Universidad Nacional Autónoma de México, Instituto de Investigaciones Estéticas, pp. 43-51.
- Campaña Valenzuela, Luz E.
2005 Contribuciones a la historia de Becán. *Arqueología Mexicana* XIII, núm. 75: 48-53.
- Con, María José
2007 *Cobá: Historia, arte y monumentos*. México: Monclém Ediciones.
- CONABIO
1995-96 "Fotografías aéreas de la Reserva de la Biósfera de Calakmul, Campeche, escala 1:20,000, 1995-1996". México: Comisión Nacional para el Conocimiento y Uso de la Biodiversidad (CONABIO).
- Crabtree, Dan
1972 *An introduction to flintworking*. Occasional Papers of the Idaho State University Museum, Idaho.
- Domínguez, María del Rosario, y William J. Folan
1996 Calakmul, México: aguadas, bajos, precipitación y asentamiento en el Petén Campechano. En: J. P. Laporte y H. Escobedo, eds., *IX Simposio de Investigaciones Arqueológicas en Guatemala*, Guatemala: Museo Nacional de Arqueología y Etnología, pp. 147-173.
- Drennan, Robert D.
2009 *Statistics for archaeologists: A common sense approach*, 2a. ed. New York: Springer.
- Dunning, Nicholas P., Eric Weaver, Michael P. Smyth, y David Ortigón Zapata
2014 Xcoch: home of ancient Maya rain gods and water managers. En: Travis W. Stanton, ed., *The archaeology of Yucatán*, Archaeopress Precolonial Archaeology 1, Oxford: Archaeopress, pp. 65-78.
- Espinosa-Morales, Y., D. Arano, L. Jiménez, J. Reyes, I. Šprajc, y B. Pascual
2014 "Análisis microscópico y caracterización mediante SEM/EDX de los materiales que constituyen la Estela 1 del sitio arqueológico Chactún, Campeche". Poster presentado en el *IV Congreso Latinoamericano de Arqueometría*, Museo Nacional de Antropología, México.
- Flores Esquivel, Atasta
2013 Trabajos de reconocimiento y mapeo en el sitio arqueológico de Yaxnohcah. En: Kathryn Reese-Taylor y Armando Anaya Hernández, eds., *Proyecto Arqueológico Yaxnohcah, 2011: Informe de la Primera Temporada de Investigaciones*, México: Instituto Nacional de Antropología e Historia, Archivo Técnico de la Coordinación Nacional de Arqueología, pp. 8-18. (<http://www.mesoweb.com/resources/informes/Yaxnohcah2011.html>)

Flores Esquivel, Atasta, e Ivan Šprajc

- 2008 Reconocimiento arqueológico en el sureste de Campeche: nuevos hallazgos y contribuciones para una visión regional. *Estudios de Cultura Maya* 32: 17-38.

García, Edgar V.

- 1993 Escultura y patrón de asentamiento en Chimaltenango. En: J. P. Laporte, H, Escobedo, y S. Villagrán de Brady, eds., *VI Simposio de Investigaciones Arqueológicas en Guatemala*, Guatemala: Museo Nacional de Arqueología y Etnología, pp. 368-381.

Gendrop, Paul

- 1983 *Los estilos Río Bec, Chenes y Puuc en la arquitectura maya*. México: Universidad Nacional Autónoma de México.

Graham, Ian

- 2010 *The road to ruins*. Albuquerque: University of New Mexico Press.

Graham, Ian, y Eric von Euw

- 1975 *Corpus of Maya hieroglyphic inscriptions*, vol. 2, part. 1. Cambridge: Peabody Museum of Archaeology and Ethnology, Harvard University.

Grube, Nikolai

- 2005 Toponyms, emblem glyphs, and the political geography of southern Campeche. *Anthropological Notebooks* 11 (special issue: Ivan Šprajc, ed., *Contributions to Maya archaeology*): 87-100. Ljubljana: Slovene Anthropological Society.

Grube, Nikolai, Kai Delvendahl, Nicolaus Seefeld, y Beniamino Volta

- 2012 Under the rule of the Snake kings: Uxul in the 7th and 8th centuries. *Estudios de Cultura Maya* 40: 13-49.

Hammond, Norman, y Matthew R. Bobo

- 1994 Pilgrimage's last mile: late Maya monument veneration at La Milpa, Belize. *World Archaeology* 26 (1): 19-34.

Hammond, Norman, y Gair Tourtellot

- 2006 Una segunda oportunidad: fundación y re-fundación en la ciudad maya de la época clásica de La Milpa, Belice. En: Ma. Josefa Iglesias Ponce de León, Rogelio Valencia Rivera, y Andrés Ciudad Ruiz, eds., *Nuevas ciudades, nuevas patrias: Fundación y relocalización de ciudades en Mesoamérica y el Mediterráneo antiguo*, Madrid: Sociedad Española de Estudios Mayas, pp. 93-104.

Hranicky, Jack

- 2004 *An encyclopedia of concepts and terminology in American lithic technology*. Bloomington: Authorhouse.

INAH

- 2013 "Zona arqueológica de Ichkabal." <http://www.inah.gob.mx/boletines/265-red-zonas-arqueologicas/5499-zona-arqueologica-de-ichkabal>

Jiménez Hernández, Leticia, Diana Arano Recio, y Yolanda Espinosa Morales

- 2014 Informe técnico: Conservación emergente de la Estela 1, Chactún, Campeche. En: Ivan Šprajc et al., "Reconocimiento Arqueológico en el Sureste de Campeche: Informe de la temporada 2013" (ms.). México: Instituto Nacional de Antropología e Historia, Archivo Técnico de la Coordinación Nacional de Arqueología.

Juárez Cossío, Daniel

- 2003 Moral-Reforma: en la senda de Xibalbá. *Arqueología Mexicana* XI, núm. 61: 38-43.

- Juárez, Daniel, Ivan Šprajc, y Adrián Baker
2007 Mucaanah en la perspectiva del proyecto Sudeste de Campeche, México. En: Alejandro Martínez Muriel, Alberto López Wario, Óscar J. Polaco y Felisa J. Aguilar, coords., *Anales de arqueología 2005*, México: Instituto Nacional de Antropología e Historia, pp. 216-221.
- Lacadena, Alfonso
2011 Historia y ritual dinásticos en Machaquilá (Petén, Guatemala). *Revista Española de Antropología Americana* 41, núm. 1: 205-240.
- Leroi-Gourhan, André
1974 *La prehistoria*. Barcelona: Labor.
- M.A.R.I.
1940 *Archaeological sites in the Maya area: section IV, for use with "Index of Maya sites"* (revision of the F. Blom and O. G. Ricketson, Jr., map "Ruins in the Maya Area", 1924). New Orleans: Tulane University, Middle American Research Institute (mapa y fichero en el archivo).
- Martin, Simon
1998 "Report on epigraphic fieldwork at Calakmul: 1995-1998" (ms.).
- Mayer, Karl Herbert
1992 The archaeological site of Chanchunhuas, Campeche. *Mexicon* 14 (6): 111.
1993 The ruins of Halaltun, Campeche. *Mexicon* 15 (3): 47-48.
1997 Maya ruins of Laguna de Zoh revisited. *Institute of Maya Studies Newsletter* 26 (10): 1--2.
- Merk, Stephan
2004 Some Maya sites in the northern Rio Bec Region, Campeche. *Mexicon* 26 (3): 46-48.
- Michelet, Dominique, M.-Charlotte Arnauld, y Philippe Nondédéo
2007 Río Bec, Campeche, al cabo de tres temporadas de investigaciones en el campo (2002-2004): datos preliminares. En: Ernesto Vargas y Antonio Benavides, eds., *El patrimonio arqueológico maya en Campeche*, México: Universidad Nacional Autónoma de México, Centro de Estudios Mayas, pp. 131-158.
- Mirambell, Lorena, y José Luis Lorenzo
1974 *Materiales líticos arqueológicos: Generalidades. Consideraciones sobre la industria lítica*. México: Instituto Nacional de Antropología e Historia, Departamento de Prehistoria.
- Morley, Sylvanus G.
1926 The four Cobá expeditions. *The Carnegie Institution of Washington Year Book* núm. 25: 274-277.
- Muller, Florencia
1959 *Atlas arqueológico de la República Mexicana: Quintana Roo*. México: Instituto Nacional de Antropología e Historia.
1960 *Atlas arqueológico de la República Mexicana 2: Campeche*. México: Instituto Nacional de Antropología e Historia.
- Nalda, Enrique, y Sandra Balanzario
2010 Nuevas consideraciones sobre la fase Lobil. *Arqueología: Revista de la Coordinación Nacional de Arqueología del INAH* núm. 43: 182-197.
- Nondédéo, Philippe
2003 *L'évolution des sites mayas du sud de l'Etat du Campeche, Mexique*. BAR International Series 1171 (Paris Monographs in American Archaeology 12), Oxford: Archaeopress.

- Nondédéo, Philippe, M. Charlotte Arnauld, y Dominique Michelet
 2013 Río Bec settlement patterns and local sociopolitical organization. *Ancient Mesoamerica* 24 (2): 373-396.
- Nondédéo, Philippe, y Alfonso Lacadena
 2004 Kajtún, un nuevo sitio maya con monumentos esculpidos en la región Río Bec. *Journal de la Société des Américanistes* 90 (1): 183-201.
- Nondédéo, Philippe, Julie Patrois, Alfonso Lacadena, Marie-Charlotte Arnauld, Eric Taladoire, y Dominique Michelet
 2010 De la autonomía política y cultural de la provincia de Río Bec. *Estudios de Cultura Maya* XXXVI: 37-66.
- Pastrana, Alejandro
 1998 *La explotación azteca de la obsidiana en la Sierra de las Navajas*. Colección Científica 383. México: Instituto Nacional de Antropología e Historia.
- Pollock, Harry E. D.
 1929 Report on the Cobá expedition. *The Carnegie Institution of Washington Year Book* núm. 28: 328-329.
 1932 Architecture. En: J. Eric Thompson, Harry E. D. Pollock, y Jean Charlot, *A preliminary study of the ruins of Cobá, Quintana Roo, Mexico*, Carnegie Institution of Washington Publication No. 424, Washington: Carnegie Institution of Washington, pp. 105-130.
- Potter, David F.
 1976 Prehispanic architecture and sculpture in central Yucatan. *American Antiquity* 41 (4): 430-448.
 1977 *Maya architecture of the central Yucatan peninsula, Mexico*. Middle American Research Institute Publ. 44, New Orleans: Tulane University.
- Ruppert, Karl, y John H. Denison Jr.
 1943 *Archaeological reconnaissance in Campeche, Quintana Roo, and Peten*. Carnegie Institution of Washington Publication 543, Washington.
- Ruz Lhuillier, Alberto
 1945 *Campeche en la arqueología maya*. México: Instituto Nacional de Antropología e Historia (Acta Anthropologica I: 2-3).
- Sánchez López, Adriana, y José Agustín Anaya
 2006 Dzibilnocac y Tabasqueño: arqueología de la región Chenes. En: J. P. Laporte, B. Arroyo, y H. Mejía, eds., *XIX Simposio de Investigaciones Arqueológicas en Guatemala, 2005*, Guatemala: Museo Nacional de Arqueología y Etnología, pp. 838-855.
- Sánchez Nava, Pedro Francisco, e Ivan Šprajc
 s.f. *Orientaciones astronómicas en la arquitectura maya de las tierras bajas*. México: Instituto Nacional de Antropología e Historia (en prensa).
- Satterthwaite, Lynton
 1958 The problem of abnormal stela placements at Tikal and elsewhere. En: *Tikal Reports 1-4*, Philadelphia: The University Museum, University of Pennsylvania, pp. 61-83.
- Schele, Linda, y Marie E. Miller
 1986 *The blood of kings: Dynasty and ritual in Maya art*. Nueva York: Kimbell Art Museum.
- Shook, Edwin
 1958 The Temple of the Red Stela: an important new monument is unearthed at the Maya city of Tikal in Guatemala. *Expedition* 1 (1): 26-33.

- Stuart, David
- 2007 Reading the Water Serpent as WITZ. En: *Maya Decipherment*: <https://decipherment.wordpress.com/2007/04/13/reading-the-water-serpent/>
- 2008 A childhood ritual on the Hauberg stela. En: *Maya Decipherment*: <https://decipherment.wordpress.com/2008/03/27/a-childhood-ritual-on-the-hauberg-stela/>
- 2010a Shining stones: observations on the ritual meaning of early Maya stelae. En: J. Guernsey, J. E. Clark y B. Arroyo, eds., *The place of stone monuments: Context, use, and meaning in Mesoamerica's Preclassic transition*, Washington: Dumbarton Oaks Pre-Columbian Symposia and Colloquia, pp. 283-298.
- 2010b *Comentarios sobre las inscripciones del Templo XIX de Palenque*. San Francisco: The Pre-Columbian Art Research Institute.
- Stuart, David, y Stephen Houston
- 1994 *Classic Maya place names*. Studies in Pre-Columbian Art and Archaeology núm. 33. Washington: Dumbarton Oaks Research Library and Collection.
- Suyuc, Edgar, Beatriz Balcárcel, Francisco López, y Silvia Alvarado
- 2005 Excavaciones en el sitio La Muerta, Cuenca Mirador, Petén. En: J. P. Laporte, B. Arroyo, y H. Mejía, eds., *XVIII Simposio de Investigaciones Arqueológicas en Guatemala*, Guatemala: Museo Nacional de Arqueología y Etnología, pp. 69-84.
- Šprajc, Ivan
- 1998 Stelae from Los Alacranes salvaged. *Mexicon* 20 (6): 115.
- 2001 *Orientaciones astronómicas en la arquitectura prehispánica del centro de México*. Colección Científica 427, México: Instituto Nacional de Antropología e Historia.
- 2002 Archaeological reconnaissance in southeastern Campeche, Mexico: 2001 field season report. En: *FAMSI*: <http://www.famsi.org/reports/00016/index.html>.
- 2003a Archaeological reconnaissance in southeastern Campeche, Mexico: 2002 field season report. En: *FAMSI*: <http://www.famsi.org/reports/01014/index.html>.
- 2003b Reconocimiento arqueológico en el sureste de Campeche: temporada de 2002. En: *Los Investigadores de la Cultura Maya* 11, tomo 1: 86-102. Campeche: Universidad Autónoma de Campeche.
- 2004 Maya sites and monuments in SE Campeche, Mexico. *Journal of Field Archaeology* 29 (3-4): 385-407.
- 2007a Astronomical alignments in the recently discovered archaeological sites of southern Campeche, Mexico: a preliminary report. En: Mauro Peppino Zedda y Juan Antonio Belmonte, eds., *Lights and shadows in cultural astronomy: Proceedings of the SEAC 2005, Isili, Sardinia*. Isili: Associazione Archeofila Sarda, pp. 107-115.
- 2007b Exploraciones recientes en el sureste de Campeche. *Arqueología Mexicana* 15, núm. 86: 74-80.
- 2007c Rescate de las estelas de Los Alacranes, Campeche. En: Vicente Suárez Aguilar, coord., *Rescates y salvamentos arqueológicos en Campeche y Yucatán*, Campeche: Instituto Nacional de Antropología e Historia, 117-126.
- 2008a ed., *Reconocimiento arqueológico en el sureste del estado de Campeche, México: 1996-2005*. BAR International Series 1742 (Paris Monographs in American Archaeology 19), Oxford: Archaeopress.

- 2008b Trabajo de campo. En: Ivan Šprajc, ed., *Reconocimiento arqueológico en el sureste del estado de Campeche, México: 1996-2005*, BAR International Series 1742 (Paris Monographs in American Archaeology 19), Oxford: Archaeopress, pp. 11-16.
- 2008c Definición y jerarquización de los sitios arqueológicos. En: Ivan Šprajc, ed., *Reconocimiento arqueológico en el sureste del estado de Campeche, México: 1996-2005*, BAR International Series 1742 (Paris Monographs in American Archaeology 19), Oxford: Archaeopress, pp. 17-22.
- 2008d Alineamientos astronómicos en la arquitectura. En: Ivan Šprajc, ed., *Reconocimiento arqueológico en el sureste del estado de Campeche, México: 1996-2005*, BAR International Series 1742 (Paris Monographs in American Archaeology 19), Oxford: Archaeopress, pp. 233-242.
- 2009 Reconocimiento arqueológico en el sureste de Campeche: temporada 2001. En: Silvia Mesa Dávila, María Teresa Castillo Mangas, Pedro Francisco Sánchez Nava, y Miguel Medina Jaén, eds., *Memoria del Registro Arqueológico en México: Treinta años*, Colección Científica 548, México: Instituto Nacional de Antropología e Historia, pp. 217-240.
- 2012 El Preclásico en el sureste del estado de Campeche, México. En: Bárbara Arroyo, Lorena Paiz, y Héctor Mejía, eds., *XXV Simposio de Investigaciones Arqueológicas en Guatemala*, vol. 2, Guatemala: Instituto de Antropología e Historia - Asociación Tikal, pp. 871-886.
- Šprajc, Ivan, y Atasta Flores Esquivel
- 2008 Descripción de los sitios. En: Ivan Šprajc, ed., *Reconocimiento arqueológico en el sureste del estado de Campeche, México: 1996-2005*, BAR International Series 1742 (Paris Monographs in American Archaeology 19), Oxford: Archaeopress, pp. 23-125.
- 2010 El Zacatal Stela 1. *Mexicon* 32 (1/2): 2-5.
- Šprajc, Ivan, Atasta Flores Esquivel, Saša Čaval, Ma. Isabel García López, y Aleš Marsetič
- 2010 Archaeological reconnaissance in southeastern Campeche, Mexico: summary of the 2007 field season. *Mexicon* 32 (6): 148-154.
- Šprajc, Ivan, Atasta Flores Esquivel, Saša Čaval, y Ma. Isabel García López
- 2014 *Reconocimiento arqueológico en el sureste del estado de Campeche, México: Temporada 2007*. Ljubljana: Založba ZRC (Prostor, kraj, čas 4): http://iaps.zrc-sazu.si/sites/default/files/pkc04_sprajc_0.pdf.
- Šprajc, Ivan, William J. Folan, y Raymundo González Heredia
- 2005 Las ruinas de Oxpemul, Campeche: su redescubrimiento después de 70 años en el olvido (1934-2004). En: *Los Investigadores de la Cultura Maya* 13, tomo I: 20-27. Campeche: Universidad Autónoma de Campeche.
- Šprajc, Ivan, Florentino García Cruz, y Héber Ojeda Mas
- 1997a Reconocimiento arqueológico en el sureste de Campeche, México: informe preliminar. *Mexicon* 19 (1): 5-12.
- 1997b Reconocimiento arqueológico en el sureste de Campeche. *Arqueología: Revista de la Coordinación Nacional de Arqueología del INAH*, segunda época, no. 18: 29-49.
- Šprajc, Ivan, y Nikolai Grube
- 2008 Arqueología del sureste de Campeche: una síntesis. En: Ivan Šprajc, ed., *Reconocimiento arqueológico en el sureste del estado de Campeche, México: 1996-2005*, BAR International Series 1742 (Paris Monographs in American Archaeology 19), Oxford: Archaeopress, 263-275.
- Šprajc, Ivan, y Daniel Juárez Cossío
- 2003 Altar de los Reyes, sitio del sureste de Campeche. *Arqueología Mexicana* 10, núm. 59: 5.

- Šprajc, Ivan, y Pedro Francisco Sánchez Nava
2012 Orientaciones astronómicas en la arquitectura maya de las tierras bajas: nuevos datos e interpretaciones. En: Bárbara Arroyo, Lorena Paiz, y Héctor Mejía, eds., *XXV Simposio de Investigaciones Arqueológicas en Guatemala*, vol. 2, Guatemala: Instituto de Antropología e Historia - Asociación Tikal, pp. 977-996.
- Šprajc, Ivan, y Vicente Suárez Aguilar
1998 Reconocimiento arqueológico en el sureste del estado de Campeche, México: temporada 1998. *Mexicon* 20 (5): 104-109.
2003 Reconocimiento arqueológico en el sureste del estado de Campeche, México: temporada 1998. En: *Cuarto Congreso Internacional de Mayistas: Memoria (2 al 8 de agosto de 1998)*, México: Universidad Nacional Autónoma de México, Instituto de Investigaciones Filológicas, Centro de Estudios Mayas, pp. 492-505.
- Taladoire, Eric, Sara Dzul, Philippe Nondédéo, y Mélanie Forné
2013 Chronology of the Río Bec settlement and architecture. *Ancient Mesoamerica* 24 (2): 353-372.
- Thomas, Prentice M.
1981 *Prehistoric Maya settlement patterns at Becan, Campeche, Mexico*. Middle American Research Institute Publ. 45, New Orleans: Tulane University.
- Thompson, J. Eric
1932 Monuments of the Cobá región. En: J. Eric Thompson, Harry E. D. Pollock, y Jean Charlot, *A preliminary study of the ruins of Cobá, Quintana Roo, Mexico*, Carnegie Institution of Washington Publication No. 424, Washington: Carnegie Institution of Washington, pp. 131-184.
- Thompson, Eric J., Harry E. D. Pollock, y Jean Charlot
1932 *A preliminary study of the ruins of Cobá, Quintana Roo, México*. Carnegie Institution of Washington Publ. 424. Washington.
- Valdez, Fred, y Daniel Potter
1991 Chert debitage from the Harvard Copan Excavations: descriptions and comments. En: Thomas R. Hester y Harry Shafer, eds., *Maya stone tools: Selected papers from the Second Maya Lithic Conference*, Madison: Prehistory Press, pp. 203-206.
- Witschey, Walter R. T., and Clifford T. Brown
s.f. The Electronic Atlas of Ancient Maya Sites: A Geographic Information System (GIS). <http://mayagis.smv.org/index.htm>.
- Zapata, Renée
2005 Santa Rosa Xtampak. *Arqueología Mexicana* 13, núm. 75: 54-57.

Anexo:

Planos

CHACTÚN

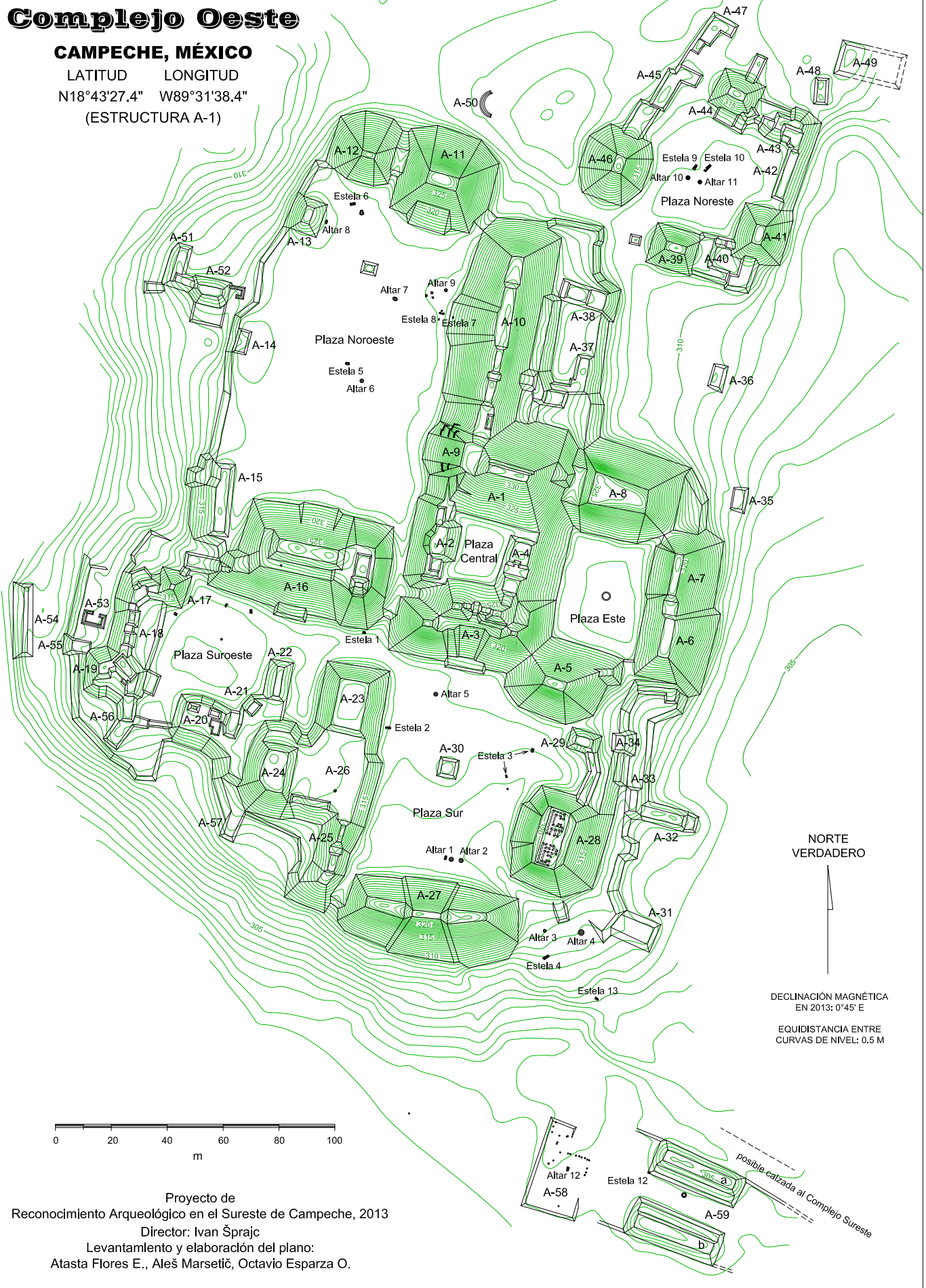
Complejo Oeste

CAMPECHE, MÉXICO

LATITUD LONGITUD

N18°43'27.4" W89°31'38.4"

(ESTRUCTURA A-1)



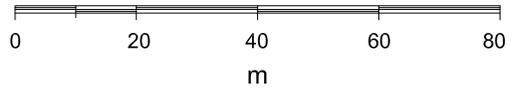
Plano 1. Chactún, Complejo Oeste.

CHACTÚN

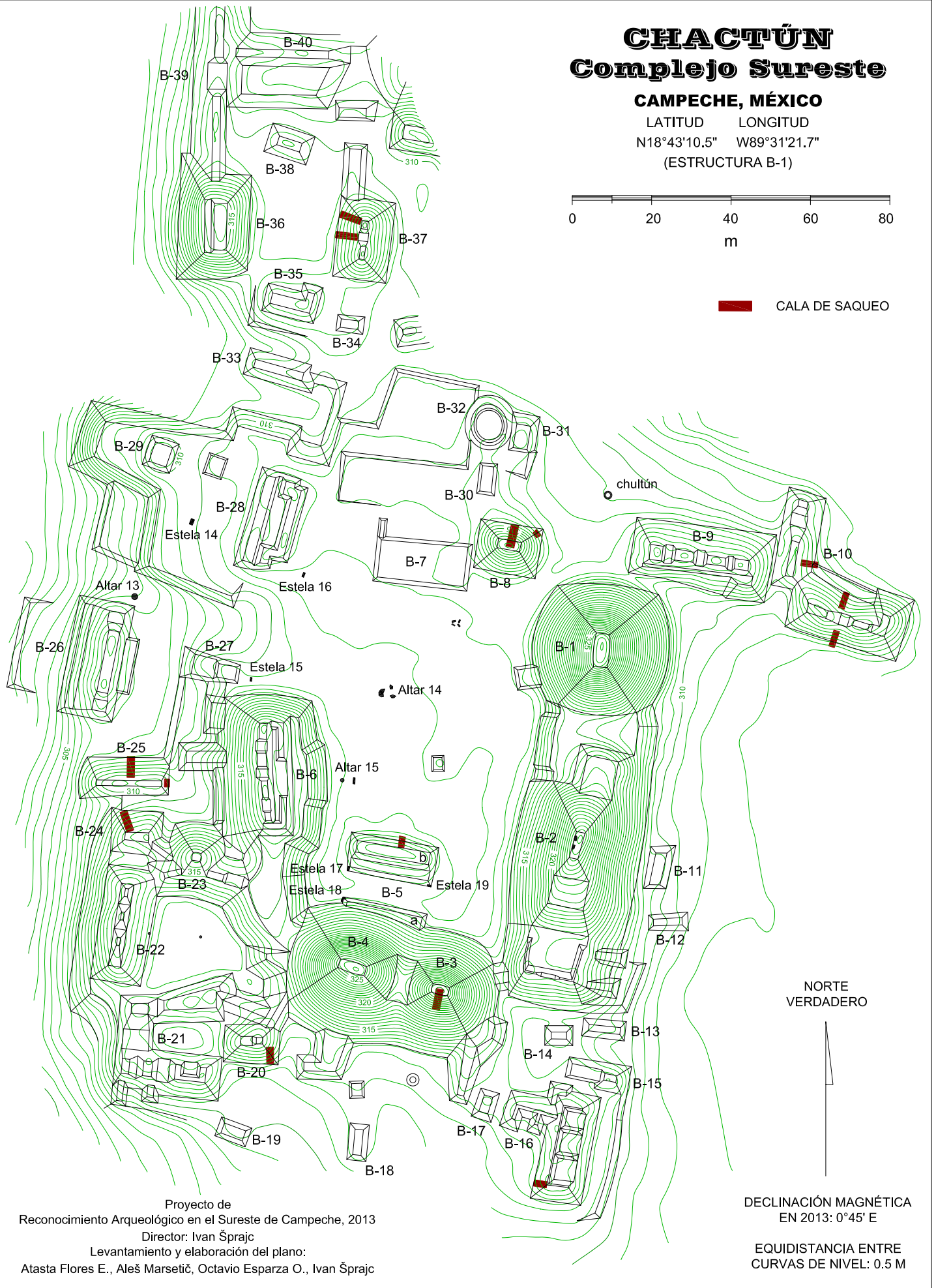
Complejo Sureste

CAMPECHE, MÉXICO

LATITUD LONGITUD
 N18°43'10.5" W89°31'21.7"
 (ESTRUCTURA B-1)



 CALA DE SAQUEO



Proyecto de
 Reconocimiento Arqueológico en el Sureste de Campeche, 2013
 Director: Ivan Šprajc
 Levantamiento y elaboración del plano:
 Atasta Flores E., Aleš Marsetič, Octavio Esparza O., Ivan Šprajc

DECLINACIÓN MAGNÉTICA
 EN 2013: 0°45' E

EQUIDISTANCIA ENTRE
 CURVAS DE NIVEL: 0.5 M

Plano 2. Chactún, Complejo Sureste.

NORTE
VERDADERO



CHACTÚN

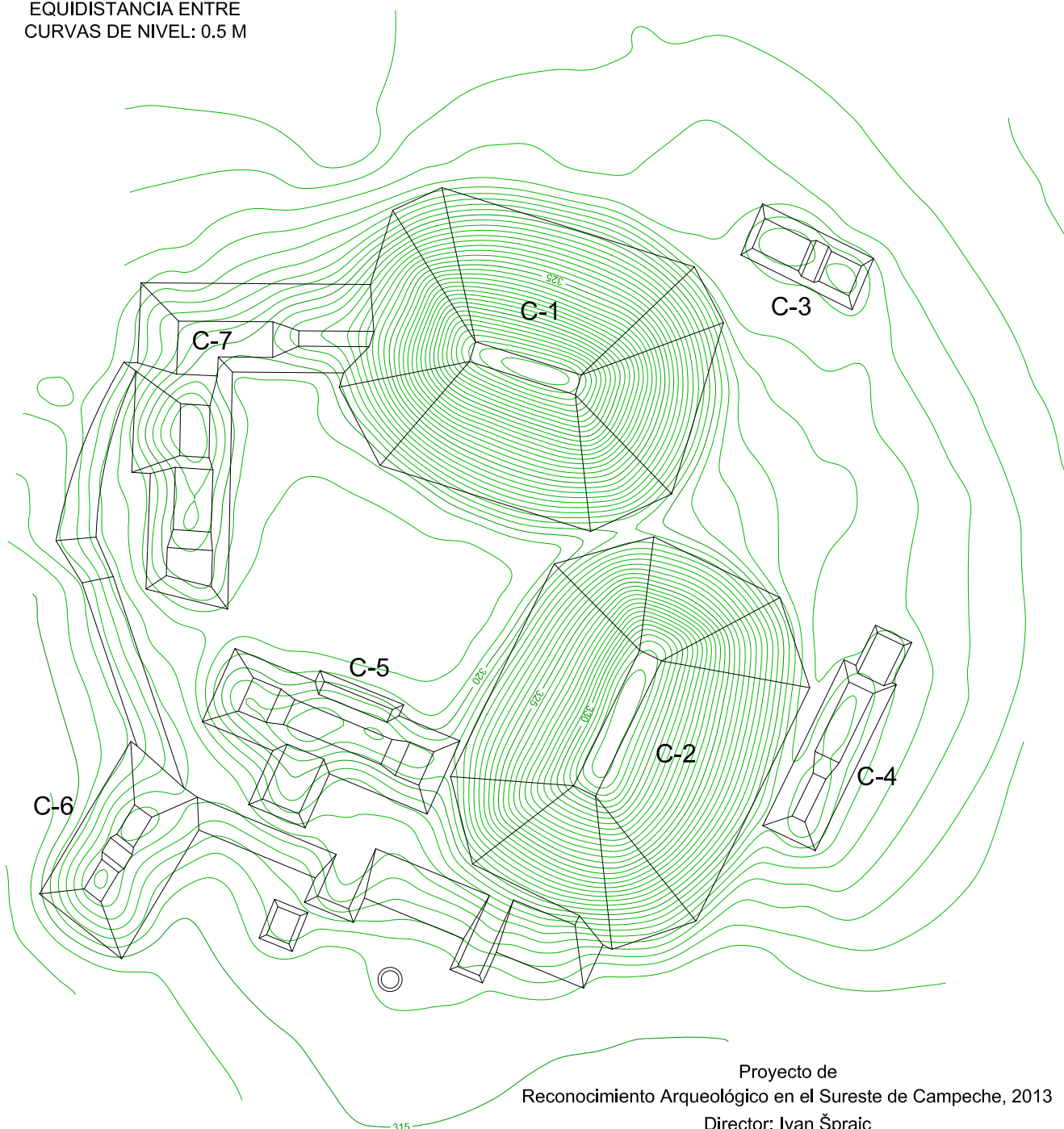
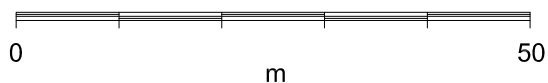
Complejo Noreste

CAMPECHE, MÉXICO

LATITUD LONGITUD
N18°43'35.7" W89°31'27.2"
(ESTRUCTURA C-1)

DECLINACIÓN MAGNÉTICA
EN 2013: 0°45' E

EQUIDISTANCIA ENTRE
CURVAS DE NIVEL: 0.5 M



Proyecto de
Reconocimiento Arqueológico en el Sureste de Campeche, 2013
Director: Ivan Šprajc
Levantamiento y elaboración del plano:
Octavio Esparza O., Aleš Marselič

La serie *Prostor, kraj, čas* (Espacio, lugar, tiempo) tiene como objetivo la publicación de los estudios temáticos enfocados en diversos aspectos de la investigación del espacio y del tiempo, tanto en las técnicas contemporáneas de percepción remota y los Sistemas de Información Geográfica como en las cuestiones acerca de cómo el espacio y el tiempo son percibidos, imaginados, usados y recreados por las sociedades en diferentes épocas y lugares.

Editores de la serie: Nataša Gregorič Bon y Žiga Kokalj, ZRC SAZU

EXPLORACIONES ARQUEOLÓGICAS EN CHACTÚN, CAMPECHE, MÉXICO

Ivan Šprajc, editor

Ivan Šprajc es investigador titular en el Centro de Investigaciones Científicas de la Academia Eslovena de Ciencias y Artes (ZRC SAZU) y profesor en la Universidad de Ljubljana. Sus intereses están enfocados en la arqueología y la arqueoastronomía de Mesoamérica. Sobre todo se ha dedicado a la investigación del significado astronómico de las orientaciones en la arquitectura y al reconocimiento arqueológico en las partes centrales de la península de Yucatán.



ZALOŽBA
Z R C

<http://zalozba.zrc-sazu.si>

ZRC Publishing